
PREMIER MINISTRE

COMMISSARIAT A L'ENERGIE ATOMIQUE

7.2

ECHANGE DE CHALEUR
ET PERTE DE CHARGE DE SURFACES
A AILETTES EN CHEVRONS.
RESULTATS EXPERIMENTAUX EN CELLULE
A TEMPERATURE DE PAROI CONSTANTE

par

Le Service des Etudes Mécaniques et Thermiques

Centre d'Etudes Nucléaires de Saclay

Rapport CEA-R-3425

1968

SERVICE CENTRAL DE DOCUMENTATION DU C.E.A.

Ga

C.E.N.-SACLAY B.P. n°2, 91 Gif-sur-YVETTE - France

CEA-R 3425 - SERVICE DES ETUDES MECANIQUES
ET THERMIQUES - Section de Thermique

ECHANGE DE CHALEUR ET PERTE DE CHARGE DE SUR-
FACES A AILETTES EN CHEVRONS - RESULTATS EXPE-
RIMENTAUX EN CELLULE A TEMPERATURE DE PAROI
CONSTANTE

Sommaire. - L'augmentation de la puissance spécifique des réacteurs nucléaires de la filière graphite-gaz a nécessité l'utilisation de surfaces d'échange à hautes performances pour gainer le combustible (uranium naturel).

Dans cette optique, des gaines munies d'ailettes disposées en chevron ont été expérimentées à température de paroi constante : un courant d'eau à 100 °C circule à l'intérieur de la gaine qui est refroidie extérieurement par un écoulement de CO₂ sous une pression de 15 bars.

. / .

CEA-R 3425 - SERVICE DES ETUDES MECANIQUES
ET THERMIQUES - Section de Thermique

HEAT EXCHANGE AND PRESSURE DROP OF HERRING-
BONE FIN SURFACES - EXPERIMENTAL CELL RESULTS
AT CONSTANT WALL TEMPERATURE

Summary. - The increase in the specific power of nuclear reactors of the gas-graphite type has necessitated the use of high performance exchange surfaces for canning the fuel (natural uranium).

For this, experiments were carried out on cans fitted with herring-bone fins, at constant wall temperature ; a flow of water at 100 °C passes inside the can which is cooled externally by a flow of CO₂ at 15 bars pressure.

. / .

Cette méthode expérimentale permet de situer les performances aérothermiques des gaines les unes par rapport aux autres à 5 pour cent près.

Ce rapport présente les résultats obtenus sous la forme d'un coefficient de frottement f_0 et d'un nombre de Margoulis moyen M_0 en fonction du nombre de Reynolds Re_0 , ce dernier pouvant varier de $3 \cdot 10^5$ à $9 \cdot 10^5$.

1968

80 p.

Commissariat à l'Energie Atomique - France

This experimental set-up makes it possible to compare the aerothermal performances of the different cans with an accuracy of 5 per cent.

This report presents the results obtained in the form of a friction coefficient f_0 and mean Margoulis number M_0 , as a function of the Reynolds number Re_0 , this latter varying from 3×10^5 to 9×10^5 .

1968

80 p.

Commissariat à l'Energie Atomique - France

A partir de 1968, les rapports CEA sont classés selon les catégories qui figurent dans le plan de classification ci-dessous et peuvent être obtenus soit en collections complètes, soit en collections partielles d'après ces catégories

Ceux de nos correspondants qui reçoivent systématiquement nos rapports à titre d'échange, et qui sont intéressés par cette diffusion sélective, sont priés de se reporter à la lettre circulaire CENS/DOC/67/4690 du 20 décembre 1967 que nous leur avons adressée, et qui précise les conditions de diffusion

A cette occasion nous rappelons que les rapports CEA sont également vendus au numéro par la Direction de la Documentation Française, 31, quai Voltaire, Paris 7^e

- Rapport CEA-R 3425 -

PLAN DE CLASSIFICATION

1	APPLICATIONS INDUSTRIELLES DES ISOTOPES ET DES RAYONNEMENTS	8	PHYSIQUE
		8 1	Accélérateurs
		8 2	Électricité, électronique détection des rayonnements
		8 3	Physique des plasmas
		8 4	Physique des états condensés de la matière
		8 5	Physique corpusculaire à haute Énergie
		8 6	Physique nucléaire
		8 7	Electronique quantique, lasers
3	CHIMIE	9	PHYSIQUE THEORIQUE ET MATHEMATIQUES
3 1	Chimie générale	10	PROTECTION ET CONTROLE DES RAYONNEMENTS TRAITEMENT DES EFFLUENTS
3 2	Chimie analytique	10 1	Protection sanitaire
3 3	Procédés de séparation	10 2	Contrôle des rayonnements
3 4	Radiochimie	10 3	Traitemenr des effluents
4	ETUDES DU DOMAINT DE L'ESPACE	11	SEPARATION DES ISOTOPES
5	GEOPHYSIQUE, GEOLOGIE MINÉRALOGIE ET MÉTÉOROLOGIE	12	TECHNIQUES
6	METAUX, CÉRAMIQUES ET AUTRES MATERIAUX	12 1	Mécanique des fluides Techniques du vide
6 1	Fabrication propriétés et structure des matériaux	12 2	Techniques des températures extrêmes
6 2	Effets des rayonnements sur les matériaux	12 3	Mécanique et outillage
6 3	Corrosion	13	UTILISATION ET DEVELOPPEMENT DE L'ÉNERGIE ATOMIQUE
7	NEUTRONIQUE, PHYSIQUE ET TECHNOLOGIE DES RÉACTEURS	13 1	Centres d'études nucléaires laboratoires et usines
7 1	Neutronique et physique des réacteurs	13 2	Etudes économiques, programme
7 2	Réfrigération, protection, contrôle et sécurité	13 3	Divers (documentation administration, législation, etc)
7 3	Matériaux de structure et éléments classiques des réacteurs		

Centre d'Etudes Nucléaires de Saclay

Département des Etudes de Filières

Service des Etudes Mécaniques et Thermiques

Section Thermique

ÉCHANGE DE CHALEUR ET Perte DE CHARGE DE SURFACES A AILETTES EN CHEVRONS

RESULTATS EXPÉRIMENTAUX EN CELLULE A TEMPERATURE DE PAROI CONSTANTE

par

Service des Etudes Mécaniques et Thermiques

Rapport DEP-EMT/T/67-1436, septembre 1967

Les rapports du COMMISSARIAT A L'ENERGIE ATOMIQUE sont, à partir du n° 2200, en vente à la Documentation Française, Secrétariat Général du Gouvernement, Direction de la Documentation, 31, quai Voltaire, PARIS VII^e

- Janvier 1968 -

The CEA reports starting with n° 2200 are available at the Documentation Française, Secrétariat Général du Gouvernement, Direction de la Documentation 31, quai Voltaire, PARIS VII^e

ECHANGE DE CHALEUR ET PERTE DE CHARGE DE
SURFACES A AILETTES EN CHEVRONS.
RESULTATS EXPERIMENTAUX EN CELLULE A
TEMPERATURE DE PAROI CONSTANTE.

INTRODUCTION

Dans les réacteurs nucléaires de la filière graphite-gaz, le combustible (Uranium naturel) est contenu dans des gaines en alliage de magnésium. Ces éléments placés dans des canaux percés dans l'empilement de graphite, sont refroidis par circulation de gaz carbonique.

L'accroissement continual des puissances spécifiques joint à la nécessité de ne pas dépasser une température de gaine relativement peu élevée a conduit à utiliser des surfaces à ailettes en chevron.

La gaine étant divisée, parallèlement à l'axe de l'écoulement, en secteurs égaux, le chevron est caractérisé par une inclinaison des ailettes par rapport à l'axe de la gaine, le sens de l'inclinaison est inversé d'un secteur au secteur adjacent. On définit ainsi des plans de symétrie géométrique qui sont aussi des plans de symétrie aérodynamique.

Le fluide s'écoulant le long d'une telle surface est animé d'un mouvement hélicoïdal à l'intérieur de chaque secteur, mouvement qui favorise les échanges thermiques entre le fluide et la paroi.

Les résultats qui font l'objet de ce rapport rassemblent une grande partie des essais à température de paroi constante réalisés sur ce type de surface par les laboratoires du Commissariat à l'Energie Atomique.

Ces essais s'intègrent dans un programme général portant aussi bien sur l'étude systématique du chevron que sur la recherche d'une gaine convenant à un réacteur particulier, études qui ont fait l'objet de publications antérieures [1, 2, 3]

DEFINITIONS GEOMETRIQUES DES GAINES A AILETTES EN CHEVRON.

Une gaine est caractérisée par son diamètre interne D_o , par le nombre n de secteurs et les dimensions de ses ailettes.

On distingue deux types de chevrons :

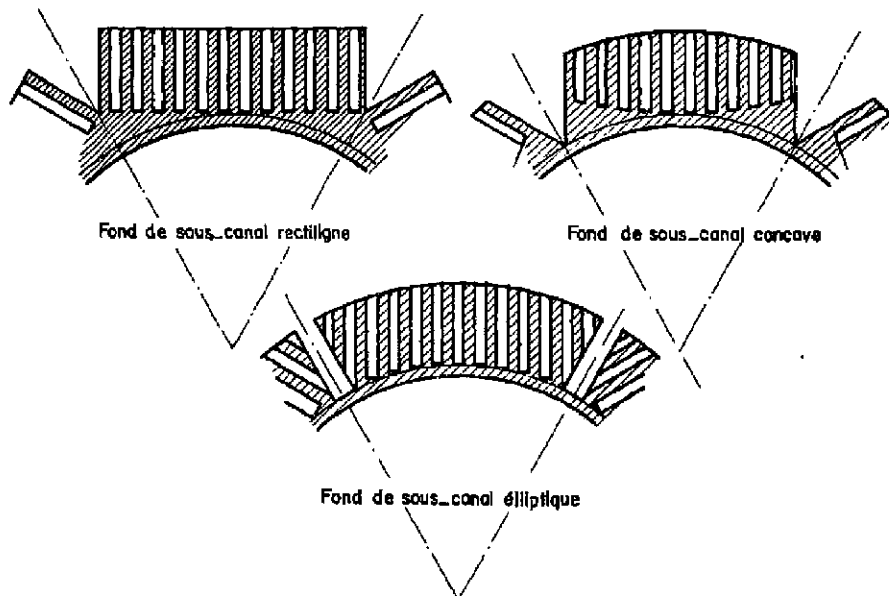
- le chevron hélicoïdal pour lequel l'ailette est "enroulée" en hélice autour de la gaine à la manière d'un filetage.

L'usinage est réalisé par une fraise toupie dont l'axe de rotation est perpendiculaire à l'axe de la gaine.

L'épaisseur de la gaine est constante le long du sous-canal (espace compris entre deux ailettes). L'inclinaison des ailettes est alors définie par le pas de l'hélice.

- le chevron plan est caractérisé par le fait que l'usinage des sous-canaux est réalisé par une fraise scie ; la surface de l'ailette est alors plane.

Suivant la forme du fond du sous-canal, on distingue le chevron plan rectiligne, concave ou elliptique.



Par ailleurs on définit la section droite de l'ailette, qui peut être trapézoïdale ou rectangulaire, par son épaisseur en base e_b et en pointe e_p .

La hauteur l de l'ailette est en général la hauteur au centre du secteur.

La distance entre deux ailettes adjacentes est définie par le pas s ou, dans le cas du chevron hélicoïdal, par le nombre d'ailettes usinées sur une longueur égale au pas de l'hélice.

La géométrie d'une gaine est enfin parfaitement définie quand on connaît en plus les dimensions des rainures ou centreurs qui séparent les secteurs.

On remarquera que si les secteurs eux-mêmes ne présentent pas d'axe de symétrie, il est nécessaire de définir le sens de l'écoulement.

DESCRIPTION DE LA CELLULE D'ESSAI.

La cellule d'essais (figure 1) est constituée d'un train de 3 gaines de 600 mm de long, assemblée par des bagues intérieures munies de joints toriques qui assurent l'étanchéité. A l'intérieur de ces gaines circule de l'eau chaude à une température voisine de 100°C. La surface externe ailetée est refroidie par du CO₂ sous 15 Hp et à une température moyenne de 50°C.

Le train de gaine est placé dans un canal vertical dont le diamètre peut prendre les valeurs de 70, 84, 100,5 ou 110 mm.

L'ensemble de la cellule est soigneusement calorifugée.

En amont de la cellule, une tuyère normalisée permet de mesurer le débit masse de gaz à 1 % près. Un diaphragme donne la valeur du débit d'eau.

La ligne de charge le long du train de gaines est mesurée par des prises de pression statique percées dans la paroi du canal le long d'une génératrice et disposées suivant la figure 1.

On vérifie que la perte de charge est bien linéaire le long du train ; les effets d'extrémités sont négligeables.

Les températures sont mesurées par thermocouples Chromel-Alumel étalonnés en laboratoire.

- θ_q température du CO_2 au débitmètre
- θ_e température d'entrée du gaz
- θ_s température de sortie du gaz
- T_e température d'entrée de l'eau
- T_s température de sortie de l'eau.

DEFINITIONS DES GRANDEURS UTILISEES

Le coefficient de frottement isotherme est mesuré en l'absence de tout chauffage et défini par :

$$f_0 = \frac{\Delta P}{L} \frac{s}{\pi D_0} \left(\frac{1}{P_d} - \frac{2}{P} \right) \quad \text{avec } P_d = \frac{1}{2} \frac{q^2}{\rho s^2}$$

ΔP perte de charge le long de la longueur L du train de gaine

s section de passage du CO_2

D_0 diamètre d'uranium pris comme référence

P_d pression dynamique

\bar{P} pression moyenne au milieu du train de gaine

q débit masse du CO_2

ρ masse volumique du CO_2 à θ_q et \bar{P}

A partir des mesures de température, on détermine un nombre de Margoulis global M_b^1 :

$$M_b^1 = \frac{s}{\pi D_i L'} \log_e \frac{T_e - \theta_e}{T_s - \theta_s}$$

D_i étant le diamètre interne des gaines expérimentées et L' la longueur chauffante déterminée à partir de la longueur du train de gaine, compte tenu de la résistance thermique due aux bagues de jonction.

Le nombre de Margoulis côté eau M_E est donné par

$$M_E = K \text{Re}_E^{-0,2} \text{Pr}_E^{-0,6} \quad \text{où}$$

K est une constante déterminée expérimentalement. (Pour des diamètres internes compris entre 30 et 95 mm, le coefficient d'étalonnage est $K = 0,035$).

Le nombre de Reynolds de l'eau est défini par $\text{Re}_E = \frac{Q D_i}{\mu_E S}$ (μ_E viscosité dynamique de l'eau à $\frac{T_e + T_s}{2}$; S section de passage de l'eau).

$$\text{Pr}_E$$
 est le nombre de Prandtl de l'eau à $\frac{T_e + T_s}{2}$

En tenant compte du coefficient d'échange côté eau, le nombre de Margoulis sur la paroi interne de la gaine s'écrit :

$$M_i = \frac{M_b^1}{1 + \frac{q C_p}{Q C} \left[1 - \frac{S}{s} \frac{M_b^1}{M_E} \right]} \quad (1)$$

C_p chaleur spécifique du CO_2 prise à $\frac{\theta_e + \theta_s}{2}$ et $P = \text{Pr} + \text{Pa}$
 C chaleur spécifique de l'eau à $\frac{T_e + T_s}{2}$

Le nombre de Margoulis M_o est rapporté au diamètre de référence D_0

$$M_o = \frac{h_0 s}{q C_p}$$

h_0 est le rapport de la densité de flux ϕ_o sur le diamètre D_0 à l'écart de température ($T_o - \theta$). Compte tenu de la conduction dans l'épaisseur de la gaine la relation (1) donne

$$\frac{1}{M_o} = \frac{1}{M_i} \left[1 + \frac{D_0 - D_i}{D_i} \right] - \frac{D_0 - D_i}{D_0 + D_i} \text{Re}_o \text{Pr}_o \frac{\lambda_{\text{CO}_2}}{\lambda_{\text{gaine}}}$$

On définit le nombre de Reynolds Re_o rapporté au diamètre D_o par

$$Re_o = \frac{q D_o}{\mu s}$$

μ étant la viscosité dynamique du CO_2 prise à la température $\frac{\theta_e + \theta_s}{2}$ et à la pression $P = P_r + P_a$.

CLASSIFICATION DES ESSAIS

Etant donné le nombre important d'essais réalisés (environ 400), la présentation sous forme de diagrammes aurait conduit à un document volumineux et peu pratique d'utilisation. On a préféré rassembler les résultats en tableaux donnant les caractéristiques techniques de chaque gaine avec un plan de section droite et les valeurs du coefficient de frottement et du nombre de Margoulis pour quatre valeurs du nombre de Reynolds.

Le classement est effectué par numéro de plan. Une autre classification faite en fonction des caractéristiques techniques des gaines, donne ci-après, la correspondance avec la première. Chaque gaine est affectée d'un numéro constitué comme suit :

- pour les gaines à chevrons hélicoïdaux :

Nombre d'ailettes / Nombre de secteurs / Pas de l'hélice / Hauteur d'ailette (en mm)

Ex. : 48-8-400-7,5

- pour les gaines à chevrons plans :

Pas des ailettes (en mm) / Nombre de secteurs / Angle d'inclinaison (en degrés) /

Hauteur d'ailette (en mm)

Ex. : 2-8-20°-8

Pour chaque type de chevron (hélicoïdal, plan rectiligne, plan concave et plan elliptique), les gaines sont classées par nombre de secteurs croissants, et dans ces groupes par pas (ou nombre d'ailettes), angle (ou pas de l'hélice) et hauteur d'ailette croissantes.

CLASSIFICATION PAR NUMERO DE GAINES

Gaines à Chevrons hélicoïdaux

Nombre de Secteurs	N° de gaine	N° Plan	Planche
4	46-4-160-6 48-4-200-7,5 48-4-400-7,5 48-4-600-7,5 52-4-202-6 58-4-264-6 60-4-310-6 64-4-442-6	60-10-1-16A 60-10-1-17A 60-10-1-18A	50 50 50 50 51 51
6	48-6-200-7,5 48-6-300-6 48-6-300-7,5 48-6-400-7,5 52-6-202-6 53-6-97-6 60-6-300-7 60-6-310-6 62-6-360-6 64-6-442-6 65-6-506-6 67-6-690-6 80-6-300-6	60-10-1-01A 61-06-3-01A 60-10-1-02A 62-03-3-01 61-03-1-01	1 60 6 1 52 52 15 52 53 53 53 54 4
8	46-8-160-6 48-8-400-7,5 52-8-202-6 60-8-310-6 64-8-442-6 65-8-506-6 66-8-610-6 67-8-690-6 60-12-310-6 62-12-360-6 65-12-506-6 67-12-690-6 68-12-1055-6	60-10-1-04A	54 1 54 55 55 56 56 56 57 57 58 58 58
16	67-16-690-6		59

GAINES A CHEVRONS PLANS RECTILIGNES

Nomenclature des secteurs	N° Catégorie	N° Plan	N° Plan	N° Planche	Nombre des secteurs	N° Geste	N° Plan	N° France
								8
8	1.6-15-25*-7	62-01-3-03	14		2.0-15*-8	62-14-3-01	20	
	1.6-15-25*, 6, 3	62-01-3-04	15		2.0-15*-9	63-05-3-01	20	
	1.6-15-25*, 2	60-15-1-02	4		2.0-20*-8	63-05-3-03	20	
	1.6-15-25*, 1	60-15-1-03	3		2.0-20*-8	63-11-3-03	24	
	1.6-15-30*, 7	60-15-3-15	3		2.0-20*-8	63-11-3-04	24	24-23
	2-0-8*-10	64-04-3-15	37		2.0-20*-9	66-07-3-04	48	
	2-0-8*-10	64-04-8-18	37		2.0-20*-9	68-08-3-03	15	
	2-0-8*-12	64-04-3-14	36		2.0-32*	69-09-3-03	18	
	2-0-8*-15	64-04-3-16	37		2.0-32*	69-10-3-04	32	
	2-0-20-9	62-08-5-02	15		3.0-20*	69-04-3-10	34	
	2-0-20-10	64-08-3-02	30		3.0-20*	69-04-3-10	34	
	2-0-20-10	64-04-3-03	31	12	1.1-12-8*	61-04-3-17	38	
	2-0-20-10	64-04-8-23	29		1.1-12-8*	64-05-3-16	39	
	2-0-20-10	64-12-3-01	42		1.1-12-20*	64-06-3-11	35	
	2-0-20-10	64-12-3-01	42		1.1-12-20*	65-06-3-01	44	
	2-0-20-10	64-12-3-01	30		1.1-12-20*	65-06-3-02	44	
	2-0-20-10	60-08-3-08	4		1.1-12-20*	66-06-3-02	44	
	2-0-25*-7	61-08-1-01	7		1.6-12-30*	61-05-3-06	48	
	2-0-25*-8	61-08-1-01	7		1.6-12-20*	65-06-3-06	48	
	2-0-25*-9	61-08-1-01	7		1.6-12-25*	67-05-3-07	48	
	2-0-25*-9	61-08-1-01	6		1.6-12-25*	68-06-3-07	48	
	2-0-25*-10	60-18-1-04	3		1.0-12-20*	65-06-3-03	44	
	2-0-30*-7	64-04-8-01	30		1.8-12-20*	66-10-3-01	48	
	2-0-30*-10	62-01-3-01	13		1.8-12-20*	65-06-3-04	48	
	2-0-30*-10	62-01-3-01	12		1.8-12-20*	65-07-3-05	45	
	2-0-30*-10	62-01-3-01	9 & 14		1.8-12-25*	67-05-3-06	47	
	2-0-30*-10	62-02-3-01	20		1.R-1-25*	68-06-3-08	47	
	2-0-30*-10	64-02-3-01	1		2-12-20*	69-06-3-05	32	
	1-0-23*-5	63-09-3-01	23	14	2-14-5*	64-04-3-06	33	
	1-0-23*-5	64-10-3-06	41		2-14-5*	65-06-3-07	33	
	1-0-23*-5	64-10-3-06	41		1.8-16-5*	64-10-3-01	40	
	1-0-23*-5	64-10-3-06	64	16	1.8-16-5*	64-10-3-03	40	
	1-0-23*-5	64-10-3-03	40		1.8-16-8*	66-05-3-01	47	
	1-0-23*-5	64-10-3-03	40		1.8-16-8*	68-06-3-02	48	
	1-0-23*-5	64-10-3-03	40		3-16-20*	64-06-3-12	35	
	1-0-23*-5	64-10-3-04	41		3-16-20*	64-06-3-12	35	
	1-0-23*-5	64-10-3-04	41		3-16-20*	64-06-3-13	36	
	1-0-23*-5	64-07-3-01	63		3-16-20*	64-06-3-13	36	
	1-0-23*-5	65-07-3-02	48		3-16-20*	64-06-3-13	36	
	1-0-23*-5	TRC 3400-38-27	62-63	22	2-22*-3*	64-04-3-08	33	
	1-0-23*-5	63-11-3-02	24		1-24-20*	64-04-3-21	39	
	1-0-23*-5	64-04-8-18	38	24	1-24-20*	64-04-3-09	34	
	2-0-5*-10	64-04-3-02	39		2-26-27*	64-04-3-09	34	
	2-0-5*-15	64-04-3-03	31		2-26-27*	64-04-3-09	34	
	2-0-10*-5	62-04-3-03	17		2-26-27*	64-04-3-09	34	
	2-0-15*-8	62-04-3-03	17		2-26-27*	64-04-3-09	34	

GAINES A CHEVRONS PLANS CONCAVES

Nombre de Secteurs	N° Gaine	N° de Plan	N° Planche
8	1-6-8-30°-7,2		61
	2-8-20°-8	62-10-3-01A	18-19
	2-8-20°-9	63-05-3-01 j	22
	2-8-27°-8		61
	2-8-30°-7,2		61
	2-8-30°-7,5	61-04-1-01	5
	2-8-30°-8		62
10	2-10-21°-7,5	61-04-1-02	5
	2-10-26°-7,5	61-04-1-03	5
18	1-18-22°-5	63-08-3-01 l	25

GAINES A CHEVRONS PLANS ELLIPTIQUE

Nombre de Secteurs	N° Gaine	N° Plan	N° Planche
4	2-4-25°-12,5	61-10-3-01	8
	2-6-25°-9	61-10-3-02	8
	2-6-25°-10	61-10-3-04	9
	2, 2-6-20°-9		60
	2, 68-6-15°-12	63-04-3-03	21-22
8	2-8-15°-9	62-13-3-03	19
	2-8-15°-9	62-13-3-04	20
	2-8-15°-9	63-04-3-02	21
	2-8-25°-8	61-10-3-03	9
12	1, 34-12-15° 6	63-04-3-01	20
	2-12-20°-9		60

CONCLUSION

Les résultats qui sont rassemblés sur les planches 1 à 64 sont relatifs aux essais "isothermes" sur gaines à ailettes en chevrons, le diamètre interne de ces gaines variant de 30 à 43 mm.

Etant donné la méthode expérimentale mise en jeu, ce type d'essai est incomplet pour définir le fonctionnement réel d'une gaine : en particulier on ne parle pas ici des singularités thermiques, on détermine seulement un coefficient d'échange moyen.

Ces cellules d'essais sont utilisées principalement pour comparer divers types de gaines entre elles. Dans ce cas, les performances sont connues les unes par rapport aux autres à 5% près (précision d'usinage, fidélité des mesures ...).

On peut cependant considérer que les valeurs données ici recoupent à mieux que 10 pour cent les valeurs moyennes obtenues sur des cellules à densité de flux constant (erreurs systématiques, précision des mesures, définition des singularités thermiques, géométrie du train de gaine ...).

L'ordre de présentation des résultats ne permet pas de mettre en évidence les progrès réalisés sur les performances aérothermiques de ce type de surface. Cependant, on pourra en juger par la comparaison des premières gaines expérimentées (chevrons hélicoïdaux) à la gaine du type EDF 3 par exemple.

La somme de ces résultats a permis, en plus, de formuler les performances aérothermiques des surfaces à ailettes en chevron donnant un appui expérimental solide à la formulation pratique à laquelle ont aboutit ces études [2] [3] [4].

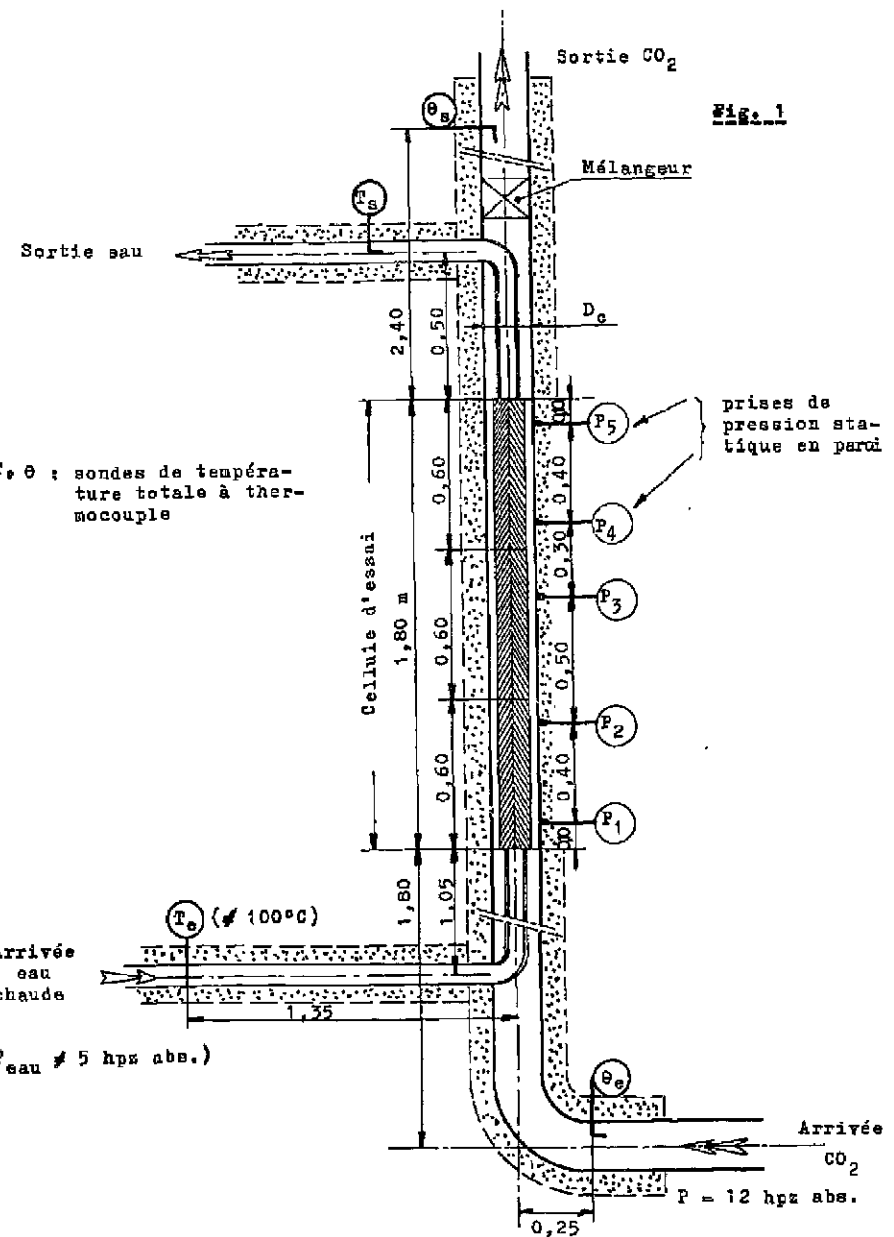
BIBLIOGRAPHIE

- [1] PELCE J., FRANCOIS S., HOUSSEAUX O., PIERRE B.
Etude expérimentale du transfert de chaleur et des pertes de charge des gaines à ailettes hélicoïdales en chevron
Rapport C. E. A. R-2469, Août 1964
- [2] PELCE J., MALHERBES J., PIERRE B.
Etude théorique et expérimentale du transfert de chaleur et des pertes de charge de surfaces munies d'aillettes disposées en chevron
Rapport C. E. A. R-2471
- [3] PELCE J., MALHERBE J., PIERRE B.
Theoretical and experimental studies on the heat transfer and pressure drops along surfaces fitted with berring bone fins
Third Intern. Heat Transfer Conf., Chicago, 7-12 Août 1966
- [4] MALHERBES J., CORNILLE Y., PELCE J.
Heat transfer and pressure drop along berring bone finned surfaces
Symposium on high pressure gas as a heat transport medium
Londres, 9-10 Mars 1967

NOTATION

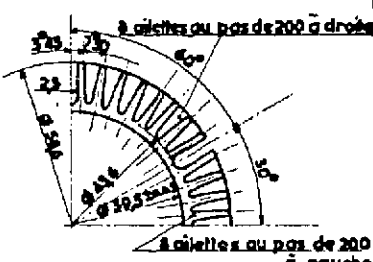
- | | |
|-------------------|--|
| A | Surface occupée par les ailettes et les sous canaux d'un secteur en section droite de gaine |
| C | Capacité calorifique de l'eau |
| Cp | Chaleur spécifique du gaz à $\frac{B+G_0}{2}$ et \bar{P} |
| Di | Diamètre interne des gaines |
| Do | Diamètre de référence (diamètre d'uranium) |
| E | Epaisseur minimale de gaine |
| e_b | Epaisseur en base des ailettes |
| e_p | Epaisseur en pointe des ailettes |
| fo | Coefficient de frottement |
| ha | Hauteur maximale des ailettes |
| L | Longueur du train de gaines |
| L' | Longueur chauffante |
| M _o | Nombre de Margoulis |
| n | Nombre de secteurs |
| P̄ | Pression moyenne au milieu de la cellule |
| P _d | Pression dynamique du gaz |
| Pr | Nombre de Prandt du gaz |
| Pr _E | Nombre de Prandt de l'eau |
| Re _E | Nombre de Reynolds de l'eau |
| Re _o | Nombre de Reynolds du gaz |
| s | Section de passage du fluide de refroidissement comprenant la surface comprise entre la pointe des ailettes et le diamètre interne du canal comptée perpendiculairement à l'axe de la gaine, et la surface des sous-canaux comptée perpendiculairement à ces derniers. |
| S | Section de passage de l'eau |
| w | Angle d'inclinaison des ailettes sur l'axe de la gaine |
| Ap | Partie de charge le long du train de gaine |
| c | Pas des ailettes compté perpendiculairement aux sous-canaux |
| λ_{CO_2} | Coefficient de conductibilité thermique du gaz |
| λ_{gaine} | Coefficient de conductibilité thermique de la gaine |
| μ | Viscosité dynamique du gaz |
| ρ_{CO_2} | Masse volumique du gaz |

SCHEMA DE L'INSTALLATION D'ESSAIS ISOTHERMES SOUS PRESSION



N° de plan : C.60.10.1.01 A
N° de gaine : 48.6.200.7,5

CARACTÉRISTIQUE DE GAINE



Type: Chevron hélicoïdal

Nature du métal : Au 4 G
D_o : 39,5 mm
E : 2,05 mm
n : 6
A : 182 mm²
ha : 7,5 mm
pas ou ec : 200 mm
N ou E : 48 ail.
ep : 0,31 mm
eb : 1,01 mm

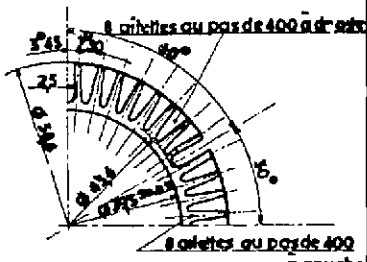
Observations :

CONDITIONS D'ESSAIS

N°	S mm ²	D _c mm	Observations		
9	5924	100,5	sans centreurs		
R _{e0}	3,5.10 ⁵	5.10 ⁵	7.10 ⁵	9.10 ⁵	
r _o	0,212	0,212	0,212	-	
M ₀	0,0264	0,0227	0,0194	-	

N° de plan : C.60.10.1.02 A
N° de gaine : 48.6.400.7,5

CARACTÉRISTIQUE DE GAINE



Type: Chevron hélicoïdal

Nature du métal : Mg Zr
D_o : 39,5 mm
E : 2,05 mm
n : 6
A : 182 mm²
ha : 7,5 mm
pas ou ec : 400 mm
N ou E : 48 ail.
ep : 0,37 mm
eb : 1,21 mm

Observations :

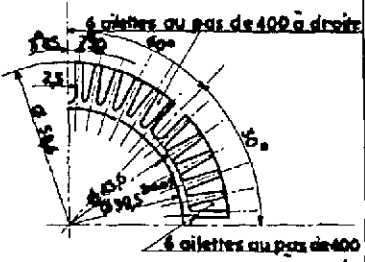
CONDITIONS D'ESSAIS

N°	S mm ²	D _c mm	Observations		
47	6090	100,5	sans centreurs		
R _{e0}	3,5.10 ⁵	5.10 ⁵	7.10 ⁵	9.10 ⁵	
f _o	0,1075	0,1075	0,1075	-	
M ₀	0,0185	0,0163	0,0144	-	

N° de plan : 60.10.1.04 A

N° de gaine : 48.8.400.7,5

CARACTÉRISTIQUE DE GAINE



Type: Chevron hélicoïdal

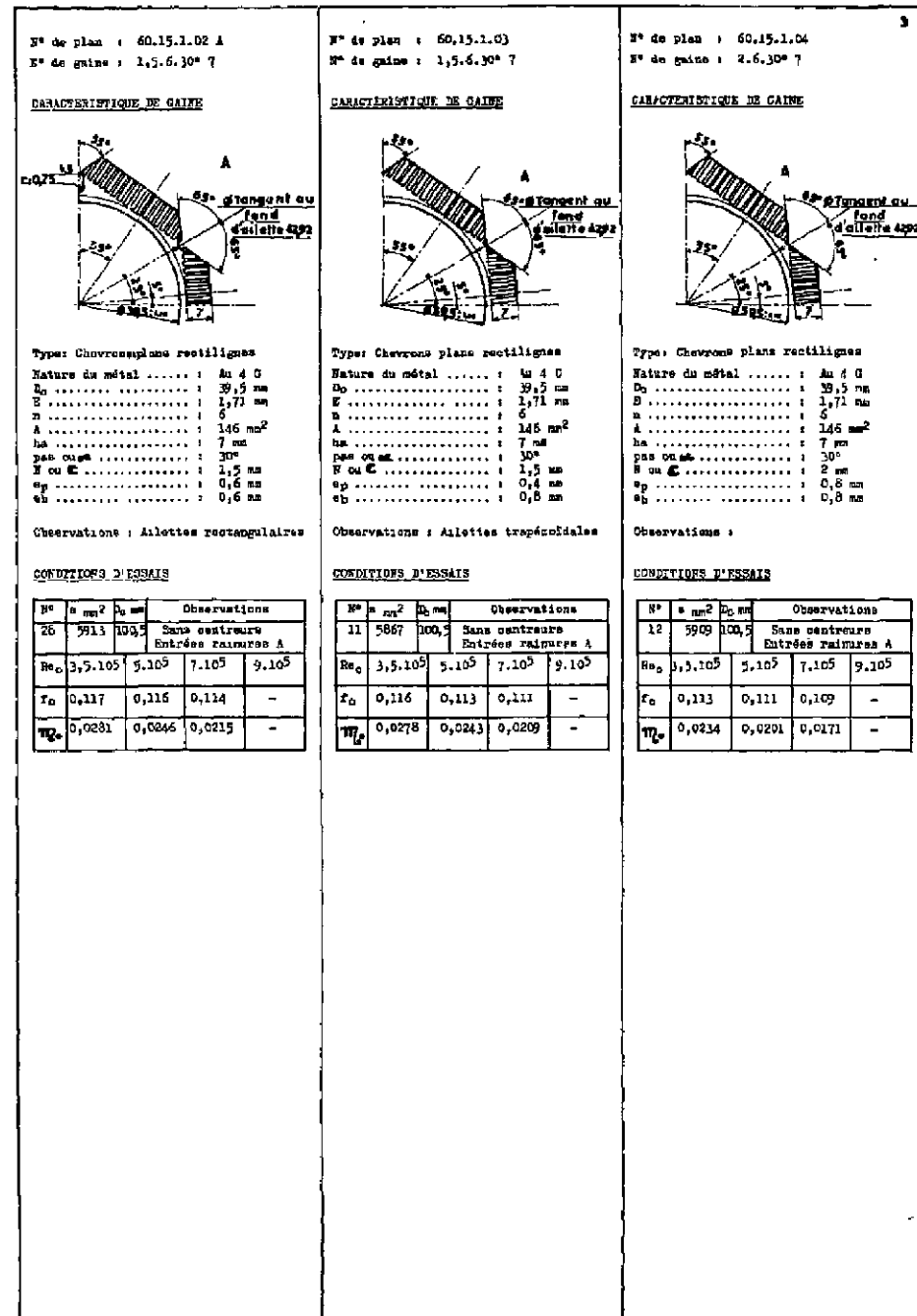
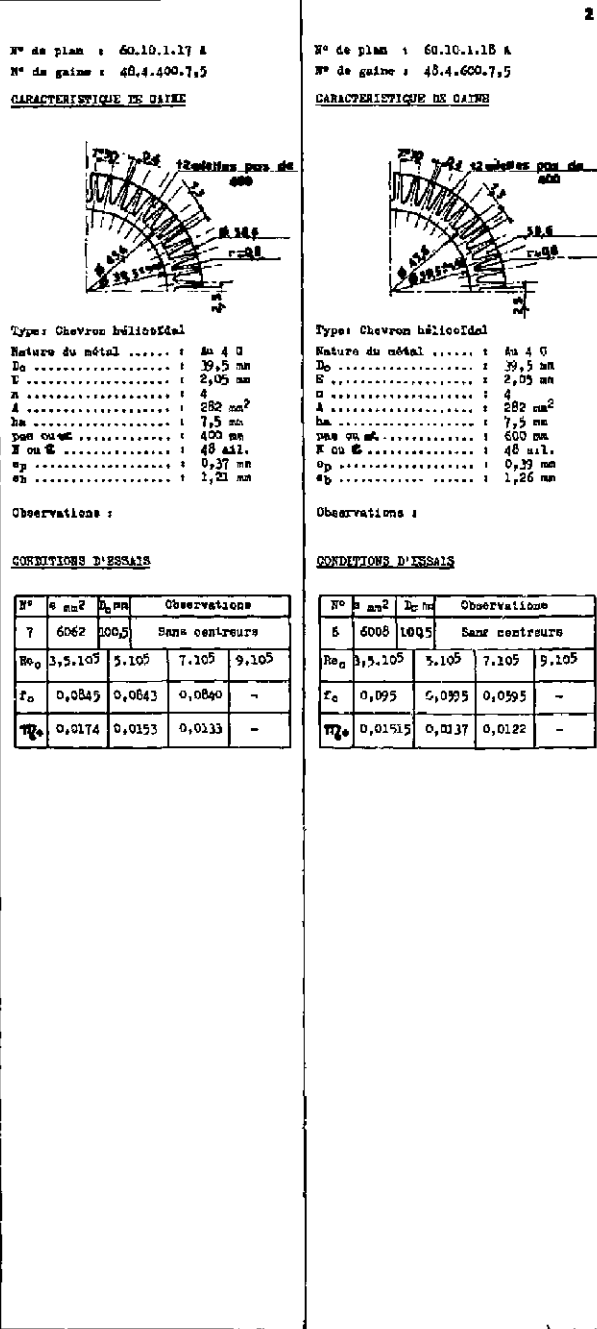
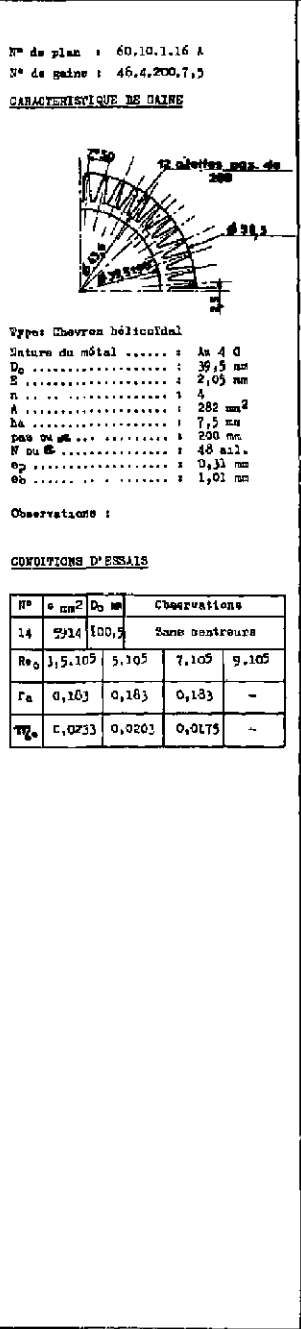
Nature du métal : Au 4 G
D_o : 39,5 mm
E : 2,05 mm
n : 8
A : 132 mm²
ha : 7,5 mm
pas ou ec : 400 mm
N ou E : 48 ail.
ep : 0,37 mm
eb : 1,21 mm

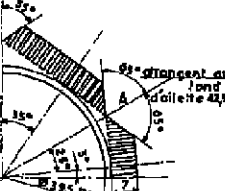
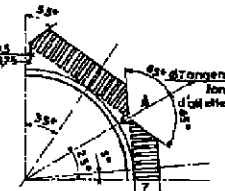
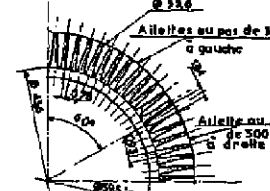
Observations :

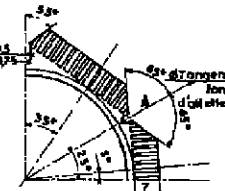
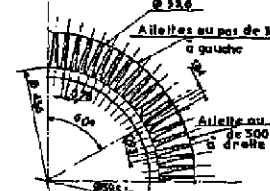
CONDITIONS D'ESSAIS

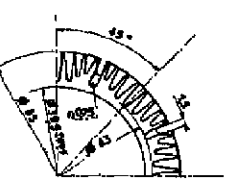
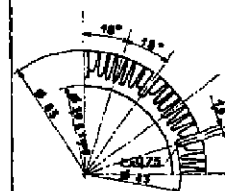
N°	S mm ²	D _c mm	Observations		
8	6069	100,5	sans centreure		
R _{e0}	3,5.10 ⁵	5.10 ⁵	7.10 ⁵	9.10 ⁵	
r _o	0,137	0,137	0,137	-	
M ₀	0,0213	0,0182	0,0152	-	

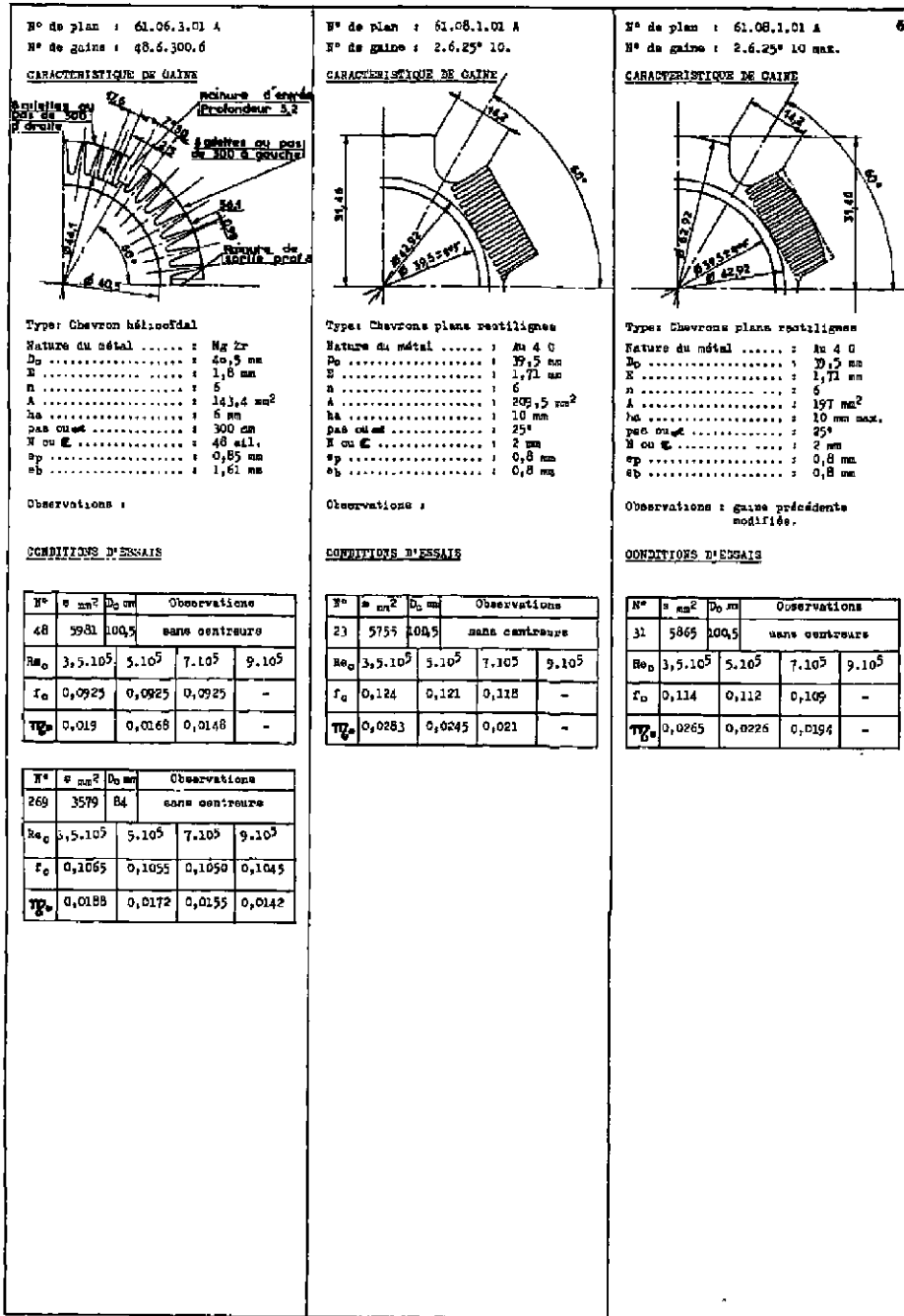
1

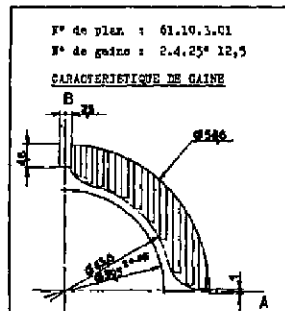


N° de plan : 60.15.1.05	N° de plan : 60.15.1.06 3	N° de plan : 61.03.1.01																										
N° de gaine : 1.5.6.25 ^e 7	N° de gaine : 2.6.25 ^e 7	N° de gaine : 80.6.300.6																										
<u>CARACTÉRISTIQUES DE GAINE</u>																												
																												
Type: Chevrons plans rectilignes	Type: Chevrons plans rectilignes	Type: Chevrons plans concaves																										
Nature du métal : Au 4 G	Nature du métal : Au 4 G	Nature du métal : Au 4 G																										
D _o 39,5 mm	D _o 39,5 mm	D _o 39,5 mm																										
E 1,71 mm	E 1,71 mm	E 1,75 mm																										
n 6	n 6	n 10																										
A 145 mm ²	A 142 mm ²	A 95 mm ²																										
ha 7 mm	ha 7 mm	ha 7,5 mm max.																										
pas ouest 25°	pas ouest 25°	pas ouest 30°																										
T ou E 1,5 mm	T ou E 2 mm	T ou E 2 mm																										
ep 0,4 mm	ep 0,3 mm	ep 0,3 mm																										
eb 0,8 mm	eb 1,0 mm	eb 0,8 mm																										
Observations :																												
<u>CONDITIONS D'ESSAIS</u>																												
<table border="1"> <thead> <tr> <th>N°</th> <th>a mm²</th> <th>D_o mm</th> <th>Observations</th> </tr> </thead> <tbody> <tr> <td>60</td> <td>5912</td> <td>100,5</td> <td>Sans centreurs</td> </tr> <tr> <td></td> <td></td> <td></td> <td>Entrées rainures A</td> </tr> <tr> <td>R₀</td> <td>3,5.10⁵</td> <td>5.10⁵</td> <td>7.10⁵</td> </tr> <tr> <td>f₀</td> <td>0,101</td> <td>0,0995</td> <td>0,0975</td> <td>-</td> </tr> <tr> <td>Tf₀</td> <td>0,0258</td> <td>0,0230</td> <td>0,0243</td> <td>-</td> </tr> </tbody> </table>			N°	a mm ²	D _o mm	Observations	60	5912	100,5	Sans centreurs				Entrées rainures A	R ₀	3,5.10 ⁵	5.10 ⁵	7.10 ⁵	f ₀	0,101	0,0995	0,0975	-	Tf ₀	0,0258	0,0230	0,0243	-
N°	a mm ²	D _o mm	Observations																									
60	5912	100,5	Sans centreurs																									
			Entrées rainures A																									
R ₀	3,5.10 ⁵	5.10 ⁵	7.10 ⁵																									
f ₀	0,101	0,0995	0,0975	-																								
Tf ₀	0,0258	0,0230	0,0243	-																								

N° de plan : 60.15.1.06 3	N° de plan : 61.03.1.01																										
N° de gaine : 2.6.25 ^e 7	N° de gaine : 80.6.300.6																										
<u>CARACTÉRISTIQUES DE GAINE</u>																											
																											
Type: Chevrons plans rectilignes	Type: Chevrons plans concaves																										
Nature du métal : Au 4 G	Nature du métal : Au 4 G																										
D _o 39,5 mm	D _o 39,5 mm																										
E 1,71 mm	E 1,75 mm																										
n 6	n 6																										
A 142 mm ²	A 110 mm ²																										
ha 7 mm	ha 7,5 mm max.																										
pas ouest 25°	pas ouest 30°																										
T ou E 2 mm	T ou E 2 mm																										
ep 0,3 mm	ep 0,3 mm																										
eb 1,0 mm	eb 0,8 mm																										
Observations :																											
<u>CONDITIONS D'ESSAIS</u>																											
<table border="1"> <thead> <tr> <th>N°</th> <th>a mm²</th> <th>D_o mm</th> <th>Observations</th> </tr> </thead> <tbody> <tr> <td>5</td> <td>5050</td> <td>100,5</td> <td>Sans centreurs</td> </tr> <tr> <td></td> <td></td> <td></td> <td>Entrées rainures A</td> </tr> <tr> <td>R₀</td> <td>3,5.10⁵</td> <td>5.10⁵</td> <td>7.10⁵</td> </tr> <tr> <td>f₀</td> <td>0,0845</td> <td>0,082</td> <td>0,080</td> <td>-</td> </tr> <tr> <td>Tf₀</td> <td>0,0220</td> <td>0,0193</td> <td>0,0167</td> <td>-</td> </tr> </tbody> </table>		N°	a mm ²	D _o mm	Observations	5	5050	100,5	Sans centreurs				Entrées rainures A	R ₀	3,5.10 ⁵	5.10 ⁵	7.10 ⁵	f ₀	0,0845	0,082	0,080	-	Tf ₀	0,0220	0,0193	0,0167	-
N°	a mm ²	D _o mm	Observations																								
5	5050	100,5	Sans centreurs																								
			Entrées rainures A																								
R ₀	3,5.10 ⁵	5.10 ⁵	7.10 ⁵																								
f ₀	0,0845	0,082	0,080	-																							
Tf ₀	0,0220	0,0193	0,0167	-																							

N° de plan : 61.04.1.01	N° de plan : 61.04.1.02																										
N° de gaine : 2.6.30 ^e 7,5	N° de gaine : 2.10.21 ^e 7,5																										
<u>CARACTÉRISTIQUES DE GAINE</u>																											
																											
Type: Chevrons plans rectilignes	Type: Chevrons plans concaves																										
Nature du métal : Au 4 G	Nature du métal : Au 4 G																										
D _o 39,5 mm	D _o 39,5 mm																										
E 1,71 mm	E 1,75 mm																										
n 6	n 10																										
A 142 mm ²	A 94 mm ²																										
ha 7,5 mm max.	ha 7,5 mm max.																										
pas ouest 25°	pas ouest 21°																										
T ou E 2 mm	T ou E 2 mm																										
ep 0,3 mm	ep 0,3 mm																										
eb 0,8 mm	eb 0,8 mm																										
Observations :																											
<u>CONDITIONS D'ESSAIS</u>																											
<table border="1"> <thead> <tr> <th>N°</th> <th>a mm²</th> <th>D_o mm</th> <th>Observations</th> </tr> </thead> <tbody> <tr> <td>29</td> <td>5884</td> <td>100,5</td> <td>Sans centreurs</td> </tr> <tr> <td></td> <td></td> <td></td> <td>Entrées rainures A</td> </tr> <tr> <td>R₀</td> <td>3,5.10⁵</td> <td>5.10⁵</td> <td>7.10⁵</td> </tr> <tr> <td>f₀</td> <td>0,144</td> <td>0,143</td> <td>0,142</td> <td>-</td> </tr> <tr> <td>Tf₀</td> <td>0,0244</td> <td>0,0235</td> <td>0,019</td> <td>-</td> </tr> </tbody> </table>		N°	a mm ²	D _o mm	Observations	29	5884	100,5	Sans centreurs				Entrées rainures A	R ₀	3,5.10 ⁵	5.10 ⁵	7.10 ⁵	f ₀	0,144	0,143	0,142	-	Tf ₀	0,0244	0,0235	0,019	-
N°	a mm ²	D _o mm	Observations																								
29	5884	100,5	Sans centreurs																								
			Entrées rainures A																								
R ₀	3,5.10 ⁵	5.10 ⁵	7.10 ⁵																								
f ₀	0,144	0,143	0,142	-																							
Tf ₀	0,0244	0,0235	0,019	-																							





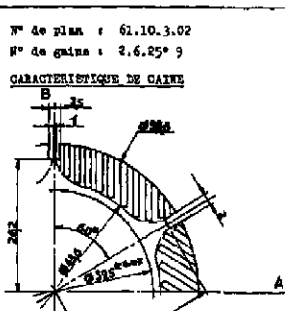
Type: Chevron plan elliptique
Nature du métal : Au 4 O
Dg : 39,5 mm
E : 2,05 mm
n : 6
A : 175 mm²
ha : 9 mm max.
pas cu : 25°
R cu : 2 mm
ep : 0,8 mm
eb : 0,8 mm

Observations :

CONDITIONS D'ESSAIS

N°	δ mm ²	D ₀ mm	Observations
82	5918 100,5	Sans contreurs Entrées rainures A	
Re ₀	3,5.10 ³	5,10 ³ 7,10 ³ 9,10 ³	
f ₀	0,10	0,10 0,10	0,10
Tf ₀	0,022	0,0193	0,0166 0,0143

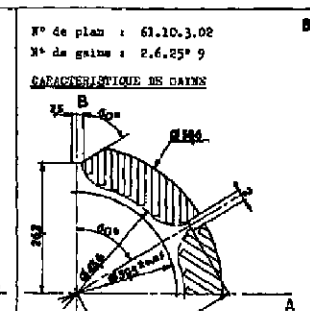
N°	δ mm ²	D ₀ mm	Observations
83	5918 100,5	Sans contreurs Sorties rainures A	
Re ₀	3,5.10 ³	5,10 ³ 7,10 ³ 9,10 ³	
f ₀	0,109	0,109 0,109	0,109
Tf ₀	0,022	0,0191	0,0163 0,014



Type: Chevron elliptique
Nature du métal : Au 4 O
Dg : 39,5 mm
E : 2,05 mm
n : 6
A : 175 mm²
ha : 9 mm max.
pas cu : 25°
R cu : 2 mm
ep : 0,8 mm
eb : 0,8 mm

Observations :

CONDITIONS D'ESSAIS



Type: Chevron plan elliptique
Nature du métal : Au 4 O
Dg : 39,5 mm
E : 2,05 mm
n : 6
A : 175 mm²
ha : 9 mm max.
pas cu : 25°
R cu : 2 mm
ep : 0,8 mm
eb : 0,8 mm

Observations : Gaine précédente modifiée

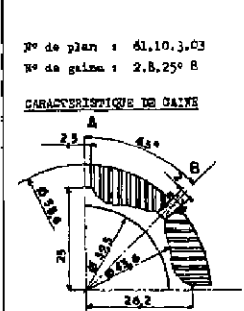
CONDITIONS D'ESSAIS

N°	δ mm ²	D ₀ mm	Observations
64	3490	84	Sans contreurs Entrées rainures A
Re ₀	3,5.10 ³	5,10 ³ 7,10 ³ 9,10 ³	
f ₀	0,114	0,113 0,112	0,111
Tf ₀	0,0269	0,0235	0,0208 0,0185

N°	δ mm ²	D ₀ mm	Observations
79	5916 100,5	Sans contreurs Entrées rainures A	
Re ₀	3,5.10 ³	5,10 ³ 7,10 ³ 9,10 ³	
f ₀	0,117	0,113 0,112	0,111
Tf ₀	0,0228	0,020	0,0173 0,0155

N°	δ mm ²	D ₀ mm	Observations
66	5880 100,5	Sans contreurs Sorties rainures A	
Re ₀	3,5.10 ³	5,10 ³ 7,10 ³ 9,10 ³	
f ₀	0,122	0,122 0,122	0,122
Tf ₀	0,0237	0,0205	0,0177 0,0156

N°	δ mm ²	D ₀ mm	Observations
126	5772 100,5	3 cent. de 2 mm Entrées rainures B	
Re ₀	3,5.10 ³	5,10 ³ 7,10 ³ 9,10 ³	
f ₀	0,10	0,10 0,10	0,10
Tf ₀	0,0249	0,0218	0,0188 0,0166



Type: Chevron plan elliptique
Nature du métal : Au 4 O
Dg : 39,5 mm
E : 2,05 mm
n : 6
A : 175,5 mm²
ha : 8 mm max.
pas cu : 25°
R cu : 2 mm
ep : 0,8 mm
eb : 0,8 mm

Observations :

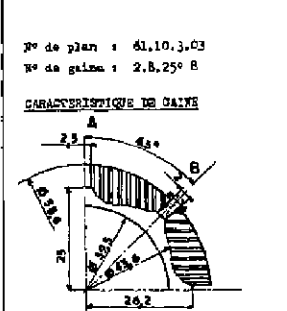
CONDITIONS D'ESSAIS

N°	δ mm ²	D ₀ mm	Observations
78	5653 100,5	Sans contreurs Entrées rainures A	
Re ₀	3,5.10 ³	5,10 ³ 7,10 ³ 9,10 ³	
f ₀	0,117	0,115 0,115	0,114
Tf ₀	0,0249	0,0218	0,019 0,0169

N°	δ mm ²	D ₀ mm	Observations
79	5653 100,5	Sans contreurs Entrées rainures A	
Re ₀	3,5.10 ³	5,10 ³ 7,10 ³ 9,10 ³	
f ₀	0,117	0,115 0,115	0,114
Tf ₀	0,0249	0,0218	0,019 0,0169

N°	δ mm ²	D ₀ mm	Observations
61	5653 100,5	Sans contreurs Sorties rainures A	
Re ₀	3,5.10 ³	5,10 ³ 7,10 ³ 9,10 ³	
f ₀	0,129	0,129 0,129	0,129
Tf ₀	0,024	0,0208	0,0182 0,0162

N°	δ mm ²	D ₀ mm	Observations
61	5653 100,5	Sans contreurs Sorties rainures A	
Re ₀	3,5.10 ³	5,10 ³ 7,10 ³ 9,10 ³	
f ₀	0,143	0,141 0,140	0,139
Tf ₀	0,030	0,0258	0,0218 0,019



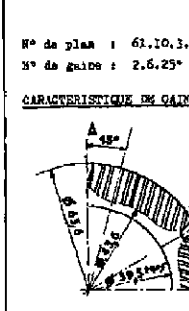
Type: Chevron plan elliptique
Nature du métal : Au 4 O
Dg : 39,5 mm
E : 2,05 mm
n : 6
A : 247,5 mm²
ha : 10 mm max.
pas cu : 25°
R cu : 2 mm
ep : 0,8 mm
eb : 0,8 mm

Observations :

CONDITIONS D'ESSAIS

N°	δ mm ²	D ₀ mm	Observations
78	3170 84	Sans contreurs Sorties rainures A	
Re ₀	3,5.10 ³	5,10 ³ 7,10 ³ 9,10 ³	
f ₀	0,107	0,103 0,100	0,0975
Tf ₀	0,0228	0,020	0,0173 0,0154

N°	δ mm ²	D ₀ mm	Observations
77	3170 84	Sans contreurs Sorties rainures A	
Re ₀	3,5.10 ³	5,10 ³ 7,10 ³ 9,10 ³	
f ₀	0,132	0,131 0,130	0,129
Tf ₀	0,0276	0,024	0,0206 0,0183



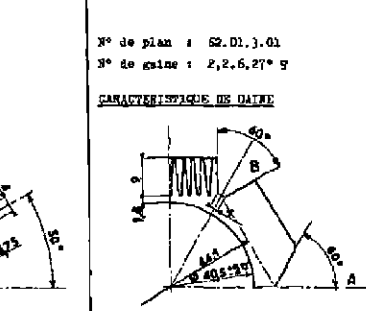
Type: Chevron plan elliptique
Nature du métal : Mg Zn
Dg : 40,5 mm
E : 1,8 mm
n : 6
A : 206 mm²
ha : 9 mm
pas cu : 27°
R cu : 2,2 mm
ep : 0,8 mm
eb : 1,6 mm

Observations :

CONDITIONS D'ESSAIS

N°	δ mm ²	D ₀ mm	Observations
75	5561 100,5	Sans contreurs Entrées rainures A	
Re ₀	3,5.10 ³	5,10 ³ 7,10 ³ 9,10 ³	
f ₀	0,099	0,096	0,093
Tf ₀	0,0257	0,0226	0,0197

N°	δ mm ²	D ₀ mm	Observations
75	5561 100,5	Sans contreurs Entrées rainures A	
Re ₀	3,5.10 ³	5,10 ³ 7,10 ³ 9,10 ³	
f ₀	0,099	0,096	0,093
Tf ₀	0,0257	0,0226	0,0197



Type: Chevron plan elliptique
Nature du métal : Mg Zn
Dg : 40,5 mm
E : 1,8 mm
n : 6
A : 206 mm²
ha : 9 mm
pas cu : 27°
R cu : 2,2 mm
ep : 0,8 mm
eb : 1,6 mm

Observations :

CONDITIONS D'ESSAIS

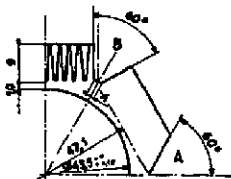
N°	δ mm²	D₀ mm	Observations

<tbl_r cells="4" ix="5" maxcspan="1" max

N°	$a \text{ mm}^2$	$D_0 \text{ mm}$	Observations
94	5267	100,5	3 cent. de 4 mm en entrées rainures A
R_{e0}	3,5.10 ⁵	5.10 ⁵	7.10 ⁵ 9.10 ⁵
f_0	0,116	0,115	0,114 0,113
Tf_0	0,0255	0,022	0,0188 0,0165

N°	$a \text{ mm}^2$	$D_0 \text{ mm}$	Observations
94	5488	100,5	3 cent. de 4 mm en entrées rainures A
R_{e0}	3,5.10 ⁵	5.10 ⁵	7.10 ⁵ 9.10 ⁵
f_0	0,117	0,114	0,112 0,110
Tf_0	0,0255	0,022	0,0188 0,0165

N° de plan : 62.01.3.01
N° de gaine : 2.2.6.27° 9
CARACTÉRISTIQUE DE GAINE



Type: Chavrons plats rectilignes
Nature du métal : Mg Zn
 D_0 : 43,5 mm
 E : 1,8 mm
 N : 6
 A : 221,5 mm²
 h_a : 9 mm
pas ou esp : 27°
 H ou E : 2,2 mm
 ϵ_p : 0,4 mm
 ϵ_b : 1,6 mm

Observations : Même gaine que la précédente mais sur $D_0 = 43,5$ mm - 2^e Train -

CONDITIONS D'ESSAIS

N°	$a \text{ mm}^2$	$D_0 \text{ mm}$	Observations
95	5498	100,5	3 cent. de 4 mm en sorties rainures B
R_{e0}	3,5.10 ⁵	5.10 ⁵	7.10 ⁵ 9.10 ⁵
f_0	0,108	0,106	0,104 0,102
Tf_0	0,0235	0,0205	0,0178 0,0160

Observation : le même 62.01.3.01 a été réalisé avec des fentes obliques au niveau A ou B comme les figures ci-dessous



Observations : Même gaine que la précédente mais sur $D_0 = 43,5$ mm - 2^e Train -

CONDITIONS D'ESSAIS

N°	$a \text{ mm}^2$	$D_0 \text{ mm}$	Observations
96	5498	100,5	3 cent. de 4 mm en sorties rainures A fermées.
R_{e0}	3,5.10 ⁵	5.10 ⁵	7.10 ⁵ 9.10 ⁵
f_0	0,103	0,102	0,101 0,100
Tf_0	0,0201	0,0175	0,0151 0,0166

N°	$a \text{ mm}^2$	$D_0 \text{ mm}$	Observations
97	5267	100,5	3 cent. de 4 mm en sorties rainures B
R_{e0}	3,5.10 ⁵	5.10 ⁵	7.10 ⁵ 9.10 ⁵
f_0	0,112	0,110	0,109 0,107
Tf_0	0,0230	0,0200	0,0173 0,0154

N°	$a \text{ mm}^2$	$D_0 \text{ mm}$	Observations
101	5507	100,5	Entrées rainures A Rainures B fermées.
R_{e0}	3,5.10 ⁵	5.10 ⁵	7.10 ⁵ 9.10 ⁵
f_0	0,131	0,128	0,126 0,124
Tf_0	0,0241	0,0209	0,0180 0,0152

N°	$a \text{ mm}^2$	$D_0 \text{ mm}$	Observations
104	5340	100,5	Sans contreurs Entrée rainures B
R_{e0}	3,5.10 ⁵	5.10 ⁵	7.10 ⁵ 9.10 ⁵
f_0	0,091	0,088	0,085 0,083
Tf_0	0,0245	0,0214	0,0186 0,0166

N°	$a \text{ mm}^2$	$D_0 \text{ mm}$	Observations
105	5488	100,5	3 cent. de 1 mm en sorties rainures B
R_{e0}	3,5.10 ⁵	5.10 ⁵	7.10 ⁵ 9.10 ⁵
f_0	0,110	0,108	0,106 0,104
Tf_0	0,0240	0,0209	0,0182 0,0163

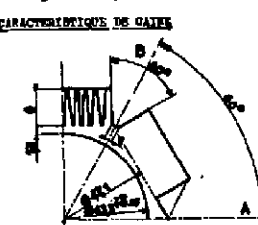
N°	$a \text{ mm}^2$	$D_0 \text{ mm}$	Observations
106	5307	100,5	Entrées rainures B fermées.
R_{e0}	3,5.10 ⁵	5.10 ⁵	7.10 ⁵ 9.10 ⁵
f_0	0,095	0,086	0,085 0,083
Tf_0	0,0227	0,0198	0,0172 0,0151

N°	$a \text{ mm}^2$	$D_0 \text{ mm}$	Observations
93	5488	100,5	3 cent. de 1 mm en sorties rainures A
R_{e0}	3,5.10 ⁵	5.10 ⁵	7.10 ⁵ 9.10 ⁵
f_0	0,110	0,108	0,106 0,104
Tf_0	0,024	0,0212	0,0184 0,0162

N°	$a \text{ mm}^2$	$D_0 \text{ mm}$	Observations
107	5307	100,5	3 cent. (I) en sorties rainures A
R_{e0}	3,5.10 ⁵	5.10 ⁵	7.10 ⁵ 9.10 ⁵
f_0	0,113	0,111	0,106 0,104
Tf_0	0,0246	0,0214	0,0183 0,0162

N°	$a \text{ mm}^2$	$D_0 \text{ mm}$	Observations
108	5105	100,5	3 cent. (I) en sorties rainures B
R_{e0}	3,5.10 ⁵	5.10 ⁵	7.10 ⁵ 9.10 ⁵
f_0	0,112	0,106	0,103 0,101
Tf_0	0,0242	0,0211	0,0181 0,0162

N° de plan	N° de gaine	Observations
62.01.3.01	2.2.6.27° 9	
62.01.3.01	2.2.6.27° 9	
62.01.3.01	2.2.6.27° 9	
62.01.3.01	2.2.6.27° 9	



N° de plan	N° de gaine	Observations
62.01.3.01	2.2.6.27° 9	
62.01.3.01	2.2.6.27° 9	
62.01.3.01	2.2.6.27° 9	
62.01.3.01	2.2.6.27° 9	

Observations : 1^e Train. Gaine modifiée.

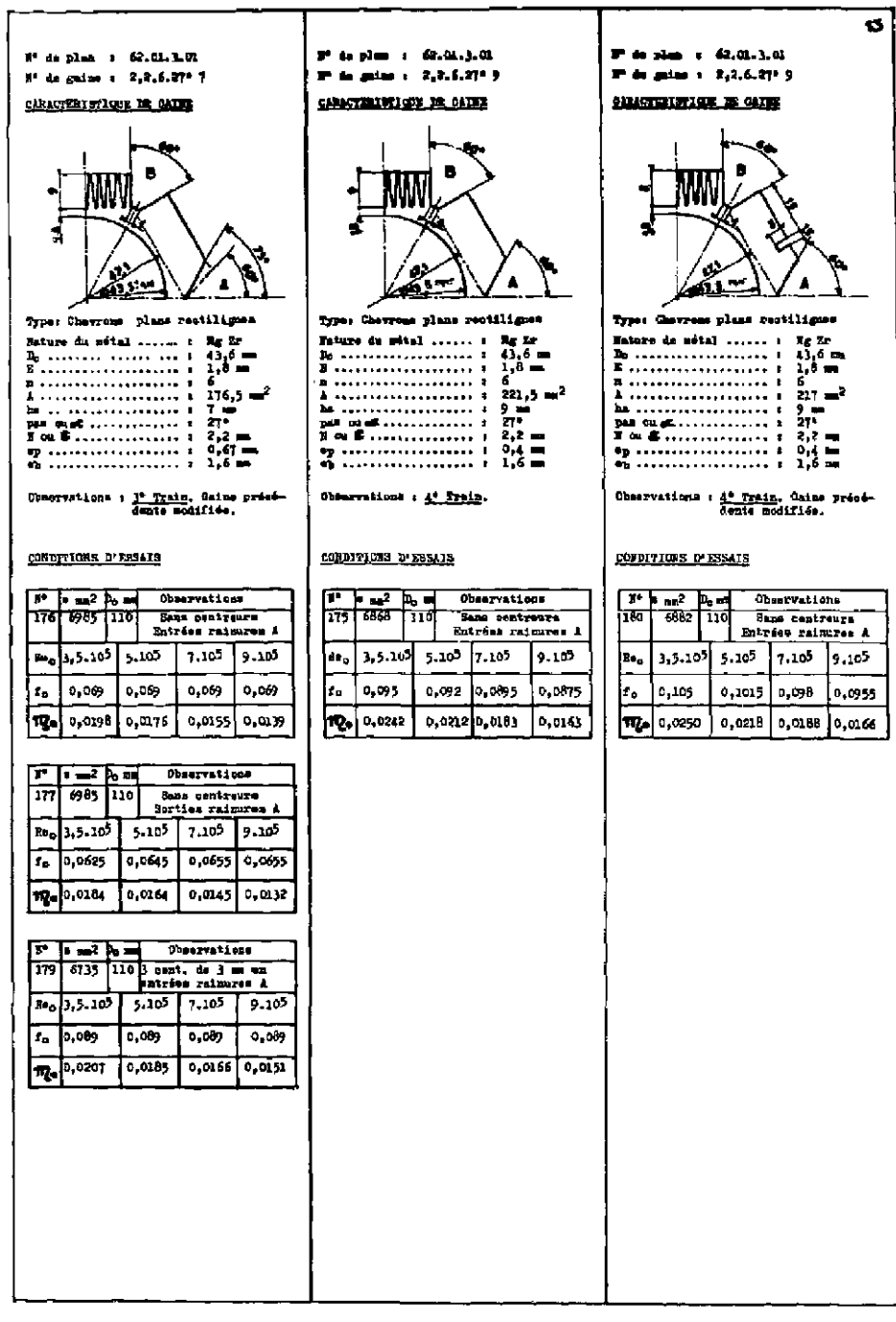
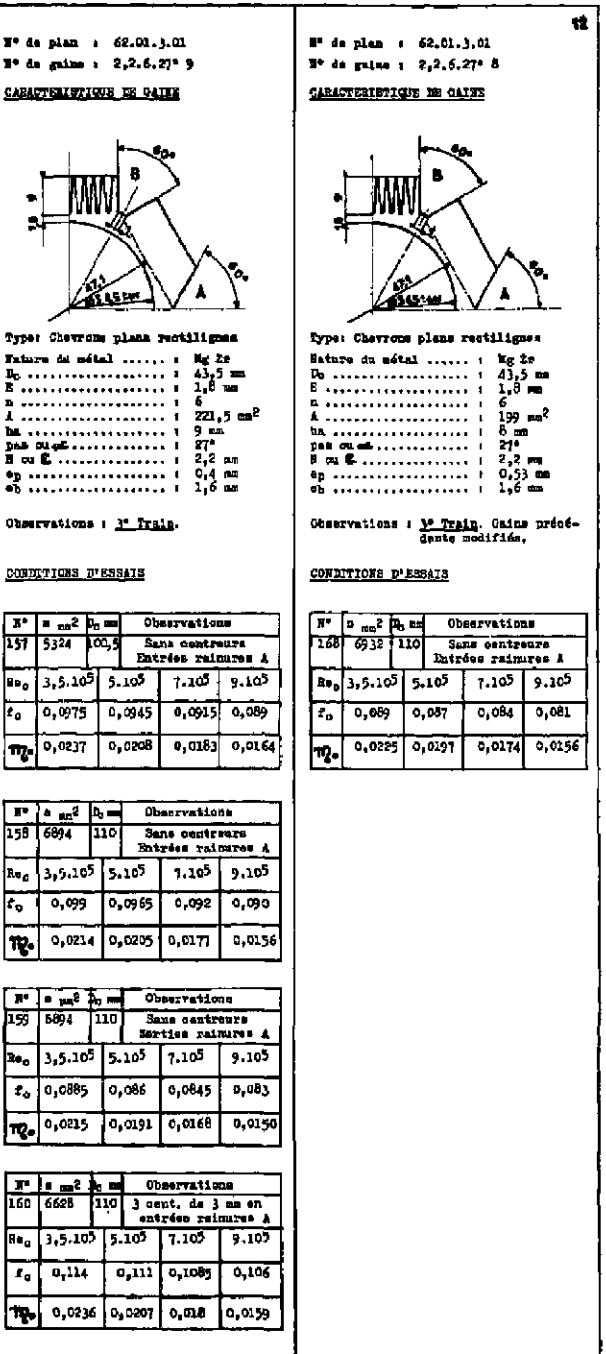
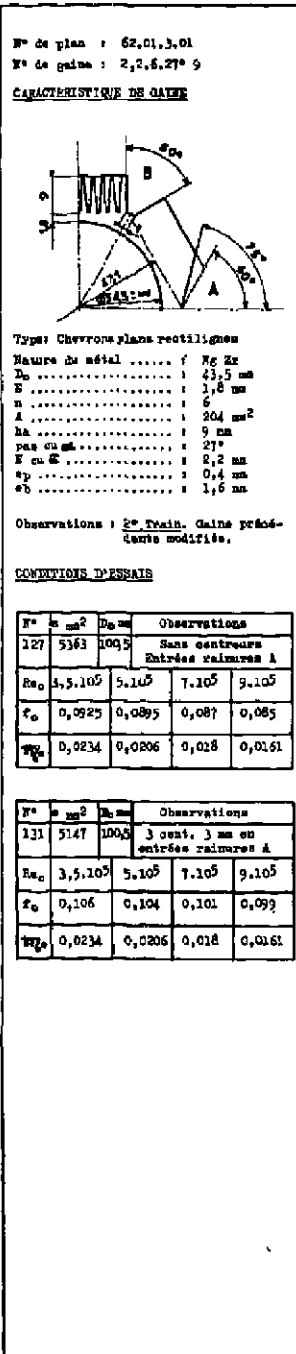
CONDITIONS D'ESSAIS

N°	$a \text{ mm}^2$	$D_0 \text{ mm}$	Observations
114	5430	100,5	Sans contreurs Entrées rainures A
R_{e0}	3,5.10 ⁵	5.10 ⁵	7.10 ⁵ 9.10 ⁵
f_0	0,0905	0,088	0,085 0,083
Tf_0	0,0218	0,019	0,0166 0,0148

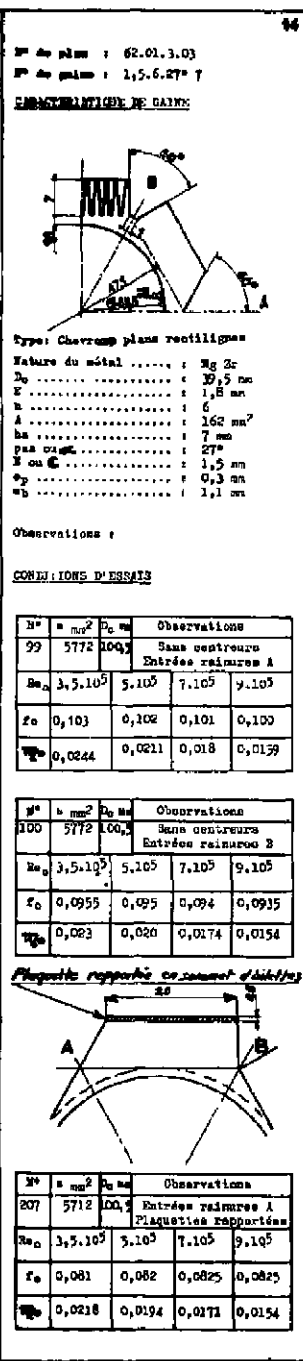
N°	$a \text{ mm}^2$	$D_0 \text{ mm}$	Observations
115	5222	100,5	3 cent. (II) en sorties rainures A
R_{e0}	3,5.10 ⁵	5.10 ⁵	7.10 ⁵ 9.10 ⁵
f_0	0,116	0,112	0,109 0,107
Tf_0	0,0251	0,0219	0,0188 0,0166

N°	$a \text{ mm}^2$	$D_0 \text{ mm}$	Observations
116	5195	100,5	Sans contreurs Entrées rainures A
R_{e0}	3,5.10 ⁵	5.10 ⁵	7.10 ⁵ 9.10 ⁵
f_0	0,114	0,112	0,108 0,106
Tf_0	0,0251	0,0219	0,0188 0,0166

N°	$a \text{ mm}^2$	$D_0 \text{ mm}$	Observations
117	5195	100,5	3 cent. (IV) en sorties rainures A
R_{e0}	3,5.10 ⁵	5.10 ⁵	7.10 ⁵ 9.10 ⁵
f_0	0,116	0,112	0,108 0,106
Tf_0	0,0251	0,0219	0,0188 0,0166



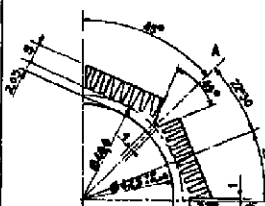
N° de plan : 62.01.3.10	N° de plan : 62.01.3.01	N° de plan : 62.01.3.03	N° de plan : 62.01.3.04	N° de plan : 62.01.3.01	N° de plan : 62.01.3.02
N° de gaïne : 2.2.6.27° 9	N° de gaïne : 2.2.6.27° 9	N° de gaïne : 1.5.6.27° 7	N° de gaïne : 1.5.6.27° 6,1/8,3	N° de gaïne : 62.6.300.7	N° de gaïne : 2.6.20° 9
CARACTÉRISTIQUES DE GAÏNE					
Type: Chevrons plans rectilignes	Type: Chevrons héliocycliques	Type: Chevrons plans rectilignes			
Nature du métal : Ag Zn	Nature du métal : Au 4 D	Nature du métal : Au 4 D			
D _b : 43,5 mm	D _b : 43,5 mm	D _b : 39,5 mm	D _b : 40,5 mm	D _b : 42,5 mm	D _b : 42,5 mm
E : 1,8 mm	E : 2,05 mm	E : 2,05 mm			
n : 6					
A : 208 mm ²	A : 221,5 mm ²	A : 162 mm ²	A : 172 mm ²	A : 250 mm ²	A : 250 mm ²
ha : 9 mm	ha : 7 mm	ha : 7 mm	ha : 7 mm	ha : 9 mm	ha : 9 mm
pas d'angle : 27°	pas d'angle : 20°	pas d'angle : 20°			
N ou G : 2,2 mm	N ou G : 2,2 mm	N ou G : 1,5 mm	N ou G : 1,5 mm	N ou G : 60 all.	N ou G : 60 all.
ep : 0,4 mm	ep : 0,4 mm	ep : 0,3 mm	ep : 0,3 mm	ep : 0,5 mm	ep : 0,5 mm
eb : 1,6 mm	eb : 1,6 mm	eb : 1,1 mm	eb : 1,1 mm	eb : 1,3 mm	eb : 1,3 mm
Observations : 4 ^e Train/ Gaïne précédente modifiée.	Observations : 5 ^e Train/ Gaïne cyclée	Observations :	Observations :	Observations :	Observations :
CONDITIONS D'ESSAIS					
N° b mm ² D _b mm Observations	N° b mm ² D _b mm Observations	N° b mm ² D _b mm Observations	N° b mm ² D _b mm Observations	N° b mm ² D _b mm Observations	N° b mm ² D _b mm Observations
192 6514 110 Sans centreurs Entrées rainures A	212 6594 110 Sans centreurs Entrées rainures A	99 5772 100 Sans centreurs Entrées rainures A	97 5586 100 Sans centreurs Entrées rainures A	89 5073 100 Sans centreurs Entrées rainures A	124 5313 100,5 Sans centreurs Entrées rainures B
R _o 3,5.10 ⁵ 5.10 ⁵ 7.10 ⁵ 9.10 ⁵	R _o 3,5.10 ⁵ 5.10 ⁵ 7.10 ⁵ 9.10 ⁵	R _o 3,5.10 ⁵ 5.10 ⁵ 7.10 ⁵ 9.10 ⁵	R _o 3,5.10 ⁵ 5.10 ⁵ 7.10 ⁵ 9.10 ⁵	R _o 3,5.10 ⁵ 5.10 ⁵ 7.10 ⁵ 9.10 ⁵	R _o 3,5.10 ⁵ 5.10 ⁵ 7.10 ⁵ 9.10 ⁵
f _o 0,017 0,116 0,114 0,113	f _o 0,125 0,122 0,120 0,118	f _o 0,103 0,102 0,101 0,100	f _o 0,107 0,109 0,109 0,109	f _o 0,107 0,109 0,109 0,109	f _o 0,090 0,089 0,088 0,087
W _o 0,0217 0,0186 0,0158 0,0158	W _o 0,0252 0,0218 0,0188 0,0169	W _o 0,0244 0,0211 0,018 0,0159	W _o 0,0246 0,0217 0,0185 0,0163	W _o 0,0204 0,0182 0,0160 0,0144	W _o 0,0235 0,0213 0,0169 0,0171
N° b mm ² D _b mm Observations	N° b mm ² D _b mm Observations	N° b mm ² D _b mm Observations	N° b mm ² D _b mm Observations	N° b mm ² D _b mm Observations	N° b mm ² D _b mm Observations
100 5772 100,5 Sans centreurs Entrées rainures B	100 5772 100,5 Sans centreurs Entrées rainures B	98 5773 100,5 Sans centreurs Entrées rainures B	96 5778 100,5 Sans centreurs Entrées rainures B	95 5873 100,5 Sans centreurs Entrées rainures B	125 5310 100,5 Sans centreurs Entrées rainures A
R _o 3,5.10 ⁵ 5.10 ⁵ 7.10 ⁵ 9.10 ⁵	R _o 3,5.10 ⁵ 5.10 ⁵ 7.10 ⁵ 9.10 ⁵	R _o 3,5.10 ⁵ 5.10 ⁵ 7.10 ⁵ 9.10 ⁵	R _o 3,5.10 ⁵ 5.10 ⁵ 7.10 ⁵ 9.10 ⁵	R _o 3,5.10 ⁵ 5.10 ⁵ 7.10 ⁵ 9.10 ⁵	R _o 3,5.10 ⁵ 5.10 ⁵ 7.10 ⁵ 9.10 ⁵
f _o 0,0955 0,095 0,094 0,0935	f _o 0,0955 0,095 0,094 0,0935	f _o 0,093 0,093 0,093 0,093	f _o 0,093 0,093 0,093 0,093	f _o 0,105 0,107 0,108 0,108	f _o 0,0855 0,084 0,083 0,082
W _o 0,023 0,020 0,0174 0,0154	W _o 0,022 0,0192 0,0165 0,0146	W _o 0,0204 0,0182 0,0160 0,0144	W _o 0,0204 0,0182 0,0160 0,0144	W _o 0,0235 0,0213 0,0169 0,0171	W _o 0,0235 0,0213 0,0169 0,0171
N° b mm ² D _b mm Observations	N° b mm ² D _b mm Observations	N° b mm ² D _b mm Observations	N° b mm ² D _b mm Observations	N° b mm ² D _b mm Observations	N° b mm ² D _b mm Observations
207 5712 100,5 Entrées rainures A Plaquettes rapportées	207 5712 100,5 Entrées rainures A Plaquettes rapportées	98 5773 100,5 Sans centreurs Entrées rainures B	96 5778 100,5 Sans centreurs Entrées rainures B	95 5873 100,5 Sans centreurs Entrées rainures B	126 5152 100,5 3 cent. de 2 mm en entrées rainures B
R _o 3,5.10 ⁵ 5.10 ⁵ 7.10 ⁵ 9.10 ⁵	R _o 0,081 0,082 0,0825 0,0825	R _o 3,5.10 ⁵ 5.10 ⁵ 7.10 ⁵ 9.10 ⁵	R _o 0,0995 0,098 0,097 0,0955	R _o 3,5.10 ⁵ 5.10 ⁵ 7.10 ⁵ 9.10 ⁵	R _o 0,0860 0,0830 0,0820 0,0813
W _o 0,0218 0,0194 0,0171 0,0154	W _o 0,0218 0,0194 0,0171 0,0154	W _o 0,0204 0,0182 0,0160 0,0144	W _o 0,0204 0,0182 0,0160 0,0144	W _o 0,0247 0,0218 0,0192 0,0173	W _o 0,0247 0,0218 0,0192 0,0173



N° de plan : 62.01.3.03	N° de plan : 62.01.3.04	N° de plan : 62.01.3.01	N° de plan : 62.01.3.02
N° de gaïne : 1.5.6.27° 7	N° de gaïne : 1.5.6.27° 6,1/8,3	N° de gaïne : 62.6.300.7	N° de gaïne : 2.6.20° 9
CARACTÉRISTIQUES DE GAÏNE			
Type: Chevrons plans rectilignes	Type: Chevrons plans rectilignes	Type: Chevrons héliocycliques	Type: Chevrons plans rectilignes
Nature du métal : Ag Zn	Nature du métal : Ag Zn	Nature du métal : Au 4 D	Nature du métal : Au 4 D
D _b : 40,5 mm	D _b : 40,5 mm	D _b : 42,5 mm	D _b : 42,5 mm
E : 1,8 mm	E : 1,8 mm	E : 2,05 mm	E : 2,05 mm
n : 6			
A : 172 mm ²	A : 172 mm ²	A : 250 mm ²	A : 250 mm ²
ha : 7 mm	ha : 7 mm	ha : 9 mm	ha : 9 mm
pas d'angle : 27°	pas d'angle : 27°	pas d'angle : 20°	pas d'angle : 20°
N ou G : 1,2 mm	N ou G : 1,2 mm	N ou G : 60 all.	N ou G : 60 all.
ep : 0,5 mm			
eb : 1,6 mm			
Observations :	Observations :	Observations :	Observations :
CONDITIONS D'ESSAIS			
N° b mm ² D _b mm Observations	N° b mm ² D _b mm Observations	N° b mm ² D _b mm Observations	N° b mm ² D _b mm Observations
97 5586 100 Sans centreurs Entrées rainures A	97 5586 100 Sans centreurs Entrées rainures A	97 5573 100 Sans centreurs Entrées rainures A	97 5573 100 Sans centreurs Entrées rainures A
R _o 3,5.10 ⁵ 5.10 ⁵ 7.10 ⁵ 9.10 ⁵	R _o 3,5.10 ⁵ 5.10 ⁵ 7.10 ⁵ 9.10 ⁵	R _o 3,5.10 ⁵ 5.10 ⁵ 7.10 ⁵ 9.10 ⁵	R _o 3,5.10 ⁵ 5.10 ⁵ 7.10 ⁵ 9.10 ⁵
f _o 0,107 0,109 0,109 0,109			
W _o 0,0246 0,0217 0,0185 0,0163	W _o 0,0246 0,0217 0,0185 0,0163	W _o 0,0204 0,0182 0,0160 0,0144	W _o 0,0204 0,0182 0,0160 0,0144
N° b mm ² D _b mm Observations	N° b mm ² D _b mm Observations	N° b mm ² D _b mm Observations	N° b mm ² D _b mm Observations
98 5773 100 Sans centreurs Entrées rainures B	98 5773 100 Sans centreurs Entrées rainures B	98 5773 100 Sans centreurs Entrées rainures B	98 5773 100 Sans centreurs Entrées rainures B
R _o 3,5.10 ⁵ 5.10 ⁵ 7.10 ⁵ 9.10 ⁵	R _o 3,5.10 ⁵ 5.10 ⁵ 7.10 ⁵ 9.10 ⁵	R _o 3,5.10 ⁵ 5.10 ⁵ 7.10 ⁵ 9.10 ⁵	R _o 3,5.10 ⁵ 5.10 ⁵ 7.10 ⁵ 9.10 ⁵
f _o 0,093 0,093 0,093 0,093	f _o 0,093 0,093 0,093 0,093	f _o 0,105 0,107 0,108 0,108	f _o 0,0855 0,084 0,083 0,082
W _o 0,022 0,0192 0,0165 0,0146	W _o 0,022 0,0192 0,0165 0,0146	W _o 0,0204 0,0182 0,0160 0,0144	W _o 0,0204 0,0182 0,0160 0,0144
N° b mm ² D _b mm Observations	N° b mm ² D _b mm Observations	N° b mm ² D _b mm Observations	N° b mm ² D _b mm Observations
95 5873 100 Sans centreurs Entrées rainures B	95 5873 100 Sans centreurs Entrées rainures B	95 5873 100 Sans centreurs Entrées rainures B	95 5873 100 Sans centreurs Entrées rainures B
R _o 3,5.10 ⁵ 5.10 ⁵ 7.10 ⁵ 9.10 ⁵	R _o 3,5.10 ⁵ 5.10 ⁵ 7.10 ⁵ 9.10 ⁵	R _o 3,5.10 ⁵ 5.10 ⁵ 7.10 ⁵ 9.10 ⁵	R _o 3,5.10 ⁵ 5.10 ⁵ 7.10 ⁵ 9.10 ⁵
f _o 0,0995 0,098 0,097 0,0955	f _o 0,0995 0,098 0,097 0,0955	f _o 0,105 0,107 0,108 0,108	f _o 0,0855 0,084 0,083 0,082
W _o 0,0260 0,0230 0,0202 0,0183	W _o 0,0260 0,0230 0,0202 0,0183	W _o 0,0204 0,0182 0,0160 0,0144	W _o 0,0204 0,0182 0,0160 0,0144
N° b mm ² D _b mm Observations	N° b mm ² D _b mm Observations	N° b mm ² D _b mm Observations	N° b mm ² D _b mm Observations
126 5152 100,5 3 cent. de 2 mm en entrées rainures B	126 5152 100,5 3 cent. de 2 mm en entrées rainures B	126 5152 100,5 3 cent. de 2 mm en entrées rainures B	126 5152 100,5 3 cent. de 2 mm en entrées rainures B
R _o 3,5.10 ⁵ 5.10 ⁵ 7.10 ⁵ 9.10 ⁵	R _o 3,5.10 ⁵ 5.10 ⁵ 7.10 ⁵ 9.10 ⁵	R _o 3,5.10 ⁵ 5.10 ⁵ 7.10 ⁵ 9.10 ⁵	R _o 3,5.10 ⁵ 5.10 ⁵ 7.10 ⁵ 9.10 ⁵
f _o 0,094 0,092 0,090 0,089	f _o 0,094 0,092 0,090 0,089	f _o 0,104 0,106 0,108 0,108	f _o 0,0844 0,0832 0,0820 0,0813
W _o 0,0247 0,0218 0,0192 0,0173	W _o 0,0247 0,0218 0,0192 0,0173	W _o 0,0204 0,0182 0,0160 0,0144	W _o 0,0204 0,0182 0,0160 0,0144

N°	$a \text{ mm}^2$	$D_b \text{ mm}$	Observations			
132	6680	110	Sans centres			
			Entrées rainures B			
R_{e0}	3,5.10 ⁵	5.10 ⁵	7.10 ⁵	9.10 ⁵		

N° de plan : 62.06.3.03
N° de gaine : 2.8.20° 9
CARACTÉRISTIQUE DE GAINE



N°	$a \text{ mm}^2$	$D_b \text{ mm}$	Observations			
133	6694	110	4 cent. de 2 mm en			
			entrées rainures B			
R_{e0}	3,5.10 ⁵	5.10 ⁵	7.10 ⁵	9.10 ⁵		
f_g	0,0935	0,0935	0,0935	0,0935		
W_{g0}	0,0238	0,0213	0,019	0,0171		

Type: Ullvrons plans rectilignes

Nature du métal : Au 4 0
Do : 42,5 mm
E : 2,05 mm
n : 8
A : 173 mm²
ha : 9 mm
pas cent : 20°
H ou G : 2 mm
sp : 0,3 mm
et : 1,5 mm

Observations :

CONDITIONS D'ESSAIS

N°	$a \text{ mm}^2$	$D_b \text{ mm}$	Observations			
137	6694	110	4 cent. de 2 mm en			
			sorties rainures B			
R_{e0}	3,5.10 ⁵	5.10 ⁵	7.10 ⁵	9.10 ⁵		
f_g	0,083	0,082	0,081	0,080		
W_{g0}	0,0234	0,0212	0,0188	0,0169		

Conditions d'essais :

N°	$a \text{ mm}^2$	$D_b \text{ mm}$	Observations			
138	6728	110	4 cent. de 2 mm en			
			entrées rainures B			
R_{e0}	3,5.10 ⁵	5.10 ⁵	7.10 ⁵	9.10 ⁵		

f_g

0,089

0,087

0,0855

0,0845

W_{g0}

0,0225

0,0222

0,0196

0,0176

$N°$

$a \text{ mm}^2$

$D_b \text{ mm}$

Observations

170 6977 110 Sans centres

Entrées rainures A

R_{e0}

3,5.10⁵

5.10⁵

7.10⁵

9.10⁵

f_g

0,095

0,0935

0,0925

0,0915

W_{g0}

0,0248

0,0228

0,0194

0,0172

$N°$

$a \text{ mm}^2$

$D_b \text{ mm}$

Observations

171 6728 110 4 cent. de 2 mm en

sorties rainures B

R_{e0}

3,5.10⁵

5.10⁵

7.10⁵

9.10⁵

f_g

0,068

0,0665

0,0655

0,0645

W_{g0}

0,0252

0,0223

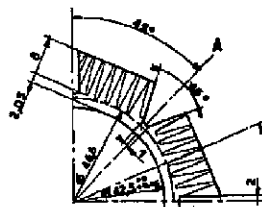
0,0196

0,0175

N° de plan : 62.06.3.03

N° de gaine : 2.8.20° 8

CARACTÉRISTIQUE DE GAINE



Type: Chevrons plans rectilignes

Nature du métal : Au 4 0
Do : 42,5 mm
E : 2,05 mm
n : 8
A : 173 mm²
ha : 9 mm
pas cent : 20°
H ou G : 2 mm
sp : 0,3 mm
et : 1,5 mm

Observations : Gaine précédente
modifiée.

CONDITIONS D'ESSAIS

N°	$a \text{ mm}^2$	$D_b \text{ mm}$	Observations			
138	6728	110	4 cent. de 2 mm en			
			sorties rainures B			
R_{e0}	3,5.10 ⁵	5.10 ⁵	7.10 ⁵	9.10 ⁵		
f_g	0,0775	0,077	0,077	0,077		
W_{g0}	0,0234	0,021	0,0167	0,0169		

N°	$a \text{ mm}^2$	$D_b \text{ mm}$	Observations			
139	6776	110	4 cent. de 2 mm en			
			entrées rainures B			
R_{e0}	3,5.10 ⁵	5.10 ⁵	7.10 ⁵	9.10 ⁵		
f_g	0,0775	0,077	0,077	0,077		
W_{g0}	0,0231	0,0207	0,0163	0,0165		

N°	$a \text{ mm}^2$	$D_b \text{ mm}$	Observations			
140	6977	110	4 cent. de 2 mm en			
			sorties rainures B			
R_{e0}	3,5.10 ⁵	5.10 ⁵	7.10 ⁵	9.10 ⁵		
f_g	0,0911	0,090	0,0892	0,0885		
W_{g0}	0,0258	0,0228	0,0203	0,0186		

N°	$a \text{ mm}^2$	$D_b \text{ mm}$	Observations			
221	5250	100,5	4 cent. de 2 mm en			
			entrées rainures A			
R_{e0}	3,5.10 ⁵	5.10 ⁵	7.10 ⁵	9.10 ⁵		
f_g	0,075	0,0746	0,0744	0,074		
W_{g0}	0,0245	0,0216	0,0191	0,0172		

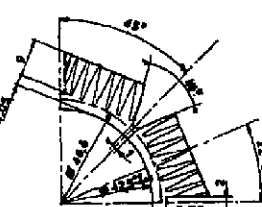
N°	$a \text{ mm}^2$	$D_b \text{ mm}$	Observations			
144	7005	110	Sans centres			
			Entrées rainures A			
R_{e0}	3,5.10 ⁵	5.10 ⁵	7.10 ⁵	9.10 ⁵		
f_g	0,077	0,076	0,0755	0,075		
W_{g0}	0,0226	0,0204	0,0181	0,0163		

N°	$a \text{ mm}^2$	$D_b \text{ mm}$	Observations			
145	6757	110	4 cent. de 2 mm en			
			sorties rainures B			
R_{e0}	3,5.10 ⁵	5.10 ⁵	7.10 ⁵	9.10 ⁵		
f_g	0,0755	0,075	0,074	0,0735		
W_{g0}	0,0233	0,0209	0,0185	0,0166		

N° de plan : 62.06.3.04

N° de gaine : 2.8.15° 9

CARACTÉRISTIQUE DE GAINE



Type: Chevrons plans rectilignes

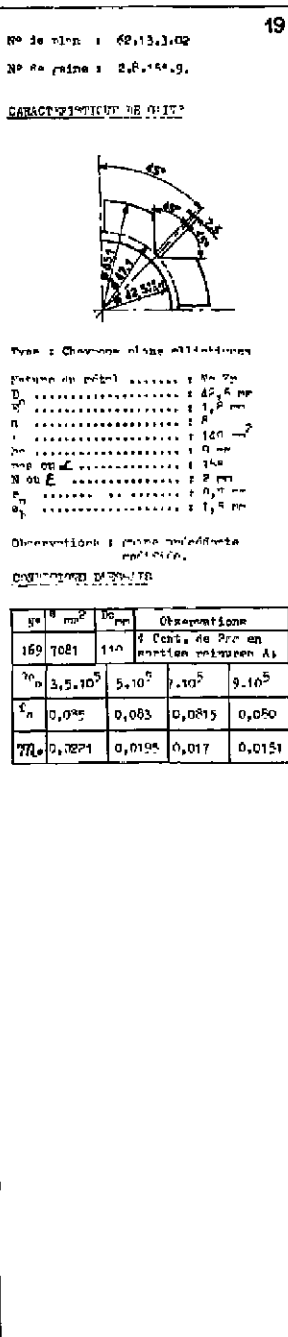
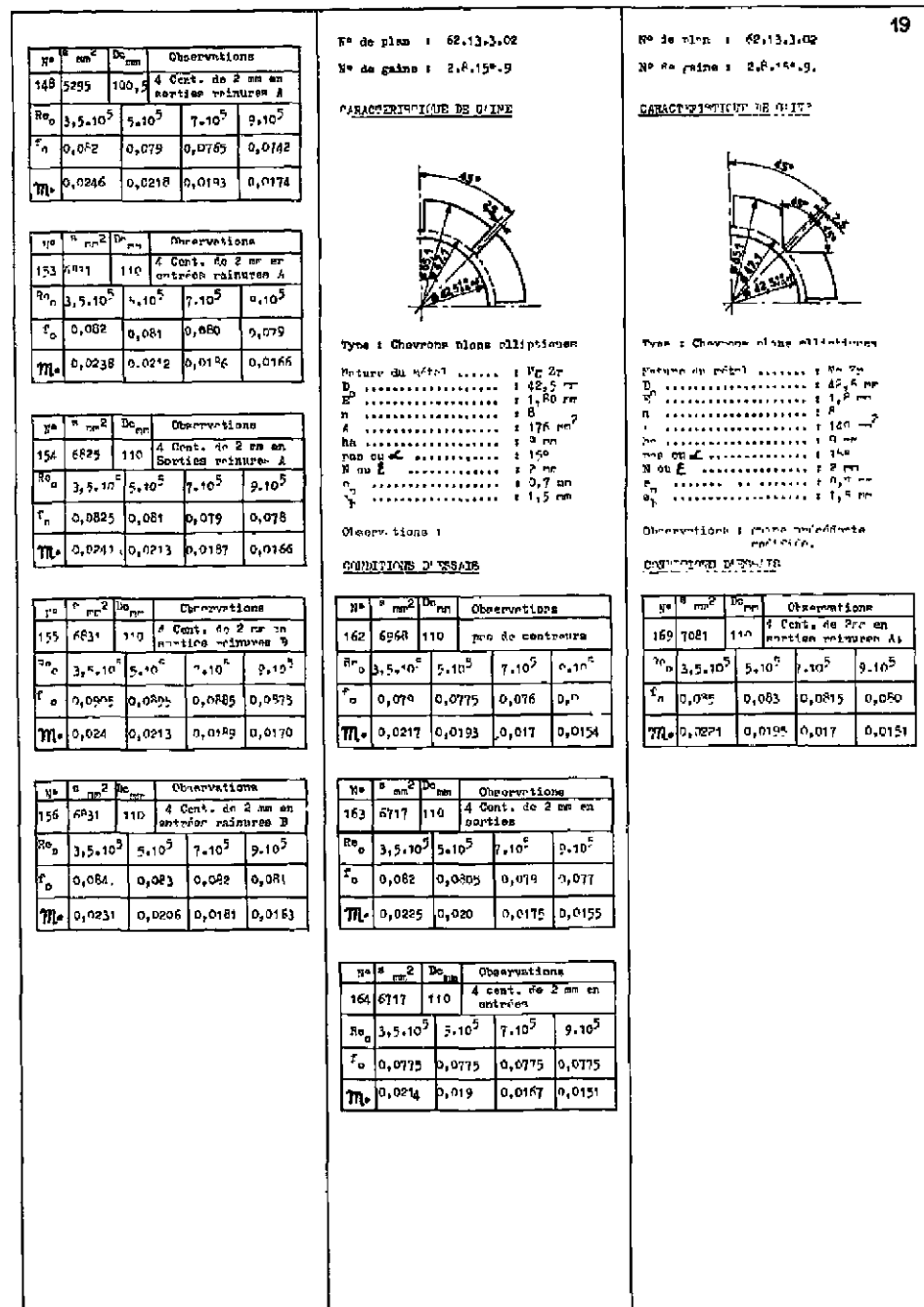
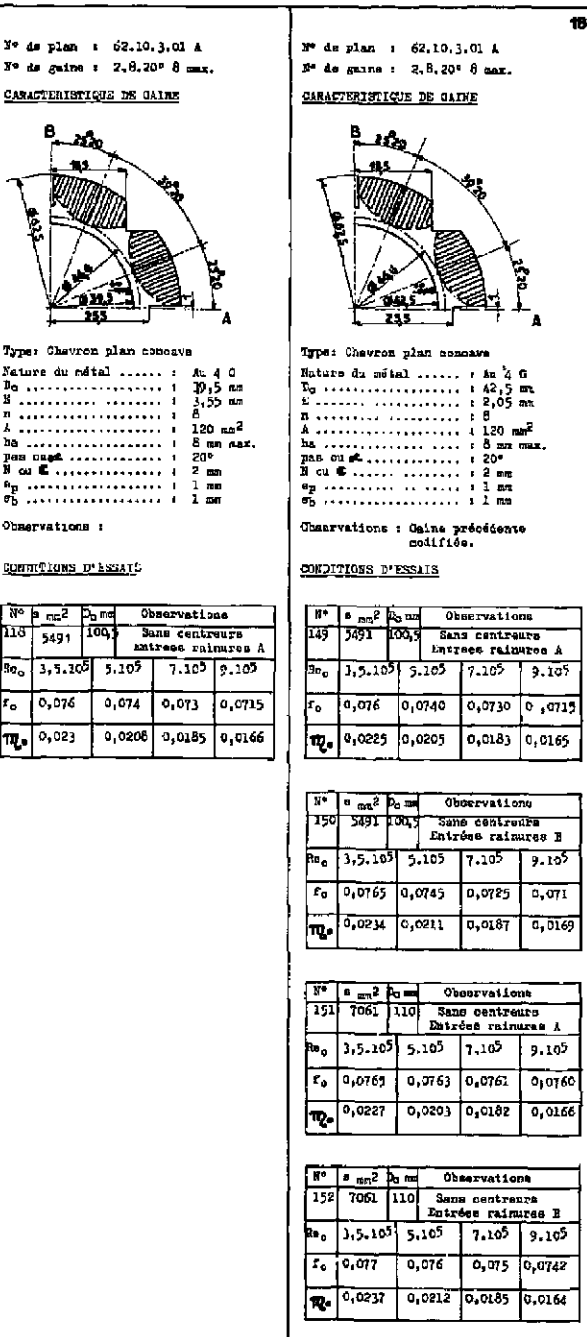
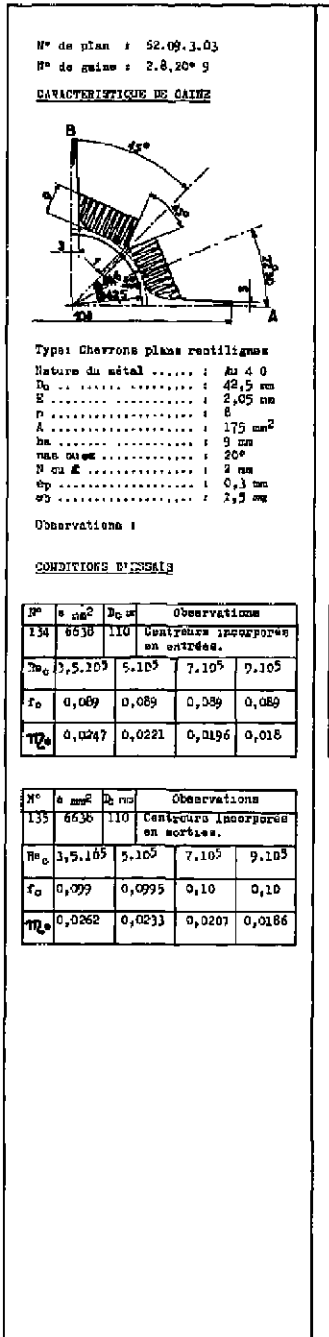
Nature du métal : Au 4 0
Do : 42,5 mm
E : 2,05 mm
n : 8
A : 173 mm²
ha : 9 mm
pas cent : 20°
H ou G : 2 mm
sp : 0,3 mm
et : 1,5 mm

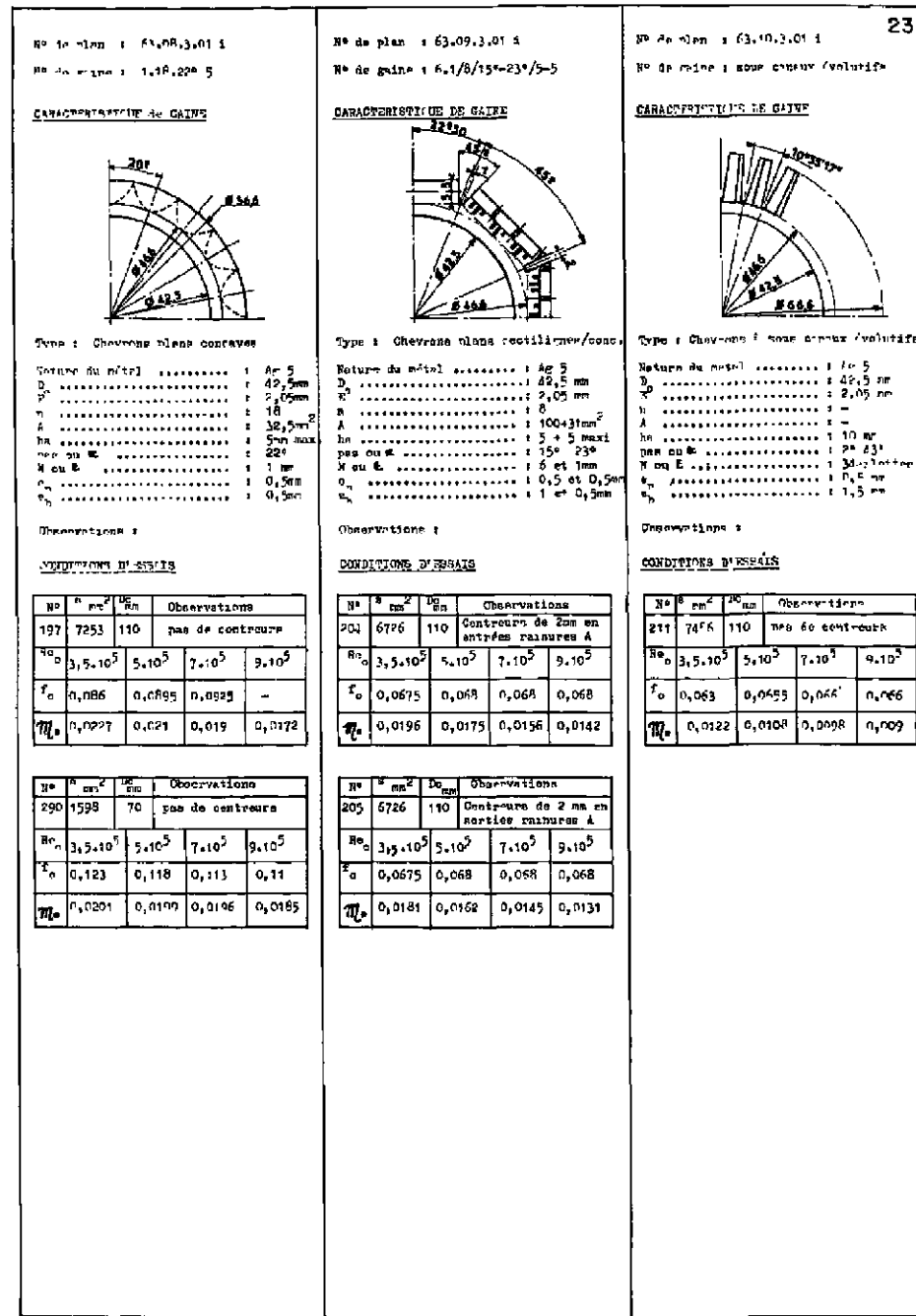
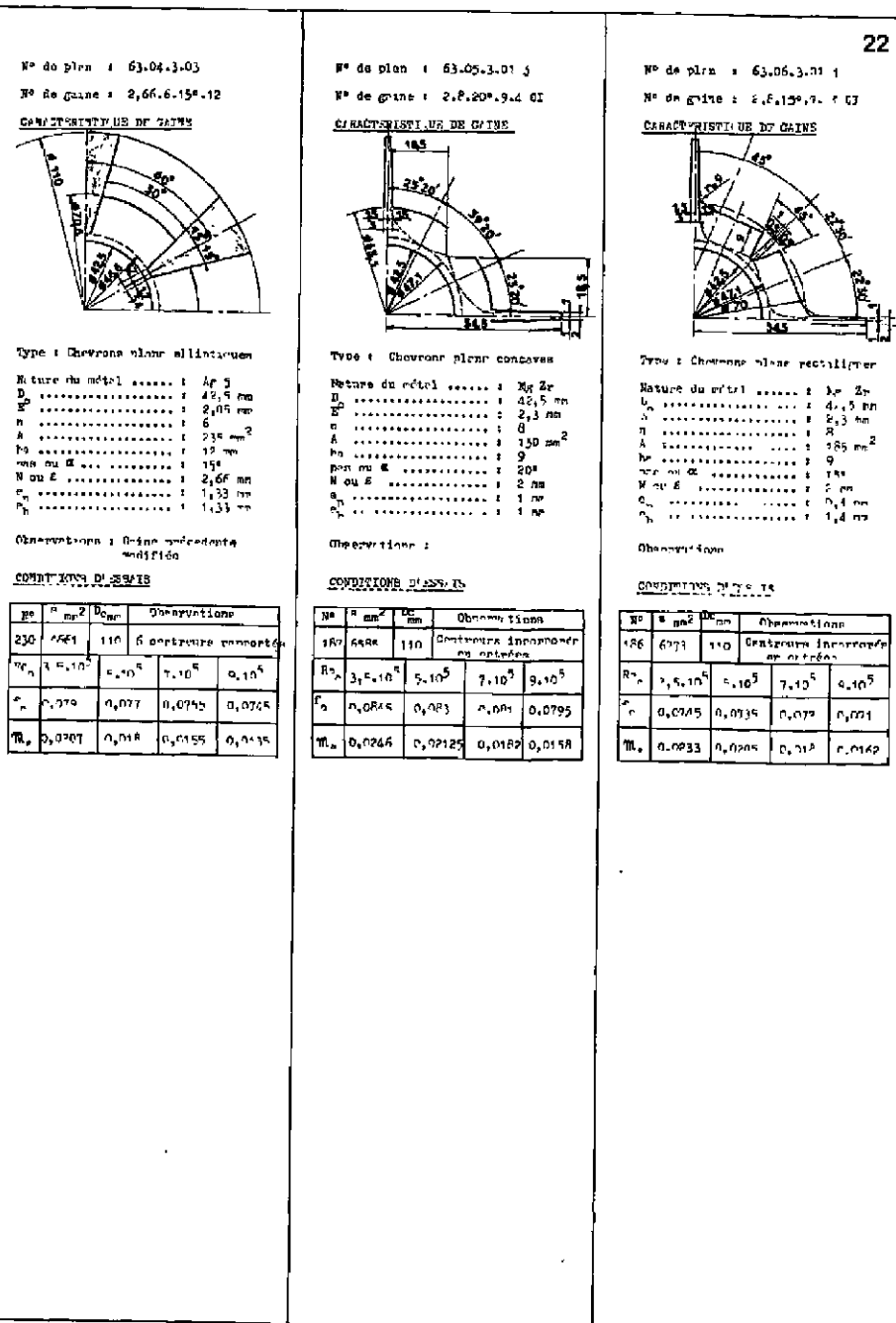
Observations :

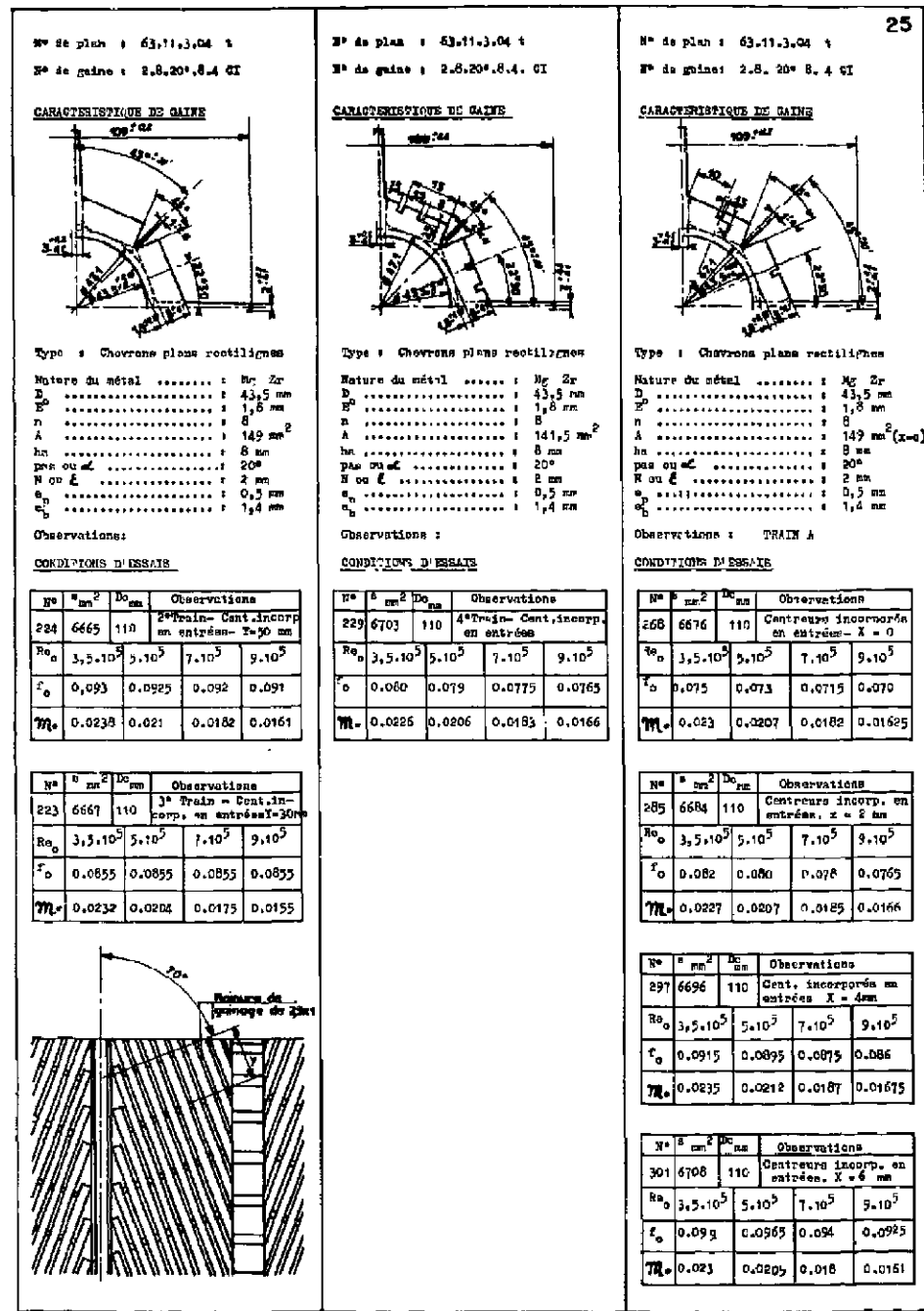
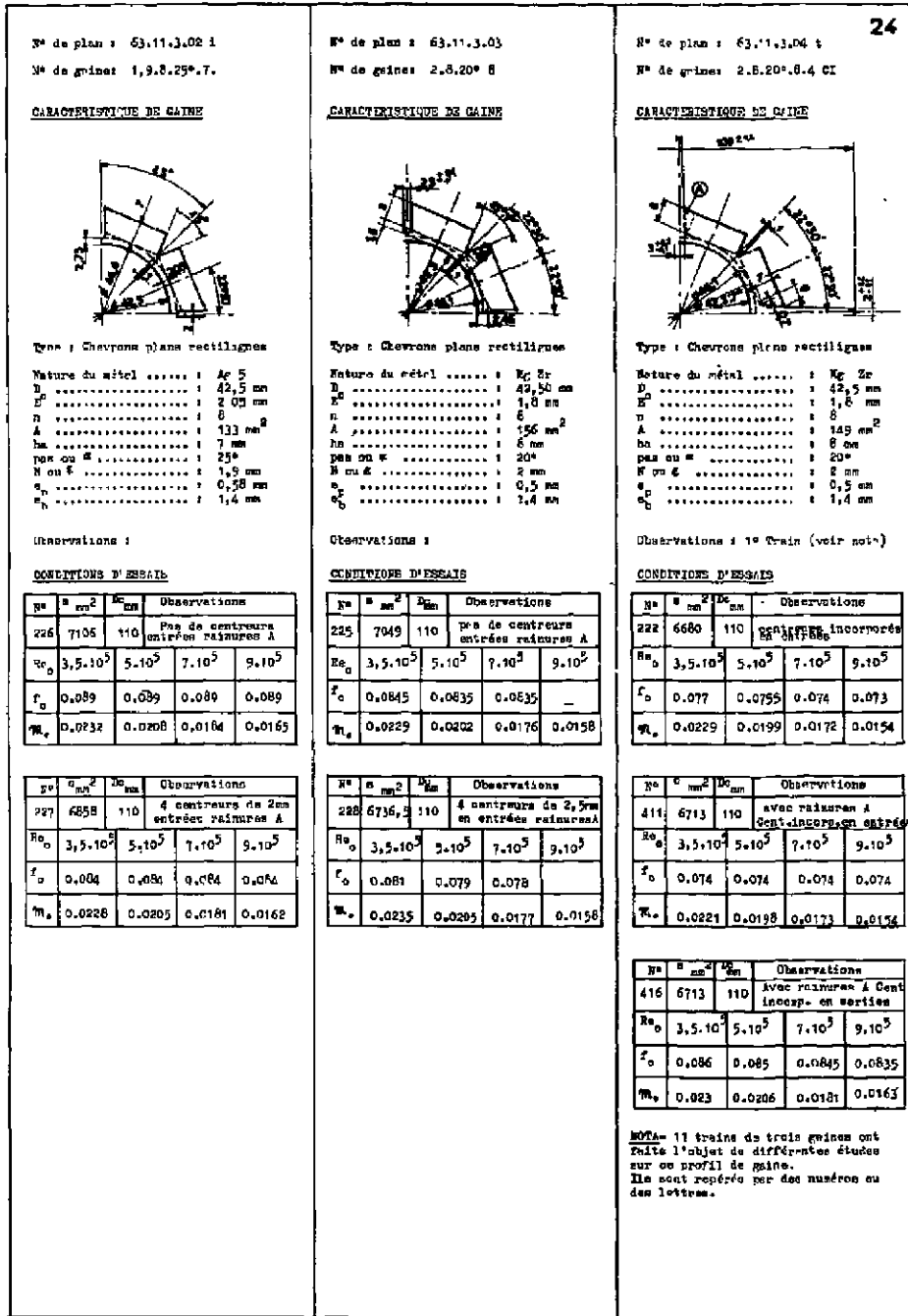
CONDITIONS D'ESSAIS

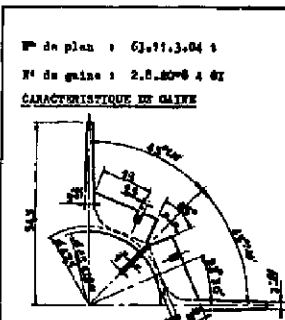
N°	$a \text{ mm}^2$	$D_b \text{ mm}$	Observations			
146	6757	110	4 cent. de 2 mm en			
			sorties rainures A			
R_{e0}	3,5.10 ⁵	5.10 ⁵	7.10 ⁵	9.10 ⁵		
f_g	0,085	0,085	0,0845	0,084		
W_{g0}	0,0229	0,0205	0,0182	0,0163		

N°	$a \text{ mm}^2$	$D_b \text{ mm}$	Observations			
147	6757	110	4 cent. de 2 mm en			
	</					









Type : Chevrons plans rectilignes
Nature du métal : Mg Zr
D : 43,6 mm
R^o : 1,8 mm
n : 8
A : 149mm²(Z=6)
ha : 8 mm
pas ou δ : 20°
R ou E : 2 mm
e_p : 0,5 mm
e_t : 1,4 mm

Observations : TRAIN B

CONDITIONS D'ESSAIS

N°	θ mm ²	Dc mm	Observations
271	6680	110	Centreaux incorp. en entrées X = 0
Re _o	$3,5 \cdot 10^5$	$5 \cdot 10^5$	$7 \cdot 10^5$
f _o	0,074	0,073	0,073
M _o	0,0217	0,0197	0,0175

N°	θ mm ²	Dc mm	Observations
286	5688	110	Centreaux incorp. en entrées X = 2 mm
Re _o	$3,5 \cdot 10^5$	$5 \cdot 10^5$	$7 \cdot 10^5$
f _o	0,0835	0,0825	0,081
M _o	0,0235	0,0207	0,0185

N°	θ mm ²	Dc mm	Observations
296	6700	110	Centreaux incorporés en entrées X = 4 mm
Re _o	$3,5 \cdot 10^5$	$5 \cdot 10^5$	$7 \cdot 10^5$
f _o	0,095	0,0925	0,090
M _o	0,0246	0,0215	0,0188

N°	θ mm ²	Dc mm	Observations
302	6713	110	Centreaux incorpérés en entrées X = 6 mm
Re _o	$3,5 \cdot 10^5$	$5 \cdot 10^5$	$7 \cdot 10^5$
f _o	0,100	0,098	0,0965
M _o	0,0246	0,0215	0,0188

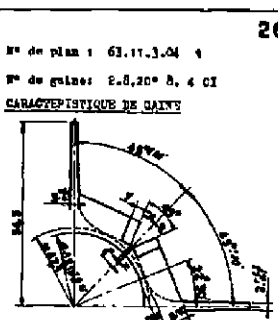


Type : Chevrons plans rectilignes
Nature du métal : Mg Zr
D : 43,6 mm
R^o : 1,8 mm
n : 8
A : 135,5 mm²
ha : 8 mm
pas ou δ : 20°
R ou E : 2 mm
e_p : 0,5 mm
e_t : 1,4 mm

Observations : TRAIN B modifié

CONDITIONS D'ESSAIS

N°	θ mm ²	Dc mm	Observations
324	6726	110	Centreurs incorporés en entrée
Re _o	$3,5 \cdot 10^5$	$5 \cdot 10^5$	$7 \cdot 10^5$
f _o	0,098	0,098	0,098
M _o	0,02425	0,0217	0,0187



Type : Chevrons plans rectilignes
Nature du métal : Mg Zr
D : 43,6 mm
R^o : 1,8 mm
n : 8
A : 149mm²(Z=6)
ha : 8 mm
pas ou δ : 20°
R ou E : 2 mm
e_p : 0,5 mm
e_t : 1,4 mm

Observation : TRAIN C

CONDITIONS D'ESSAIS

N°	θ mm ²	Dc mm	Observations
304	6665	110	Centreurs incorp. en entrée Y=0
Re _o	$3,5 \cdot 10^5$	$5 \cdot 10^5$	$7 \cdot 10^5$
f _o	0,0755	0,075	0,074
M _o	0,0231	0,0207	0,0183

N°	θ mm ²	Dc mm	Observations
305	5665	110	Centreurs incorp. en sortie Y = 0
Re _o	$3,5 \cdot 10^5$	$5 \cdot 10^5$	$7 \cdot 10^5$
f _o	0,084	0,0825	0,081
M _o	0,024	0,0216	0,0177

N°	θ mm ²	Dc mm	Observations
326	6604	110	Centreurs incorp. en entrée Y = 1 mm
Re _o	$3,5 \cdot 10^5$	$5 \cdot 10^5$	$7 \cdot 10^5$
f _o	0,0805	0,0795	0,079
M _o	0,0223	0,020	0,0176

N°	θ mm ²	Dc mm	Observations
347	6725	110	Centreurs incorp. en entrée Y = 2 mm
Re _o	$3,5 \cdot 10^5$	$5 \cdot 10^5$	$7 \cdot 10^5$
f _o	0,0765	0,075	0,074
M _o	0,0217	0,0193	0,0159

N°	θ mm ²	Dc mm	Observations
361	6725	110	Centreurs incorp. en sorties Y = 2 mm
Re _o	$3,5 \cdot 10^5$	$5 \cdot 10^5$	$7 \cdot 10^5$
f _o	0,082	0,081	0,0805
M _o	0,0204	0,0185	0,0164

N°	θ mm ²	Dc mm	Observations
380	6725	110	Centreurs incorp. en entrée Y = 3,5 mm
Re _o	$3,5 \cdot 10^5$	$5 \cdot 10^5$	$7 \cdot 10^5$
f _o	0,0715	0,070	0,0689
M _o	0,0195	0,0172	0,0149

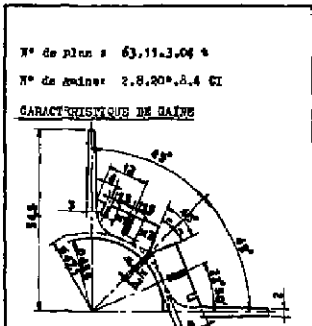
N°	θ mm ²	Dc mm	Observations
381	6725	110	Centreurs incorp. en entrée Y = 3,5 mm
Re _o	$3,5 \cdot 10^5$	$5 \cdot 10^5$	$7 \cdot 10^5$
f _o	0,0715	0,070	0,0689
M _o	0,0195	0,0172	0,0149

N°	θ mm ²	Dc mm	Observations
439	6846,5	110	Centreurs incorp. en entrée Y = 5 mm
Re _o	$3,5 \cdot 10^5$	$5 \cdot 10^5$	$7 \cdot 10^5$
f _o	0,0695	0,0695	0,0695
M _o	0,017	0,0151	0,0134

N°	θ mm ²	Dc mm	Observations
449	6846,5	110	Centreurs incorp. en sortie Y = 0
Re _o	$3,5 \cdot 10^5$	$5 \cdot 10^5$	$7 \cdot 10^5$
f _o	0,076	0,0755	0,0755
M _o	0,0243	0,0219	0,0192

N°	θ mm ²	Dc mm	Observations
327	6693	110	Centreurs incorp. en entrée Y = 1 mm
Re _o	$3,5 \cdot 10^5$	$5 \cdot 10^5$	$7 \cdot 10^5$
f _o	0,080	0,080	0,0785
M _o	0,0217	0,019	0,0165

N°	θ mm ²	Dc mm	Observations
346	6732	110	Centreurs incorp. en entrée Y = 2 mm
Re _o	$3,5 \cdot 10^5$	$5 \cdot 10^5$	$7 \cdot 10^5$
f _o	0,079	0,0785	0,0777
M _o	0,0229	0,0203	0,0175



Type : Chevrons plats rectilignes

Nature du métal	Réf Zr
D ₀	43,6 mm
D ₀	1,8 mm
n	8
A	149 mm ² (X ₁ =4mm X ₂ =0)
ha	8 mm
pas ou <	20°
N ou E	2 mm
a _p	0,5 mm
e _b	1,4 mm

Observations : TRAIT B

CONDITIONS D'ESSAIS

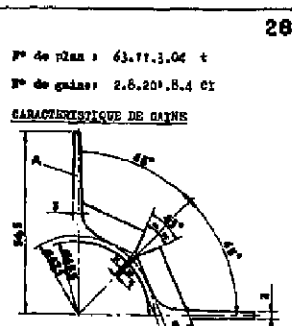
N°	a mm ²	D ₀ mm	Observations
311	6669	110	Centreaux incorp. en entrées X ₁ =0mm X ₂ =0
R ₀	3,5.10 ⁵	5.10 ⁵	7.10 ⁵
f ₀	0,0755	0,073	0,074
M ₀	0,0228	0,0204	0,0181
			0,0163

N°	a mm ²	D ₀ mm	Observations
325	6679,5	110	Centreaux incorp. en entrées X ₁ =2mm X ₂ =0
R ₀	3,5.10 ⁵	5.10 ⁵	7.10 ⁵
f ₀	0,082	0,081	0,0805
M ₀	0,0236	0,0211	0,0185
			0,0166

N°	a mm ²	D ₀ mm	Observations
345	6689	110	Centreaux incorp. en entrées X ₁ =2mm X ₂ =2mm
R ₀	3,5.10 ⁵	5.10 ⁵	7.10 ⁵
f ₀	0,088	0,0855	0,0835
M ₀	0,0235	0,0209	0,0185
			0,0165

N°	a mm ²	D ₀ mm	Observations
353	6701	110	Centreaux incorp. en entrées X ₁ =2mm X ₂ =4mm
R ₀	3,5.10 ⁵	5.10 ⁵	7.10 ⁵
f ₀	0,0900	0,088	0,0870
M ₀	0,0233	0,0208	0,0182
			0,0163

N°	a mm ²	D ₀ mm	Observations
419	6714,5	110	Centreaux incorp. en entrées X ₁ =4mm X ₂ =4mm
R ₀	3,5.10 ⁵	5.10 ⁵	7.10 ⁵
f ₀	0,0835	0,084	0,0845
M ₀	0,0217	0,0195	0,0173
			0,0157



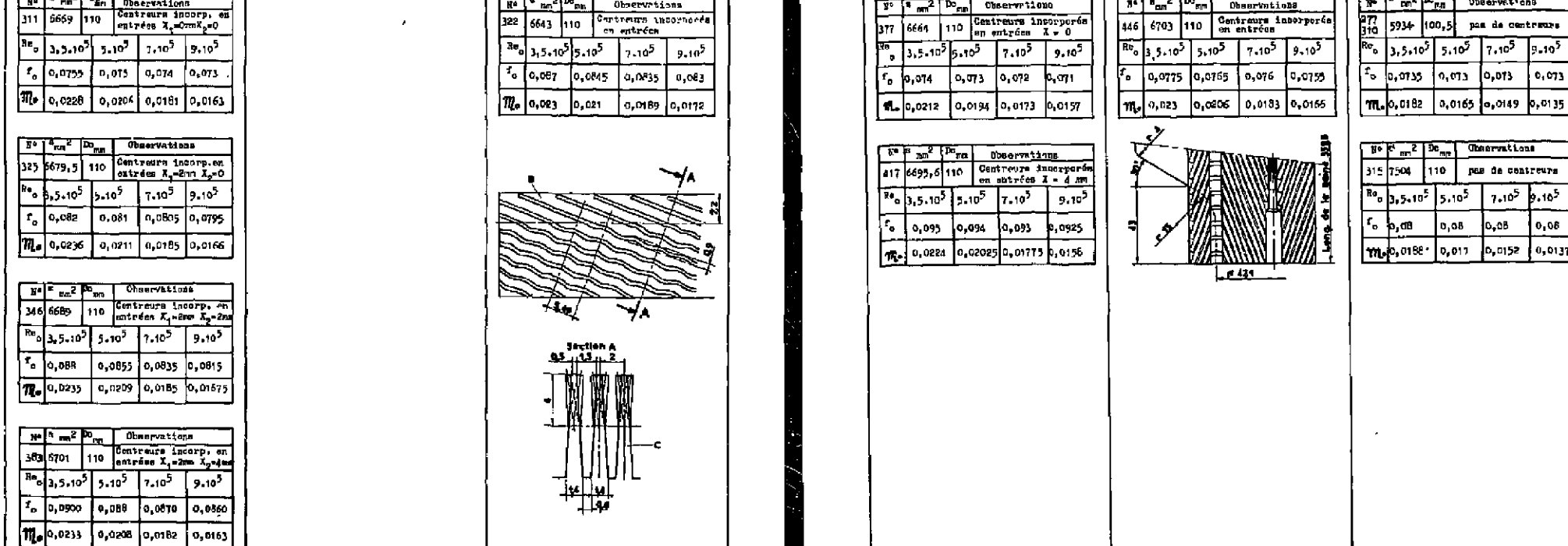
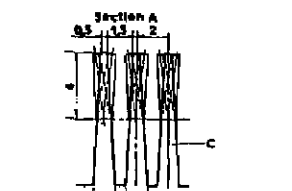
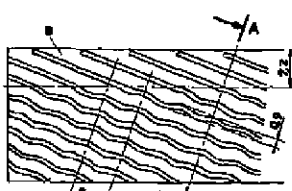
Type : Chevrons plats rectilignes

Nature du métal	Réf Zr
D ₀	43,6 mm
D ₀	1,8 mm
n	8
A	149 mm ² (X ₁ =X ₂ =0)
ha	8 mm
pas ou <	20°
N ou E	2 mm
a _p	0,5 mm
e _b	1,4 mm

Observations : (cf N°C 3410/39 36)
TRAIT B

CONDITIONS D'ESSAIS

N°	a mm ²	D ₀ mm	Observations
322	6643	110	Centreaux incorpérés en entrées
R ₀	3,5.10 ⁵	5.10 ⁵	7.10 ⁵
f ₀	0,087	0,0845	0,0835
M ₀	0,023	0,021	0,0189
			0,0172



Type : Chevrons plats rectilignes

Nature du métal	Réf Zr
D ₀	43,6 mm
D ₀	1,8 mm
n	8
A	149,5 mm ² (X ₁ =0 mm X ₂ =0 mm)
ha	8 mm
pas ou <	20°
N ou E	2 mm
a _p	0,5 mm
e _b	1,4 mm

Observations : TRAIT B

CONDITIONS D'ESSAIS

N°	a mm ²	D ₀ mm	Observations
377	5934	100,5	pas de centreaux
R ₀	3,5.10 ⁵	5.10 ⁵	7.10 ⁵
f ₀	0,0775	0,0765	0,076
M ₀	0,023	0,0206	0,0183
			0,0165

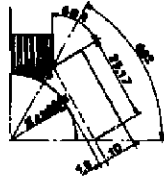
Observations : TRAIT B - centreaux profilés

CONDITIONS D'ESSAIS

N°	a mm ²	D ₀ mm	Observations
312	7504	110	pas de centreaux
R ₀	3,5.10 ⁵	5.10 ⁵	7.10 ⁵
f ₀	0,08	0,08	0,08
M ₀	0,0182	0,0171	0,0152
			0,0137

N° de plan : 64.03.3.01.1
N° de guiné : 2.6.20^a.10

CARACTÉRISTIQUE DE GUINÉ



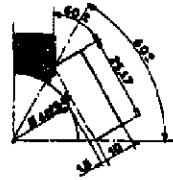
Type : Chevrons plats rectilignes
Nature du métal : Ag 5
D : 40 mm
D₀ : 1,8 mm
n : 6
A : 252 mm²
R₀ : 10 mm
pas ou R : 20°
R ou S : 2 mm
e₀ : 0,1 mm
e_b : 0,17 mm

Observations :
CONDITIONS D'ESSAIS

N°	δ mm ²	Dc mm	Observations
245	5707	100,5	pas de centraux
R ₀	$3,5 \cdot 10^5$	$5 \cdot 10^5$	$7 \cdot 10^5$
f_0	0,110	0,107	0,103
M_e	0,0284	0,0273	0,0206

N° de plan : 64.03.3.02.1
N° de guiné : 2.6.20^a.10

CARACTÉRISTIQUE DE GUINÉ



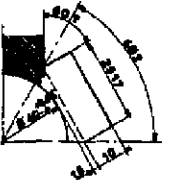
Type : Chevrons plats rectilignes
Nature du métal : Ag 5
D : 40 mm
D₀ : 1,8 mm
n : 6
A : 252 mm²
R₀ : 10 mm
pas ou R : 20°
R ou S : 2 mm
e₀ : 1,3 mm
e_b : 1,3 mm

Observations :
CONDITIONS D'ESSAIS

N°	δ mm ²	Dc mm	Observations
245	5310,5	100,5	pas de centraux
R ₀	$3,5 \cdot 10^5$	$5 \cdot 10^5$	$7 \cdot 10^5$
f_0	0,0835	0,0835	0,0835
M_e	0,0255	0,0229	0,0201

N° de plan : 64.04.3.01.1
N° de guiné : 2.6.32^a.10

CARACTÉRISTIQUE DE GUINÉ



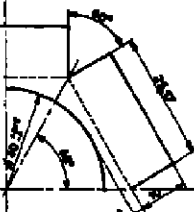
Type : Chevrons plats rectilignes
Nature du métal : Ag 5
D : 40 mm
D₀ : 1,8 mm
n : 6
A : 252 mm²
R₀ : 10 mm
pas ou R : 20°
R ou S : 2 mm
e₀ : 1 mm
e_b : 1 mm

Observations :
CONDITIONS D'ESSAIS

N°	δ mm ²	Dc mm	Observations
245	5310,5	100,5	pas de centraux
R ₀	$3,5 \cdot 10^5$	$5 \cdot 10^5$	$7 \cdot 10^5$
f_0	0,0835	0,0835	0,0835
M_e	0,0255	0,0229	0,0201

N° de plan : 64.04.3.02
N° de guiné : 2.6.20^a.10

CARACTÉRISTIQUE DE GUINÉ



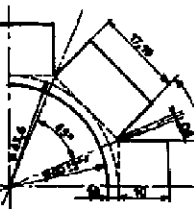
Type : Chevrons plats rectilignes
Nature du métal : Ag 5
D : 40 mm
D₀ : 1,8 mm
n : 6
A : 252 mm²
R₀ : 10 mm
pas ou R : 20°
R ou S : 2 mm
e₀ : 1 mm
e_b : 1 mm

Observations :
CONDITIONS D'ESSAIS

N°	δ mm ²	Dc mm	Observations
247	5535	100,5	pas de centraux
R ₀	$3,5 \cdot 10^5$	$5 \cdot 10^5$	$7 \cdot 10^5$
f_0	0,165	0,1625	0,16
M_e	0,0305	0,0268	0,0222

N° de plan : 64.04.3.03.1
N° de guiné : 2.6.10^a.10

CARACTÉRISTIQUE DE GUINÉ



Type : Chevrons plats rectilignes
Nature du métal : Ag 5
D : 40 mm
D₀ : 1,8 mm
n : 6
A : 252 mm²
R₀ : 10 mm
pas ou R : 20°
R ou S : 2 mm
e₀ : 1 mm
e_b : 1 mm

Observations :
CONDITIONS D'ESSAIS

N°	δ mm ²	Dc mm	Observations
251	5693	100,5	pas de centraux
R ₀	$3,5 \cdot 10^5$	$5 \cdot 10^5$	$7 \cdot 10^5$
f_0	0,177	0,175	0,174
M_e	0,0286	0,025	0,0213

N° de plan : 64.04.3.03.2
N° de guiné : 2.6.10^a.10

CARACTÉRISTIQUE DE GUINÉ



Type : Chevrons plats rectilignes
Nature du métal : Ag 5
D : 40 mm
D₀ : 1,8 mm
n : 6
A : 252 mm²
R₀ : 10 mm
pas ou R : 20°
R ou S : 2 mm
e₀ : 1 mm
e_b : 1 mm

Observations :
CONDITIONS D'ESSAIS

N°	δ mm ²	Dc mm	Observations
321	7217	110	pas de centraux
R ₀	$3,5 \cdot 10^5$	$5 \cdot 10^5$	$7 \cdot 10^5$
f_0	0,089	0,089	0,089
M_e	0,0254	0,0226	0,0197

N° de plan : 64.04.3.03.3
N° de guiné : 2.6.10^a.10

CARACTÉRISTIQUE DE GUINÉ

Type : Chevrons plats rectilignes
Nature du métal : Ag 5
D : 40 mm
D₀ : 1,8 mm
n : 6
A : 252 mm²
R₀ : 10 mm
pas ou R : 20°
R ou S : 2 mm
e₀ : 1 mm
e_b : 1 mm

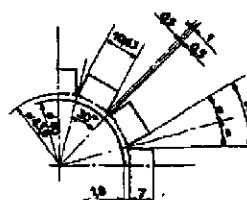
Observations :
CONDITIONS D'ESSAIS

N°	δ mm ²	Dc mm	Observations
322	7263	110	pas de centraux
R ₀	$3,5 \cdot 10^5$	$5 \cdot 10^5$	$7 \cdot 10^5$
f_0	0,0895	0,0895	0,0891
M_e	0,0255	0,0222	0,0192

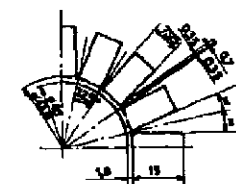
N° de plan : 64.04.3.04.1	N° de plan : 64.04.3.05.1
N° de gaine : 2.14.10 ⁰⁵ .10	N° de gaine : 2.14.10 ⁰⁵ .10
CARACTÉRISTIQUE DE GAINES	
Type : Chevronne plane rectilignes	Type : Chevronne plane rectilignes
Nature du métal Ag 5	Nature du métal Ag 5
D 40 mm	D 40 mm
n 1,8 mm	n 1,8 mm
R 10 mm	R 10 mm
L 10 mm	L 10 mm
pas ou R 5mm	pas ou R 5mm
H ou E 2 mm	H ou E 2 mm
T 1 mm	T 1 mm
B 1 mm	B 1 mm
Observations :	
CONDITIONS D'ESSAIS	
N° σ_{m}^2 $D_0 \text{ mm}$ Observations	N° σ_{m}^2 $D_0 \text{ mm}$ Observations
274 5613 100,5 pas de centreurs	275 5778 100,5 pas de centreurs
Re_0 3,5.10 ⁵ 5.10 ⁵ 7.10 ⁵ 9.10 ⁵	Re_0 3,5.10 ⁵ 5.10 ⁵ 7.10 ⁵ 9.10 ⁵
f_0 0,188 0,18 0,179 0,178	f_0 0,132 0,128 0,125 0,122
M_e 0,0305 0,0258 0,0215 0,0186	M_e 0,0268 0,0229 0,0192 0,0168
CONDITIONS D'ESSAIS	
N° σ_{m}^2 $D_0 \text{ mm}$ Observations	N° σ_{m}^2 $D_0 \text{ mm}$ Observations
312 7185 110 Pas de centreurs	313 7348 110 Pas de centreurs
Re_0 3,5.10 ⁵ 5.10 ⁵ 7.10 ⁵ 9.10 ⁵	Re_0 3,5.10 ⁵ 5.10 ⁵ 7.10 ⁵ 9.10 ⁵
f_0 0,173 0,173 0,173 0,172	f_0 0,135 0,133 0,1305 0,129
M_e 0,0302 0,0255 0,0215 0,0188	M_e 0,0268 0,023 0,0195 0,0177
CONDITIONS D'ESSAIS	
N° σ_{m}^2 $D_0 \text{ mm}$ Observations	N° σ_{m}^2 $D_0 \text{ mm}$ Observations
316 5610 100,5 3 cent. de 28 x 2 en sorties.	317 5610 100,5 3 cent. de 28 x 2 en sorties.
Re_0 3,5.10 ⁵ 5.10 ⁵ 7.10 ⁵ 9.10 ⁵	Re_0 3,5.10 ⁵ 5.10 ⁵ 7.10 ⁵ 9.10 ⁵
f_0 0,129 0,127 0,125 0,123	f_0 0,0705 0,0705 0,0705 0,0705
M_e 0,0276 0,0235 0,0198 0,0178	M_e 0,0196 0,0178 0,0154 0,0135
CONDITIONS D'ESSAIS	
N° σ_{m}^2 $D_0 \text{ mm}$ Observations	N° σ_{m}^2 $D_0 \text{ mm}$ Observations
315 5610 100,5 3 Cent. de 28 x 2 en sorties	319 7426 110 Pas de Centreurs
Re_0 3,5.10 ⁵ 5.10 ⁵ 7.10 ⁵ 9.10 ⁵	Re_0 3,5.10 ⁵ 5.10 ⁵ 7.10 ⁵ 9.10 ⁵
f_0 0,155 0,151 0,149 0,146	f_0 0,0705 0,0705 0,0705 0,0705
M_e 0,030 0,0254 0,0211 0,0182	M_e 0,0179 0,0164 0,0147 0,0133

N° de plan : 64.04.3.06.1	N° de plan : 64.04.3.07.1	N° de plan : 64.04.3.08.1
N° de gaine : 2.14.10 ⁰⁵ .10	N° de gaine : 2.14.10 ⁰⁵ .10	N° de gaine : 2.22.10 ⁰⁵ .10
CARACTÉRISTIQUE DE GAINES		
Type : Chevronne plane rectilignes	Type : Chevronne plane rectilignes	Type : Chevronne plane rectilignes
Nature du métal Ag 5	Nature du métal Ag 5	Nature du métal Ag 5
D 40 mm	D 40 mm	D 40 mm
n 1,8 mm	n 1,8 mm	n 1,8 mm
R 10 mm	R 10 mm	R 10 mm
L 10 mm	L 10 mm	L 10 mm
pas ou R 5mm	pas ou R 5mm	pas ou R 5mm
H ou E 2 mm	H ou E 2 mm	H ou E 2 mm
T 1 mm	T 1 mm	T 1 mm
B 1 mm	B 1 mm	B 1 mm
Observations :		
CONDITIONS D'ESSAIS		
N° σ_{m}^2 $D_0 \text{ mm}$ Observations	N° σ_{m}^2 $D_0 \text{ mm}$ Observations	N° σ_{m}^2 $D_0 \text{ mm}$ Observations
299 1772 70 pas de centreurs	300 1741,5 70 pas de centreurs	301 1741,5 70 pas de centreurs
Re_0 3,5.10 ⁵ 5.10 ⁵ 7.10 ⁵ 9.10 ⁵	Re_0 3,5.10 ⁵ 5.10 ⁵ 7.10 ⁵ 9.10 ⁵	Re_0 3,5.10 ⁵ 5.10 ⁵ 7.10 ⁵ 9.10 ⁵
f_0 0,102 0,10 0,0975 0,096	f_0 0,095 0,092 0,089 0,087	f_0 0,122 0,1175 0,113 0,1105
M_e 0,0194 0,0191 0,0177 0,0164	M_e 0,0252 0,0218 0,0185 0,0163	M_e 0,0208 0,0205 0,0188 0,0173
CONDITIONS D'ESSAIS		
N° σ_{m}^2 $D_0 \text{ mm}$ Observations	N° σ_{m}^2 $D_0 \text{ mm}$ Observations	N° σ_{m}^2 $D_0 \text{ mm}$ Observations
311 7417,5 110 Pas de Centreurs	312 7425,5 100,5 Pas de Centreurs	313 7425,5 100,5 Pas de Centreurs
Re_0 3,5.10 ⁵ 5.10 ⁵ 7.10 ⁵ 9.10 ⁵	Re_0 3,5.10 ⁵ 5.10 ⁵ 7.10 ⁵ 9.10 ⁵	Re_0 3,5.10 ⁵ 5.10 ⁵ 7.10 ⁵ 9.10 ⁵
f_0 0,0705 0,0705 0,0705 0,0705	f_0 0,095 0,095 0,095 0,095	f_0 0,073 0,073 0,073 0,073
M_e 0,0224 0,021 0,0182 0,0160	M_e 0,0201 0,018 0,0158 0,0142	M_e 0,0185 0,017 0,0148 0,0133
CONDITIONS D'ESSAIS		
N° σ_{m}^2 $D_0 \text{ mm}$ Observations	N° σ_{m}^2 $D_0 \text{ mm}$ Observations	N° σ_{m}^2 $D_0 \text{ mm}$ Observations
314 7395,5 110 Pas de Centreurs	315 7395,5 110 Pas de Centreurs	316 7395,5 110 Pas de Centreurs
Re_0 3,5.10 ⁵ 5.10 ⁵ 7.10 ⁵ 9.10 ⁵	Re_0 3,5.10 ⁵ 5.10 ⁵ 7.10 ⁵ 9.10 ⁵	Re_0 3,5.10 ⁵ 5.10 ⁵ 7.10 ⁵ 9.10 ⁵
f_0 0,071 0,071 0,071 0,071	f_0 0,071 0,071 0,071 0,071	f_0 0,071 0,071 0,071 0,071
M_e 0,0185 0,017 0,0148 0,0133	M_e 0,0179 0,0164 0,0147 0,0133	M_e 0,0179 0,0164 0,0147 0,0133

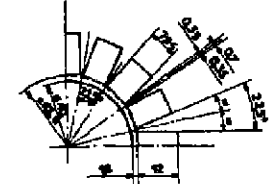
N° de plan : 64.04.3.09 1
N° de gaine : 2.26.2*5.10
CARACTÉRISTIQUE DE GAINE :



N° de plan : 64.04.3.10 1
N° de graine : 3.8.20* 18
N° de graine : 3.8.20* 15
CARACTÉRISTIQUE DE Gaine :

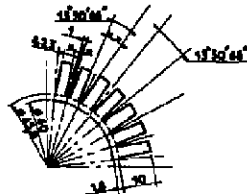


N° de plan : 64.04.3.12 1
N° de graine : 3.16.20* 15
N° de graine : 3.16.20* 12
CARACTÉRISTIQUE DE Gaine :



N° de plan : 64.04.3.09 1
N° de gaine : 2.26.2*5.10

CARACTÉRISTIQUE DE Gaine



Type 1 : Chevrons plans rectilignes

Nature du métal	Ag 5
D mm	40 mm
D' mm	1,8 mm
n mm	26
A mm ²	42,3 mm ²
h mm	10 mm
pas ou E mm	20*
N ou E mm	2 mm
a mm	1 mm
c mm	1 mm

Observations :

CONDITIONS D'ESSAIS

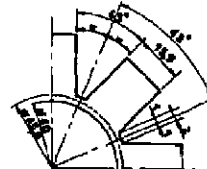
N°	S mm ²	D ₀ mm	Observations
298	1517	75	pas de contreurs
R _{e0}	3,5.10 ⁵	5.10 ⁵	7.10 ⁵
F ₀	0,106	0,1015	0,0975
M ₀	0,0174	0,017	0,016
			0,0151

N°	S mm ²	D ₀ mm	Observations
278	901	100,5	pas de contreurs
R _{e0}	3,5.10 ⁵	5.10 ⁵	7.10 ⁵
F ₀	0,054	0,053	0,0525
M ₀	0,0134	0,01235	0,0112
			0,0104

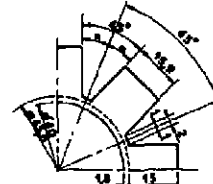
N°	S mm ²	D ₀ mm	Observations
317	7477	110	pas de contreurs
R _{e0}	3,5.10 ⁵	5.10 ⁵	7.10 ⁵
F ₀	0,0495	0,0505	0,051
M ₀	0,0123	0,0115	0,0107
			0,0101

N° de plan : 64.04.3.10 1
N° de gaine : 3.8.20* 18
N° de gaine : 3.8.20* 15

CARACTÉRISTIQUE DE Gaine



CARACTÉRISTIQUE DE Gaine



Type 1 : Chevrons plans rectilignes

Nature du métal	Ag 5
D mm	40 mm
D' mm	1,8 mm
n mm	8
A mm ²	266,2 mm ²
h mm	18 mm
pas ou E mm	20*
N ou E mm	3 mm
a mm	1,5 mm
c mm	1,5 mm

Observations : graine précédente modifiée.

CONDITIONS D'ESSAIS

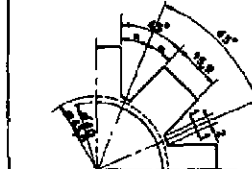
N°	S mm ²	D ₀ mm	Observations
164	5193	100,5	pas de contreurs
R _{e0}	3,5.10 ⁵	5.10 ⁵	7.10 ⁵
F ₀	0,177	0,171	0,167
M ₀	0,0287	0,024	0,0198
			0,0161

N°	S mm ²	D ₀ mm	Observations
402	5339	100,5	pas de contreurs
R _{e0}	3,5.10 ⁵	5.10 ⁵	7.10 ⁵
F ₀	0,131	0,124	0,119
M ₀	0,0265	0,0223	0,0196
			0,0161

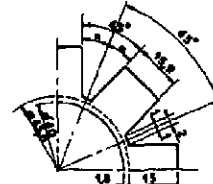
N°	S mm ²	D ₀ mm	Observations
405	6964	110	pas de contreurs
R _{e0}	3,5.10 ⁵	5.10 ⁵	7.10 ⁵
F ₀	0,123	0,118	0,114
M ₀	0,0267	0,0221	0,0186
			0,0163

N° de plan : 64.04.3.10 1
N° de gaine : 3.8.20* 18
N° de gaine : 3.8.20* 15

CARACTÉRISTIQUE DE Gaine



CARACTÉRISTIQUE DE Gaine



Type 1 : Chevrons plans rectilignes

Nature du métal	Ag 5
D mm	40 mm
D' mm	1,8 mm
n mm	8
A mm ²	238,5 mm ²
h mm	15 mm
pas ou E mm	20*
N ou E mm	3 mm
a mm	1,5 mm
c mm	1,5 mm

Observations :

CONDITIONS D'ESSAIS

N°	S mm ²	D ₀ mm	Observations
399	5927	100,5	pas de contreurs
R _{e0}	3,5.10 ⁵	5.10 ⁵	7.10 ⁵
F ₀	0,121	0,117	0,113
M ₀	0,0230	0,0192	0,0159
			0,0137

N°	S mm ²	D ₀ mm	Observations
368	5684	100,5	pas de contreurs
R _{e0}	3,5.10 ⁵	5.10 ⁵	7.10 ⁵
F ₀	0,343	0,339	0,335
M ₀	0,0233	0,0238	0,0233
			0,0137

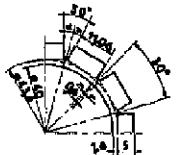
N°	S mm ²	D ₀ mm	Observations
317	7477	110	pas de contreurs
R _{e0}	3,5.10 ⁵	5.10 ⁵	7.10 ⁵
F ₀	0,0495	0,0505	0,051
M ₀	0,0123	0,0115	0,0107
			0,0101

N° de plan : 64.04.3.13 i	N° de plan : 64.04.3.13 i	N° de plan : 64.04.3.14 i
N° de graine : 3.16.20° 12	N° de graine : 2.6.8° 12.	N° de graine : 2.6.8° 12.
CARACTÉRISTIQUE DE GAIINE		
CARACTÉRISTIQUE DE GATINE		
Type : Chevrons plats rectilignes	Type : Chevrons plats rectilignes	Type : Chevrons plats rectilignes
Nature du métal : Ag 5 D : 40 mm E : 1,8 mm F : 12 mm A : 119,25 mm² B : 15 mm C : 20° D : 3 mm E : 2,7 mm F : 2,1 mm	Nature du métal : Ag 5 D : 40 mm E : 1,8 mm F : 12 mm A : 95,4 mm² B : 12 mm C : 20° D : 3 mm E : 2,1 mm F : 2,1 mm	Nature du métal : Ag 5 D : 40 mm E : 1,8 mm F : 12 mm A : 265,4 mm² B : 12 mm C : 20° D : 3 mm E : 2,1 mm F : 2,1 mm
Observation(s) :	Observation(s) à graine préférante modifiée	Observation(s) :
CONDITIONS D'ESSAIS		
CONDITIONS D'ESSAIS	CONDITIONS D'ESSAIS	CONDITIONS D'ESSAIS
N° σ_{m2} σ_c σ_{cr} Observations	N° σ_{m2} σ_c σ_{cr} Observations	N° σ_{m2} σ_c σ_{cr} Observations
366 5023 100,5 pas de centrage	400 5317 100,5 pas de centrage	395 5517 100,5 pas de centrage
R_{p0} $3,5 \cdot 10^5$ $5 \cdot 10^5$ $7 \cdot 10^5$ $9 \cdot 10^5$	R_{p0} $3,5 \cdot 10^5$ $5 \cdot 10^5$ $7 \cdot 10^5$ $9 \cdot 10^5$	R_{p0} $3,5 \cdot 10^5$ $5 \cdot 10^5$ $7 \cdot 10^5$ $9 \cdot 10^5$
f_n 0,14 0,137 0,133 0,13	f_n 0,106 0,103 0,101 0,095	f_n 0,081 0,078 0,076 0,075
M_{f0} 0,0266 0,0226 0,019 0,0165	M_{f0} 0,0239 0,0205 0,0172 0,0148	M_{f0} 0,0234 0,0205 0,0174 0,0152

N° de plan : 64.04.3.15 i	N° de plan : 64.04.3.15 i	N° de plan : 64.04.3.16 i
N° de graine : 2.6.8° 10	N° de graine : 2.6.8° 10	N° de graine : 2.6.8° 10
CARACTÉRISTIQUE DE GATINE		
CARACTÉRISTIQUE DE GAIINE		
Type : Chevrons plats rectilignes	Type : Chevrons plats rectilignes	Type : Chevrons plats rectilignes
Nature du métal : Ag 5 D : 40 mm E : 1,8 mm F : 6 mm A : 221,2 mm² B : 10 mm C : 8° D : 15 mm E : 2 mm F : 0,6 mm G : 0,6 mm	Nature du métal : Ag 5 D : 40 mm E : 1,8 mm F : 6 mm A : 331,2 mm² B : 10 mm C : 8° D : 15 mm E : 2 mm F : 0,6 mm G : 0,6 mm	Nature du métal : Ag 5 D : 40 mm E : 1,8 mm F : 6 mm A : 221,2 mm² B : 10 mm C : 8° D : 15 mm E : 2 mm F : 0,6 mm G : 0,6 mm
Observation(s) :	Observation(s) :	Observation(s) :
CONDITIONS D'ESSAIS		
CONDITIONS D'ESSAIS	CONDITIONS D'ESSAIS	CONDITIONS D'ESSAIS
N° σ_{m2} σ_c σ_{cr} Observations	N° σ_{m2} σ_c σ_{cr} Observations	N° σ_{m2} σ_c σ_{cr} Observations
363 5571 100,5 pas de centrage	398 5875 100,5 pas de centrage	398 5875 100,5 pas de centrage
R_{p0} $3,5 \cdot 10^5$ $5 \cdot 10^5$ $7 \cdot 10^5$ $9 \cdot 10^5$	R_{p0} $3,5 \cdot 10^5$ $5 \cdot 10^5$ $7 \cdot 10^5$ $9 \cdot 10^5$	R_{p0} $3,5 \cdot 10^5$ $5 \cdot 10^5$ $7 \cdot 10^5$ $9 \cdot 10^5$
f_n 0,0436 0,044 0,044 0,044	f_n 0,128 0,119 0,114 0,11	f_n 0,075 0,073 0,071 0,0695
M_{f0} 0,0125 0,0120 0,0114 0,0109	M_{f0} 0,0218 0,0211 0,0175 0,0131	M_{f0} 0,0205 0,0192 0,0156 0,0137

N° de plan : 64.04.3.17 1
N° de gaine : 1.12.88-5.

CARACTÉRISTIQUE DE GAINE



Type : Chevrons plans rectilinéens

Nature du métal Ag 5
D 40 mm
E 12 mm
A 55,3 mm²
L 5 mm
pas ou gap 1 mm
H ou E 1 mm
ep 0,7 mm
h 0,7 mm

Observations :

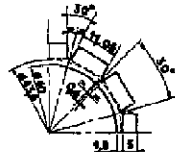
CONDITIORS D'ESSAIS

N°	$\pi \text{ mm}^2$	Dc mm	Observations
403	18,11	70	pas de centreur
R_p	$3,5 \cdot 10^{-5}$	$5 \cdot 10^{-5}$	$7 \cdot 10^{-5}$
r_n	0,0344	0,034	0,0336
M_p	0,0108	0,0115	0,0119

N°	$\pi \text{ mm}^2$	Dc mm	Observations
367	5925	100,5	pas de centreur
R_p	$3,5 \cdot 10^{-5}$	$5 \cdot 10^{-5}$	$7 \cdot 10^{-5}$
r_n	0,0261	0,027	0,0272
M_p	0,0070	0,00725	0,00725

N° de plan : 64.04.3.18 1
N° de gaine : 1.12.88-5.

CARACTÉRISTIQUE DE GAINE



Type : Chevrons plans rectilinéens

Nature du métal Ag 5
D 40 mm
E 12 mm
A 55,3 mm²
L 5 mm
pas ou gap 1 mm
H ou E 1 mm
ep 0,7 mm
h 0,7 mm

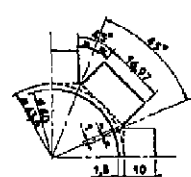
Observations :

CONDITIORS D'ESSAIS

N°	$\pi \text{ mm}^2$	Dc mm	Observations
404	2175	70	pas de centreur
R_p	$3,5 \cdot 10^{-5}$	$5 \cdot 10^{-5}$	$7 \cdot 10^{-5}$
r_n	0,0425	0,059	0,0565
M_p	0,020	0,0194	0,019

N° de plan : 64.04.3.19 1
N° de gaine : 2.8.58-10

CARACTÉRISTIQUE DE GAINE



Type : Chevrons plans rectilinéens

Nature du métal Ag 5
D 40 mm
E 12 mm
A 55,3 mm²
L 5 mm
pas ou gap 1 mm
H ou E 1 mm
ep 0,7 mm
h 0,7 mm

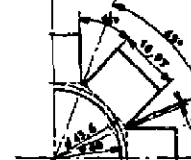
Observations :

CONDITIORS D'ESSAIS

N°	$\pi \text{ mm}^2$	Dc mm	Observations
362	5428	100,5	pas de centreur
R_p	$3,5 \cdot 10^{-5}$	$5 \cdot 10^{-5}$	$7 \cdot 10^{-5}$
r_n	0,0392	0,0392	0,0392
M_p	0,010	0,0095	0,0091

N° de plan : 64.04.3.20 1
N° de gaine : 2.8.58-15

CARACTÉRISTIQUE DE GAINE



Type : Chevrons plans rectilinéens

Nature du métal Ag 5
D 40 mm
E 12 mm
A 55,3 mm²
L 5 mm
pas ou gap 1 mm
H ou E 1 mm
ep 0,7 mm
h 0,7 mm

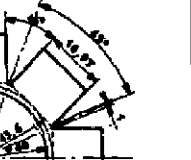
Observations :

CONDITIORS D'ESSAIS

N°	$\pi \text{ mm}^2$	Dc mm	Observations
375	5656	100,5	pas de centreur
R_p	$3,5 \cdot 10^{-5}$	$5 \cdot 10^{-5}$	$7 \cdot 10^{-5}$
r_n	0,0411	0,0407	0,0403
M_p	0,0262	0,0198	0,0167

N° de plan : 64.04.3.21 1
N° de gaine : 2.8.58-17

CARACTÉRISTIQUE DE GAINE



Type : Chevrons plans rectilinéens

Nature du métal Ag 5
D 40 mm
E 12 mm
A 55,3 mm²
L 5 mm
pas ou gap 1 mm
H ou E 1 mm
ep 0,5 mm
h 0,5 mm

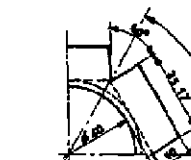
Observations :

CONDITIORS D'ESSAIS

N°	$\pi \text{ mm}^2$	Dc mm	Observations
444	5895	100,5	pas de centreur
R_p	$3,5 \cdot 10^{-5}$	$5 \cdot 10^{-5}$	$7 \cdot 10^{-5}$
r_n	0,1125	0,113	0,1135
M_p	0,0275	0,0245	0,0215

N° de plan : 64.04.3.23 1
N° de gaine : 2.8.20-10

CARACTÉRISTIQUE DE GAINE



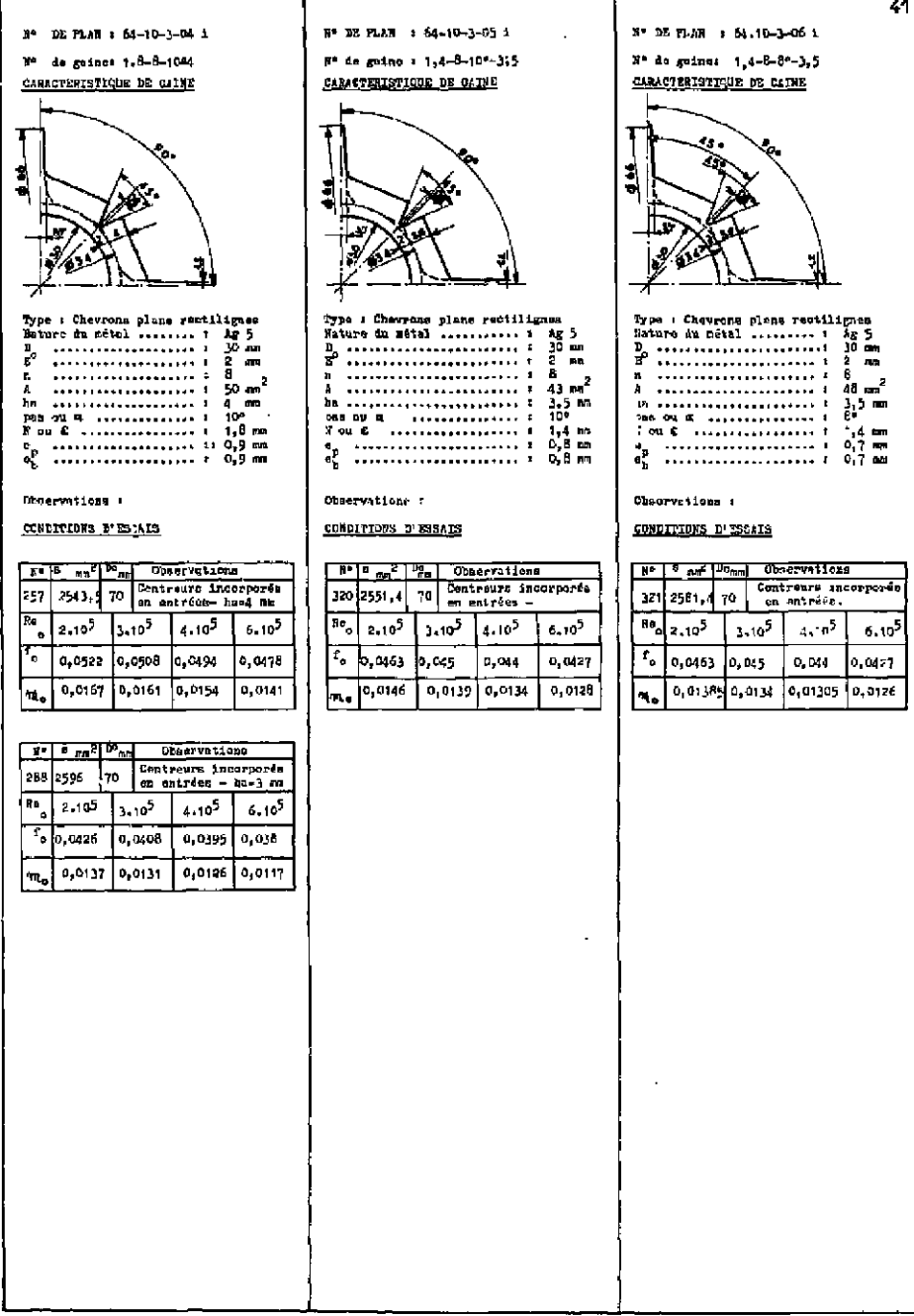
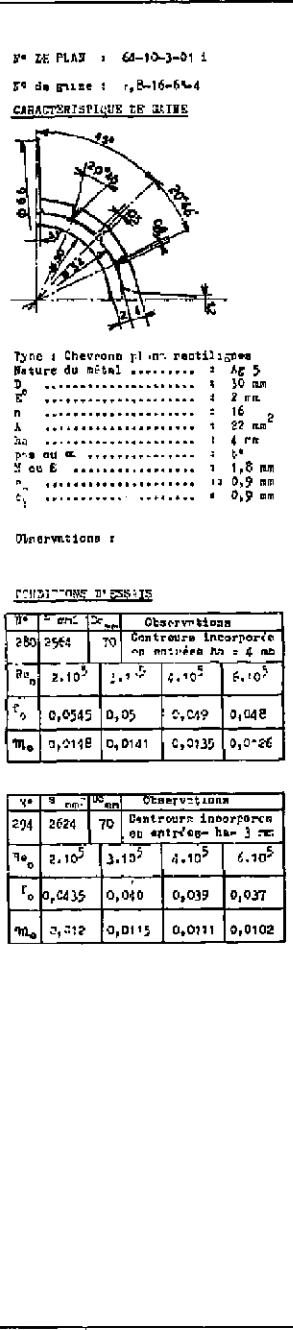
Type : Chevrons plans rectilinéens

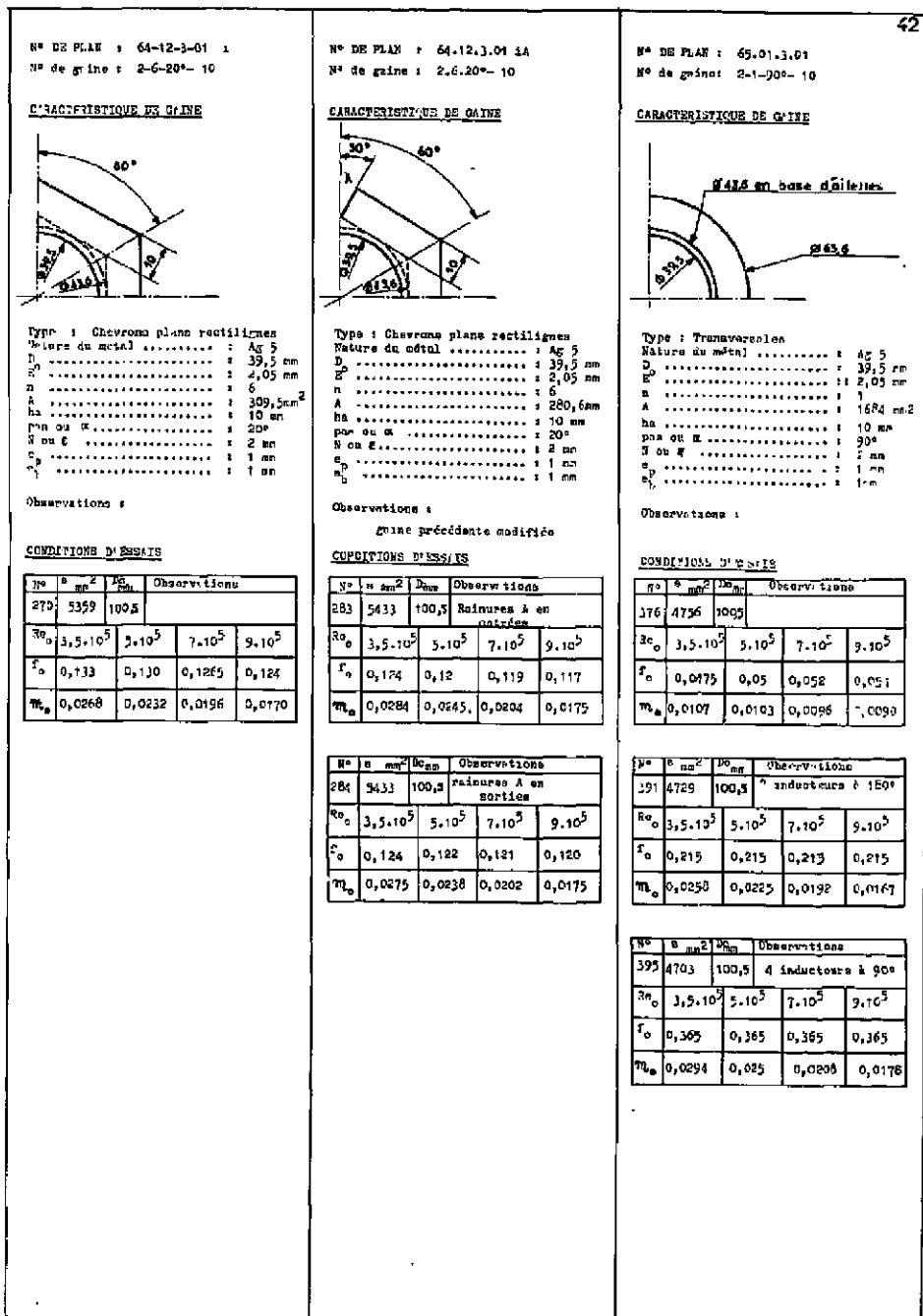
Nature du métal Ag 5
D 40 mm
E 12 mm
A 55,3 mm²
L 5 mm
pas ou gap 20°
H ou E 1 mm
ep 0,5 mm
h 1 mm

Observations :

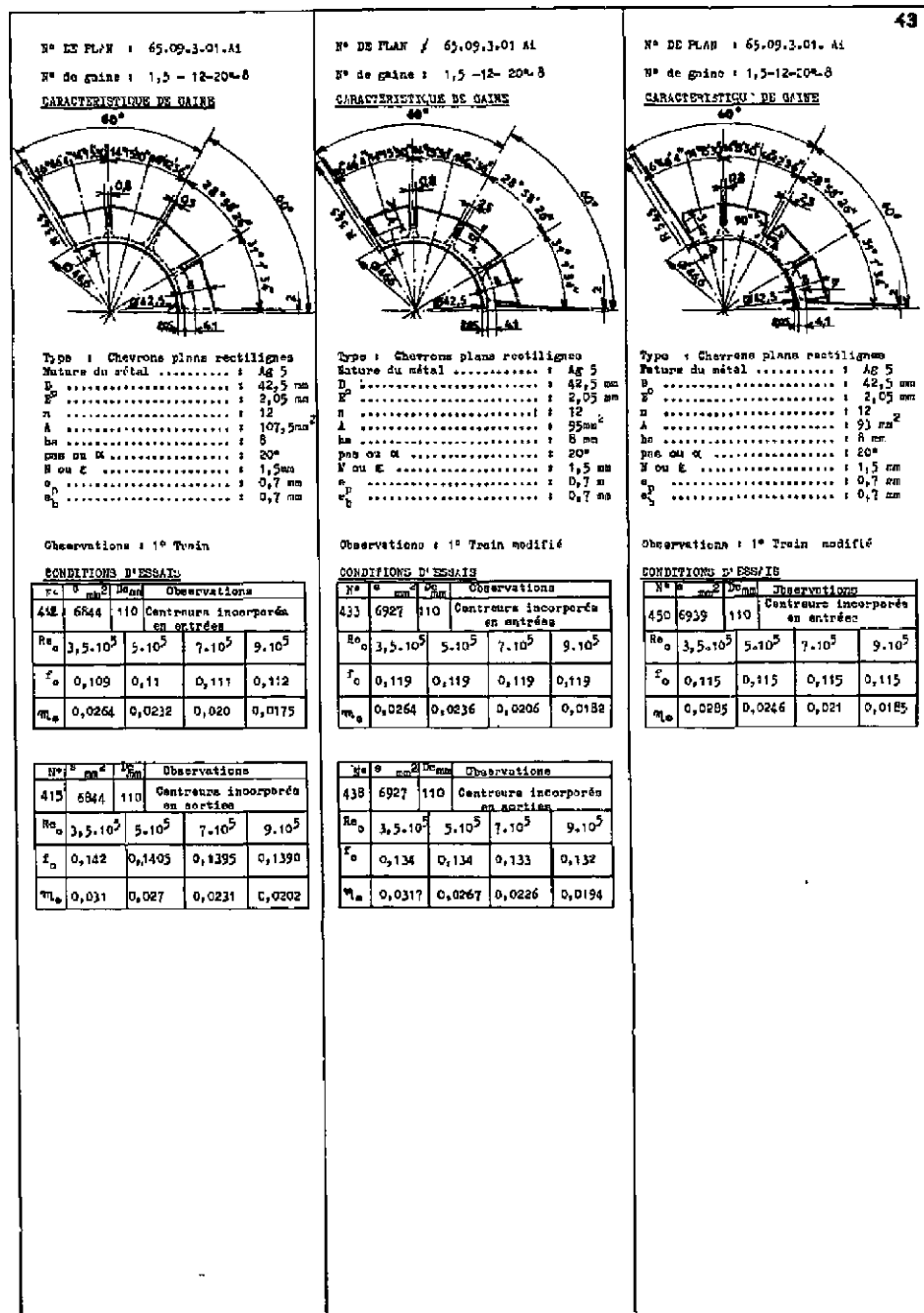
CONDITIORS D'ESSAIS

N°	$\pi \text{ mm}^2$	Dc mm	Observations
473	5982	110	pas de centreur
R_p	$3,5 \cdot 10^{-5}$	$5 \cdot 10^{-5}$	$7 \cdot 10^{-5}$
r_n	0,105	0,105	0,104
M_p	0,0192	0,0161	0,0132

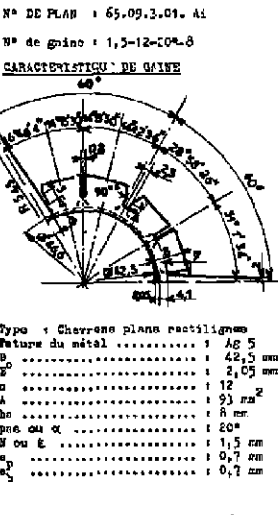
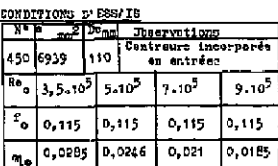
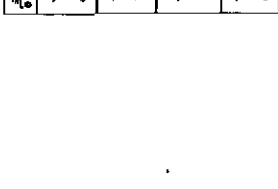
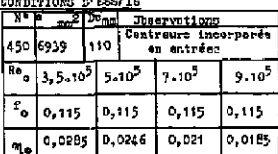


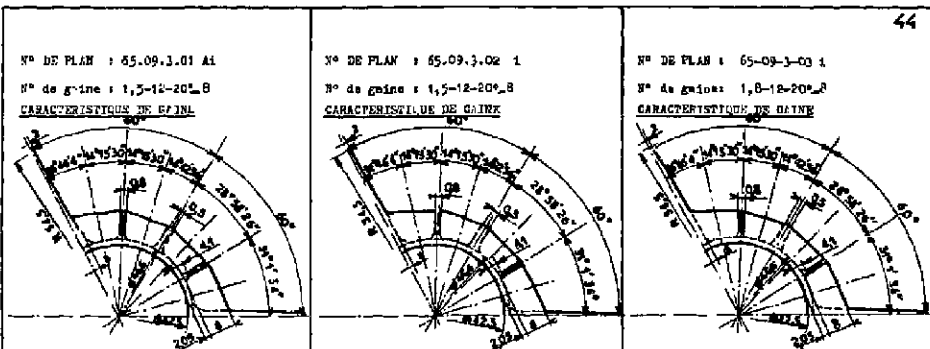


42



43

Observations : 1^{er} Train modifiéObservations : 1^{er} Train modifié



Type : Chevrons plans rectilignes
Nature du métal Ag 5
D 42,5 mm
R 2,05 mm
E 12
A 107,5mm ²
ha 8 mm
pas ou E 20°
N ou S 1,5 mm
e 0,7 mm
c 0,7 mm

Observations : 20° T=1m

CONDITIONS D'ESSAI

No	S [cm ⁻²]	D _{max}	Observations
420	F ₀ 1,0	Centrure incorporée en section hexagonale	
	R ₀ 3,5 · 10 ⁵	5 · 10 ⁵	7 · 10 ⁵
	f ₀ 0,14	0,14	0,14
	m ₀ 0,032	0,028	0,0217
			0,0208

No	S [cm ⁻²]	D _{max}	Observations
429	6935	110	Centrure incorporée en entrées hexagonales
	R ₀ 3,5 · 10 ⁵	5 · 10 ⁵	7 · 10 ⁵
	f ₀ 0,0995	0,0995	0,0995
	m ₀ 0,0246	0,022	0,0197
			0,0177

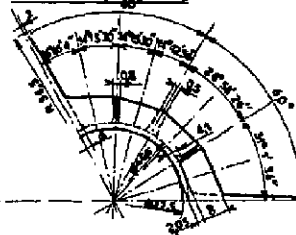
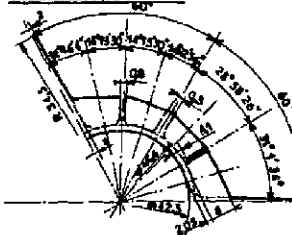
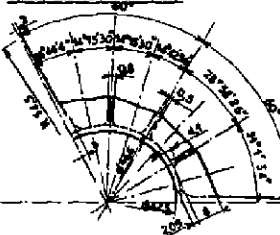
No	S [cm ⁻²]	D _{max}	Observations
451	7368	110	Centrure incorporée en entrées hexagonales
	R ₀ 3,5 · 10 ⁵	5 · 10 ⁵	7 · 10 ⁵
	f ₀ 0,102	0,102	0,102
	m ₀ 0,026	0,024	0,0207
			0,0166

N° DE PLAN : 65.09.3.01 A1
N° de graine : 1,6-12-20^o-B
CARACTÉRISTIQUE DE GRANDEUR

N° DE PLAN : 65.09.3.02 1
N° de graine : 1,6-12-20^o-B
CARACTÉRISTIQUE DE GRANDEUR

N° DE PLAN : 65.09.3.03 1
N° de graine : 1,6-12-20^o-B
CARACTÉRISTIQUE DE GRANDEUR

N° DE PLAN : 65.09.3.01 A1
N° de graine : 1,6-12-20^o-B
CARACTÉRISTIQUE DE GRANDEUR



Type : Chevrons plans rectilignes
Nature du métal Ag 5
D 42,5 mm
R 2,05 mm
E 12
A 107,5mm ²
ha 8 mm
pas ou E 20°
N ou S 1,5 mm
e 0,7 mm
c 0,7 mm

Observations :

CONDITIONS D'ESSAI

No	S [cm ⁻²]	D _{max}	Observations
459	F ₀ 1,0	Centrure incorporée en entrées	
	R ₀ 3,5 · 10 ⁵	5 · 10 ⁵	7 · 10 ⁵
	f ₀ 0,0935	0,0935	0,0935
	m ₀ 0,0245	0,0218	0,0192
			0,0174

Type : Chevrons plans rectilignes
Nature du métal Ag 5
D 42,5 mm
R 1,8 mm
E 12
A 97,4mm ²
ha 8 mm
pas ou E 20°
N ou S 1,5 mm
e 0,7 mm
c 1,1 mm

Observations :

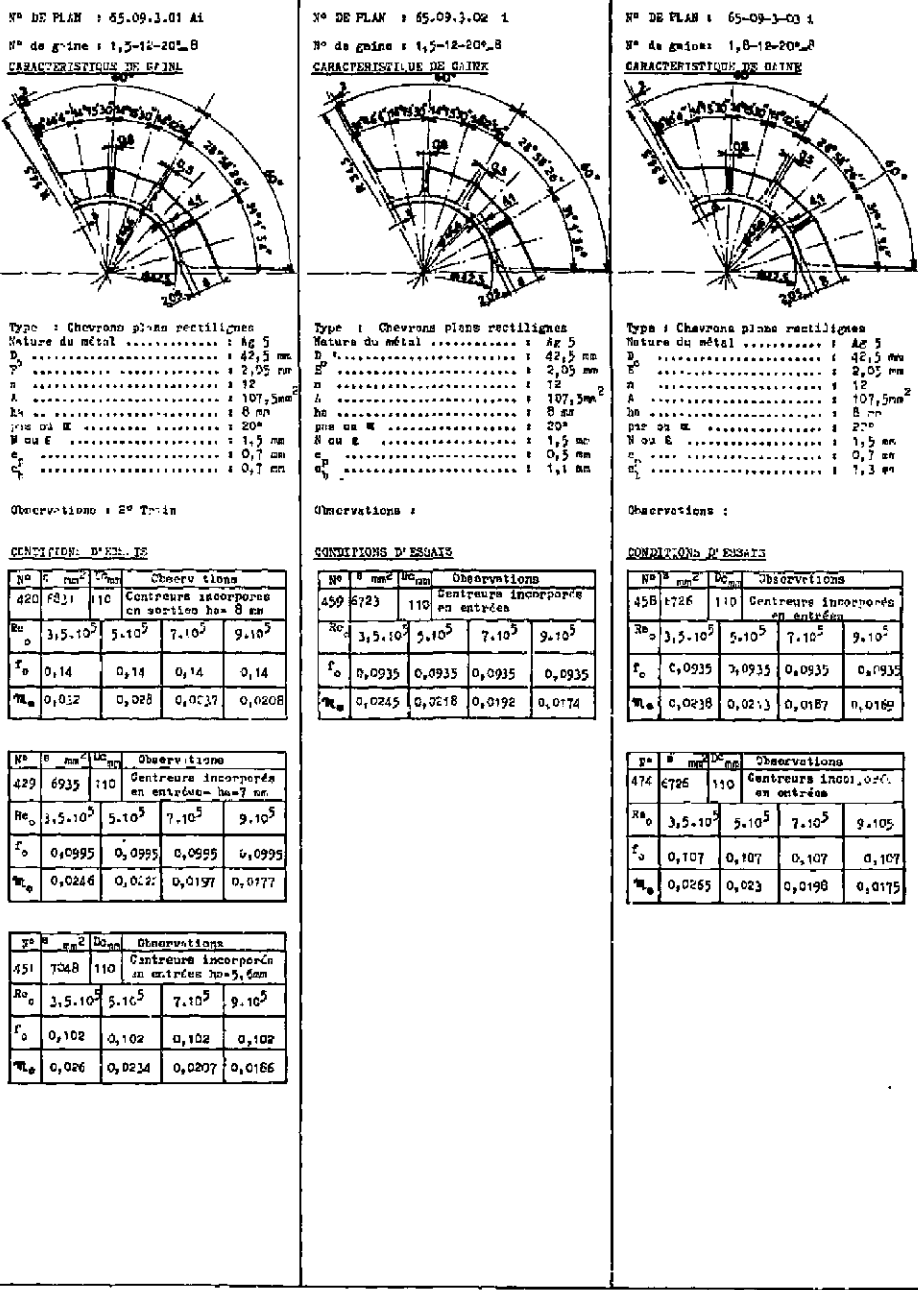
CONDITIONS D'ESSAI

No	S [cm ⁻²]	D _{max}	Observations
458	F ₀ 1,0	Centrure incorporée en entrées	
	R ₀ 3,5 · 10 ⁵	5 · 10 ⁵	7 · 10 ⁵
	f ₀ 0,0935	0,0935	0,0935
	m ₀ 0,0238	0,0213	0,0187
			0,0162

No	S [cm ⁻²]	D _{max}	Observations
510	6772	110	Centrure en sorties
	R ₀ 3,5 · 10 ⁵	5 · 10 ⁵	7 · 10 ⁵
	f ₀ 0,107	0,107	0,107
	m ₀ 0,0265	0,023	0,0198
			0,0175

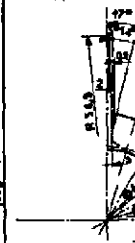
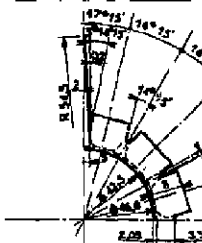
No	S [cm ⁻²]	D _{max}	Observations
511	6772	110	Centrure en sorties
	R ₀ 3,5 · 10 ⁵	5 · 10 ⁵	7 · 10 ⁵
	f ₀ 0,107	0,107	0,107
	m ₀ 0,0265	0,023	0,0198
			0,0175

No	S [cm ⁻²]	D _{max}	Observations
512	6726	110	Centrure en sorties
	R ₀ 3,5 · 10 ⁵	5 · 10 ⁵	7 · 10 ⁵
	f ₀ 0,107	0,107	0,107
	m ₀ 0,0265	0,023	0,0198
			0,0175



N° DE PLAN : 65.09.3.04 1
N° de graine : 1,6-12-20^o-B
CARACTÉRISTIQUE DE GRANDEUR

N° DE PLAN : 65.09.3.05 1
N° de graine : 1,6-12-20^o-B
CARACTÉRISTIQUE DE GRANDEUR



Type : Chevrons plans rectilignes
Nature du métal Ag 5
D 42,5 mm
R 1,8 mm
E 12
A 97,4mm ²
ha 8 mm
pas ou E 20°
N ou S 1,5 mm
e 0,7 mm
c 1,1 mm

Observations : P = 25 Hpa

CONDITIONS D'ESSAI

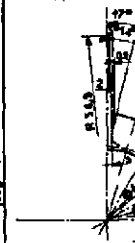
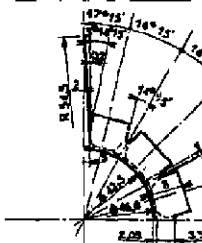
No	S [cm ⁻²]	D _{max}	Observations
523	6559	110	Centrure en entrées
	R ₀ 3,5 · 10 ⁵	5 · 10 ⁵	7 · 10 ⁵
	f ₀ 0,10	0,107	0,106
	m ₀ 0,0236	0,0206	0,0177
			0,0156

No	S [cm ⁻²]	D _{max}	Observations
524	6559	110	Centrure en sorties
	R ₀ 3,5 · 10 ⁵	5 · 10 ⁵	7 · 10 ⁵
	f ₀ 0,105	0,105	0,104
	m ₀ 0,0251	0,0215	0,0182
			0,0159

No	S [cm ⁻²]	D _{max}	Observations
525	6907	110	Centrure en entrées
	R ₀ 3,5 · 10 ⁵	5 · 10 ⁵	7 · 10 ⁵
	f ₀ 0,126	0,126	0,126
	m ₀ 0,0272	0,0231	0,0195
			0,0177

No	S [cm ⁻²]	D _{max}	Observations
526	6107	117	Centrure en sorties
	R ₀ 3,5 · 10 ⁵	5 · 10 ⁵	7 · 10 ⁵
	f ₀ 0,108	0,106	0,103
	m ₀ 0,0244	0,021	0,018
			0,0158

No	S [cm ⁻²]	D _{max}	Observations
527	8155	117	Centrure en sorties
	R ₀ 3,5 · 10 ⁵	5 · 10 ⁵	7 · 10 ⁵
	f ₀ 0,115	0,115	0,115
	m ₀ 0,0266	0,0229	0,0192
			0,0169

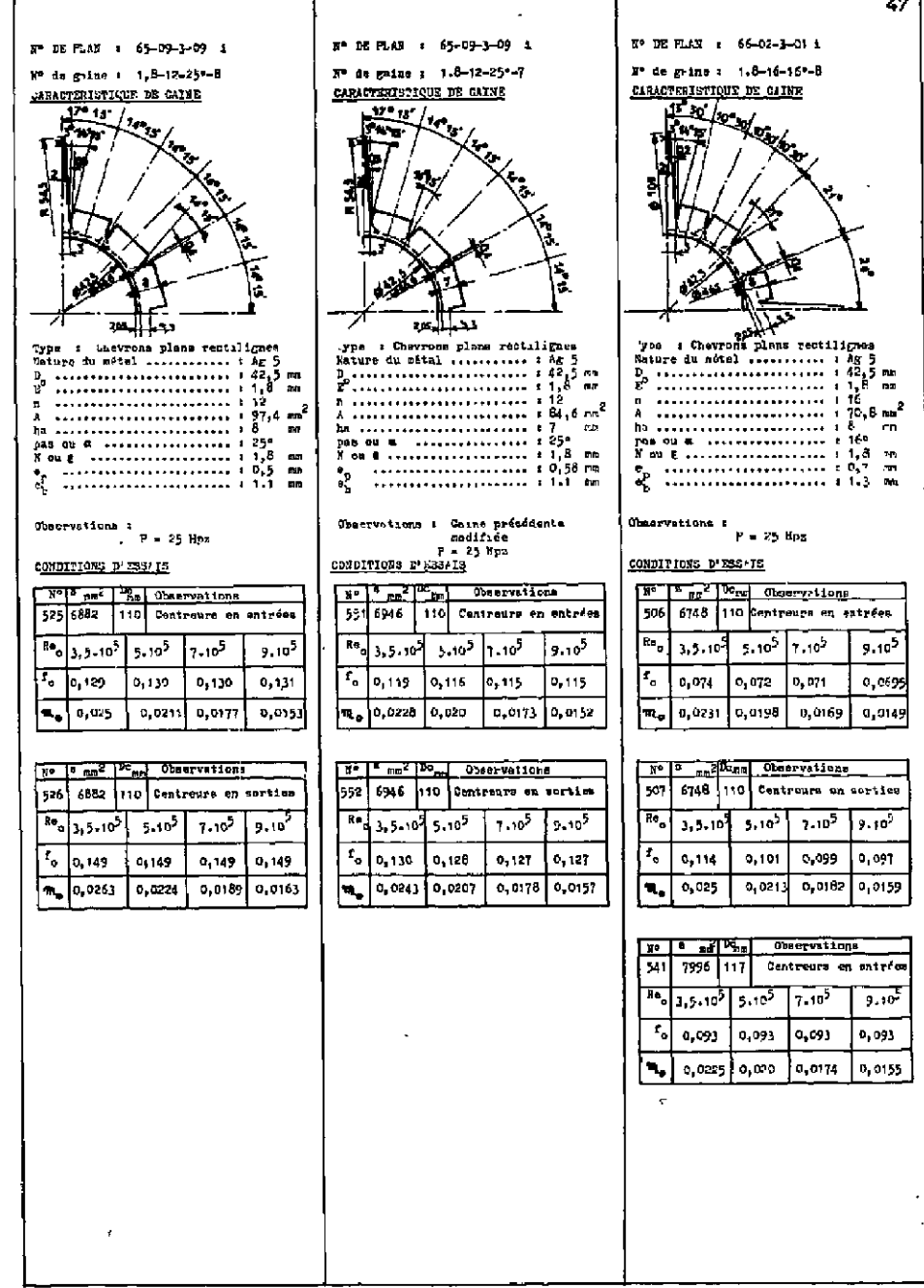
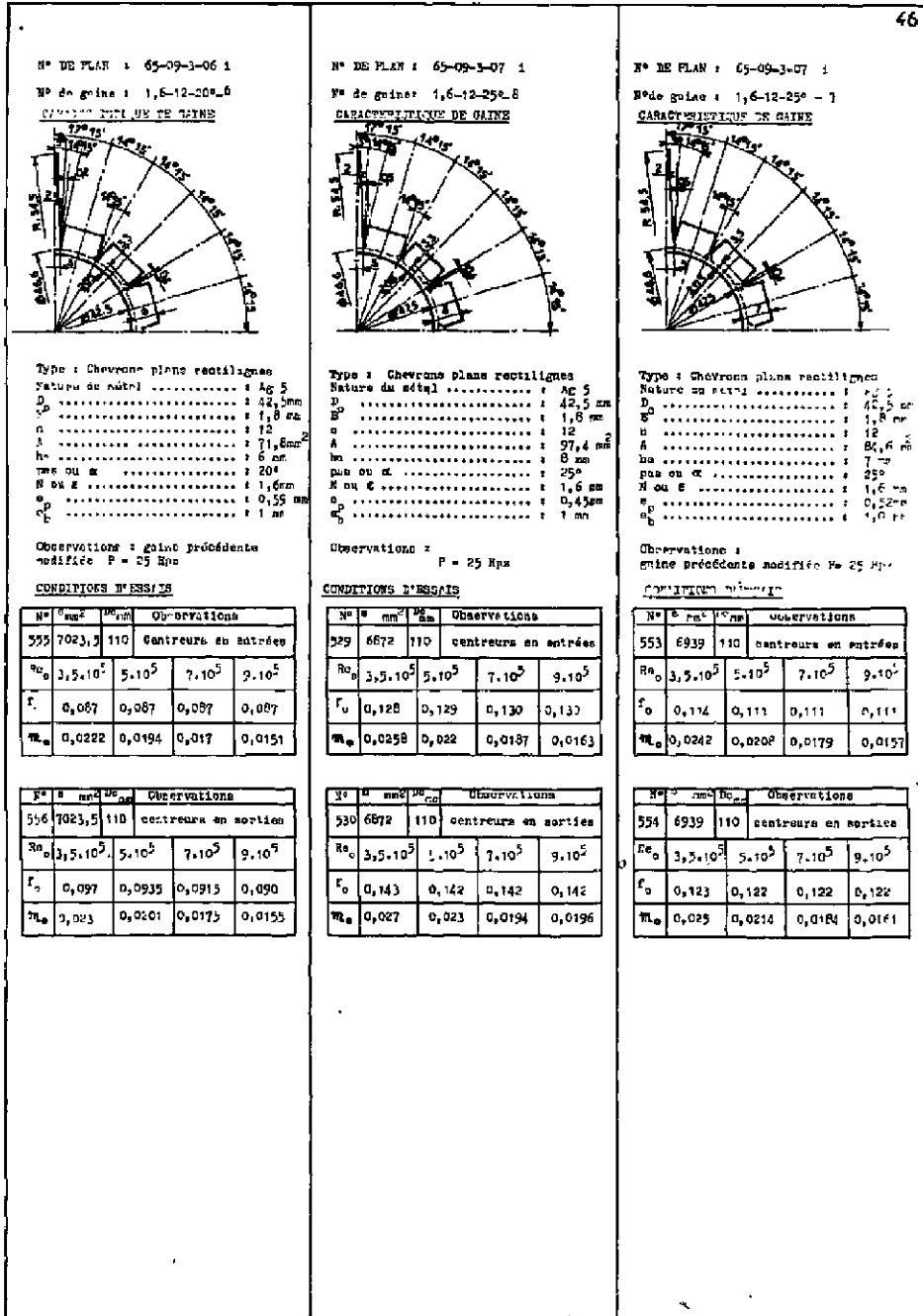


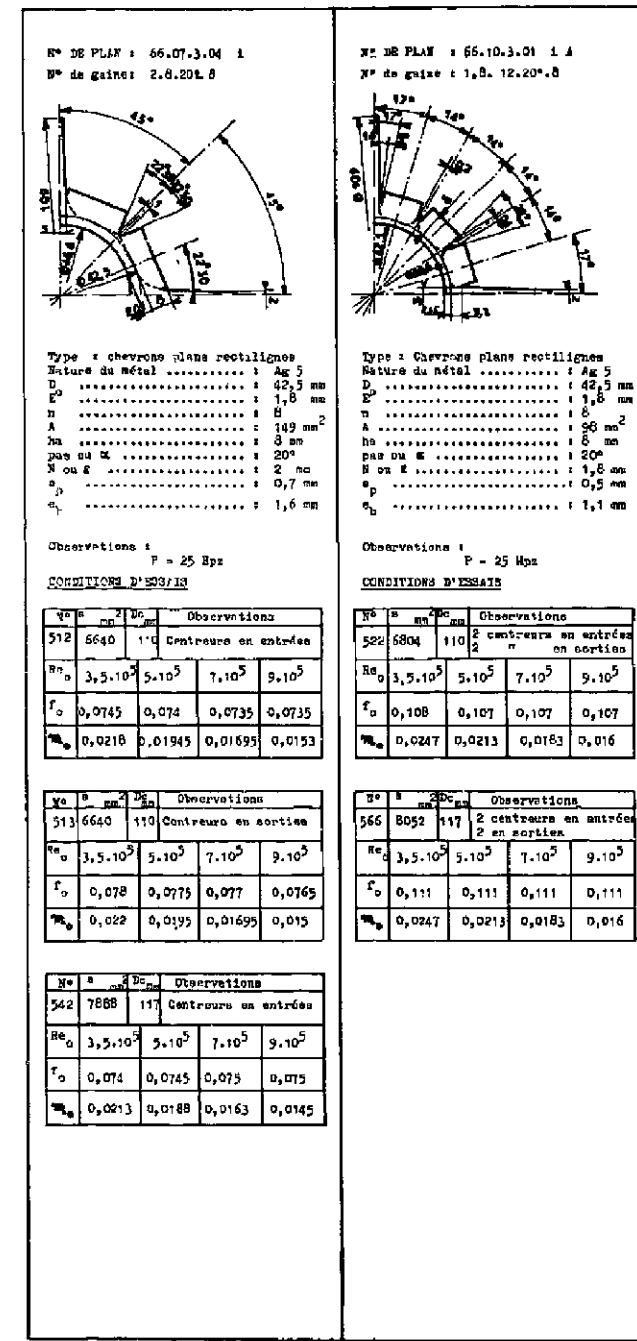
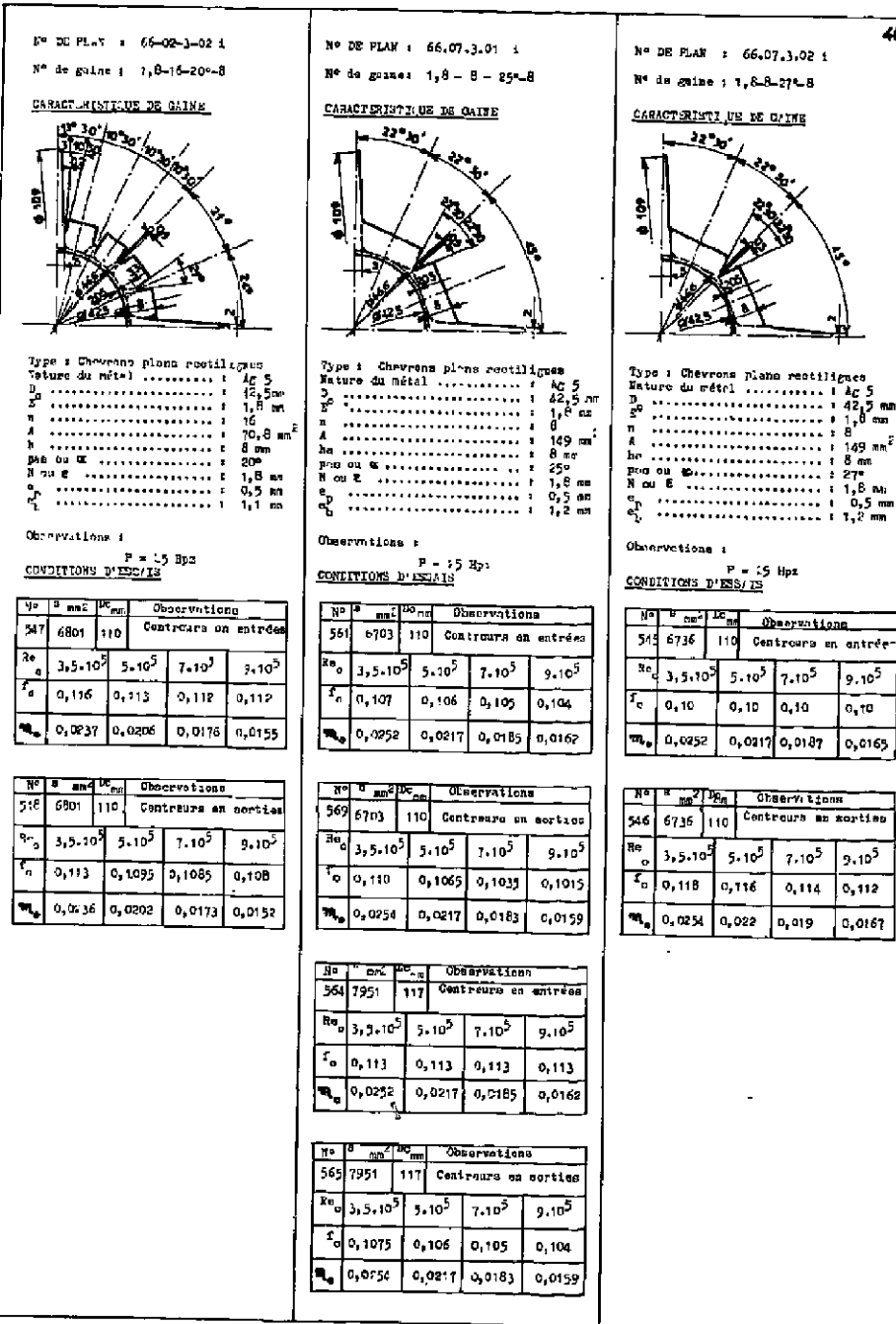
Type : Chevrons plans rectilignes
Nature du métal Ag 5
D 42,5 mm
R 1,8 mm
E 12
A 97,4mm ²
ha 8 mm
pas ou E 20°
N ou S 1,5 mm
e 0,7 mm
c 1,1 mm

Observations : P = 25 Hpa

CONDITIONS D'ESSAI

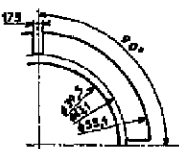
No	S [cm ⁻²]	D _{max}	Observations
528	6907	110	Centrure en sorties
	R ₀ 3,5 · 10 ⁵	5 · 10 ⁵	7 · 10 ⁵
	f ₀ 0,126	0,126	0,126
	m ₀ 0,0272	0,0231	0,0195
			0,0177





N° DE PLAN :
N° de graine : 46-4-60-6

CARACTÉRISTIQUE DE GAINES



Type : chevrons hélicoïdaux
Nature du métal : KgCr
D_g : 39,5 mm
D : 39,5 mm
n : 4 mm
A : 220,9 mm²
h_o ou h : 6 mm
pas ou a : 160 nm
N ou E : 46 mil
e_g : 0,3 mm
e_b : 1,2 mm

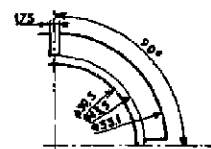
Observations :

CONDITIONS D'ESSAIS

N°	R _e	D _g	D _{min}	Observations
33	6002	100,5	pas de centreur	
R _e	3,5.10 ⁵	5.10 ⁵	7.10 ⁵	9.10 ⁵
f _c	0,147	0,147	0,147	-
m _a	0,0215	0,0191	0,0168	-

N° DE PLAN :
N° de graine : 52 - 4 - 202 - 6

CARACTÉRISTIQUE DE GAINES



Type : chevrons hélicoïdaux
Nature du métal : KgCr
D_g : 39,5 mm
D : 39,5 mm
n : 4 mm
A : 220,9 mm²
h_o ou h : 6 mm
pas ou a : 160 nm
N ou E : 46 mil
e_g : 0,35 mm
e_b : 1,95 mm

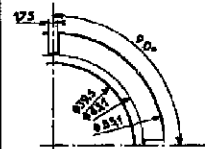
Observations :

CONDITIONS D'ESSAIS

N°	R _e	D _g	D _{min}	Observations
37	6053	100,5	pas de centreur	
R _e	3,5.10 ⁵	5.10 ⁵	7.10 ⁵	9.10 ⁵
f _c	0,125	0,125	0,125	-
m _a	0,0205	0,0183	0,0161	-

N° DE PLAN :
N° de graine : 58 - 4 - 254 - 6

CARACTÉRISTIQUE DE GAINES



Type : chevrons hélicoïdaux
Nature du métal : KgCr
D_g : 39,5 mm
D : 39,5 mm
n : 4 mm
A : 220,9 mm²
h_o ou h : 6 mm
pas ou a : 160 nm
N ou E : 46 mil
e_g : 0,35 mm
e_b : 1,95 mm

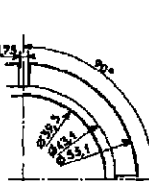
Observations :

CONDITIONS D'ESSAIS

N°	R _e	D _g	D _{min}	Observations
53	6079	100,5	pas de centreur	
R _e	3,5.10 ⁵	5.10 ⁵	7.10 ⁵	9.10 ⁵
f _c	0,098	0,098	0,098	-
m _a	0,0190	0,0168	0,01485	-

N° DE PLAN :
N° de graine : 60.4.3-0.6

CARACTÉRISTIQUE DE GAINES



Type : chevrons hélicoïdaux
Nature du métal : KgCr
D_g : 39,5 mm
D : 39,5 mm
n : 4 mm
A : 220,9 mm²
h_o ou h : 6 mm
pas ou a : 160 nm
N ou E : 46 mil
e_g : 0,35 mm
e_b : 1,95 mm

Observations :

CONDITIONS D'ESSAIS

N°	R _e	D _g	D _{min}	Observations
246	2024	70	pas de centreur	
R _e	3,5.10 ⁵	5.10 ⁵	7.10 ⁵	9.10 ⁵
f _c	0,124	0,1215	0,121	0,120
m _a	0,0186	0,0177	0,016	-

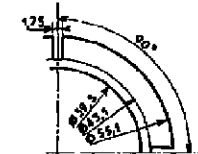
N°	R _e	D _g	D _{min}	Observations
1B	610B	100,5	pas de centreur	
R _e	3,5.10 ⁵	5.10 ⁵	7.10 ⁵	9.10 ⁵
f _c	0,0795	0,0795	0,0795	-
m _a	0,0179	0,0162	0,0141	-

N°	R _e	D _g	D _{min}	Observations
235	757B	110	pas de centreur	
R _e	2,5.10 ⁵	5.10 ⁵	7.10 ⁵	9.10 ⁵
f _c	0,083	0,083	0,083	0,083
m _a	0,0180	0,0160	0,0142	0,0129

N°	R _e	D _g	D _{min}	Observations
252	2108	70	pas de centreur	
R _e	3,5.10 ⁵	5.10 ⁵	7.10 ⁵	9.10 ⁵
f _c	0,0585	0,057	0,056	0,055
m _a	0,0133	0,0127	0,012	0,0115

N° DE PLAN :
N° de graine : F4.4.442.6

CARACTÉRISTIQUE DE GAINES



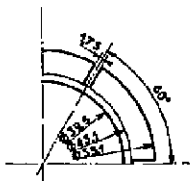
Type : chevrons hélicoïdaux
Nature du métal : KgCr
D_g : 39,5 mm
D : 39,5 mm
n : 4 mm
A : 220,9 mm²
h_o ou h : 6 mm
pas ou a : 160 nm
N ou E : 46 mil
e_g : 0,45 mm
e_b : 1,15 mm

Observation :

CONDITIONS D'ESSAIS

N°	R _e	D _g	D _{min}	Observations
52	6121	100,5	pas de centreur	
R _e	3,5.10 ⁵	5.10 ⁵	7.10 ⁵	9.10 ⁵
f _c	0,0565	0,0565	0,0565	-
m _a	0,0162	0,0146	0,0131	-

N° DE PLAN :
N° de gaine : 53-6-97-6

CARACTÉRISTIQUE DE GAINE.

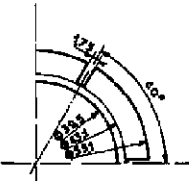
Type I : Chevrons hélicoïdaux
Nature du métal : MgCr
D : 39,5 mm
E : 1,8 mm
n : 6
A : 143,7 mm²
h : 6 mm
pas ou R : 97 mm
N ou E : 33 nill
F : 0,4 mm
c_a : 1,25 mm
c_b : 1,15 mm

Observations :

CONDITIONS D'ESSAIS

N°	R_e^2	σ_{y0}	Observations
40	59,1	100,5	pas de centreur
R_{e0}	$3,5 \cdot 10^5$	$5 \cdot 10^5$	$7 \cdot 10^5$
f_c	0,202	0,21	0,21
m_a	0,0241	0,021	0,0183

N° DE PLAN :
N° de gaine : 52-6-202-6

CARACTÉRISTIQUE DE GAINE.

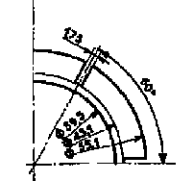
Type I : Chevrons hélicoïdaux
Nature du métal : MgCr
D : 39,5 mm
E : 1,8 mm
n : 6
A : 143,7 mm²
h : 6 mm
pas ou R : 202 mm
N ou E : 62 nill
F : 0,45 mm
c_a : 0,35 mm
c_b : 1,15 mm

Observations :

CONDITIONS D'ESSAIS

N°	S	mm^2	D _{min}	Observations
40	6032	100,5	pas de centreur	
R_{e0}	$3,5 \cdot 10^5$	$5 \cdot 10^5$	$7 \cdot 10^5$	$9 \cdot 10^5$
f_c	0,157	0,157	0,157	-
m_a	0,0233	0,0203	0,0177	-

N° DE PLAN :
N° de gaine : 60-6-310-6

CARACTÉRISTIQUE DE GAINE.

Type I : Chevrons hélicoïdaux
Nature du métal : MgCr
D : 39,5 mm
E : 1,8 mm
n : 6
A : 143,7 mm²
h : 6 mm
pas ou R : 202 mm
N ou E : 62 nill
F : 0,45 mm
c_a : 0,35 mm
c_b : 1,20 mm

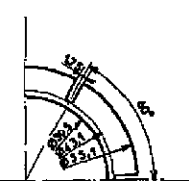
Observations :

CONDITIONS D'ESSAIS

N°	S	mm^2	D _{min}	Observations
40	6032	100,5	pas de centreur	
R_{e0}	$3,5 \cdot 10^5$	$5 \cdot 10^5$	$7 \cdot 10^5$	$9 \cdot 10^5$
f_c	0,11	0,11	0,11	0,11
m_a	0,0207	0,0183	0,016	0,0142

N°	S	mm^2	D _{min}	Observations
40	6092	100,5	pas de centreur	
R_{e0}	$3,5 \cdot 10^5$	$5 \cdot 10^5$	$7 \cdot 10^5$	$9 \cdot 10^5$
f_c	0,10	0,10	0,10	-
m_a	0,020	0,0179	0,0159	-

N° DE PLAN :
N° de gaine : 62 - 6-360-6

CARACTÉRISTIQUE DE GAINE.

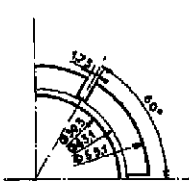
Type I : Chevrons hélicoïdaux
Nature du métal : MgCr
D : 39,5 mm
E : 1,8 mm
n : 6
A : 143,7 mm²
h : 6 mm
pas ou R : 160 mm
N ou E : 62 nill
F : 0,45 mm
c_a : 0,35 mm
c_b : 1,10 mm

Observations :

CONDITIONS D'ESSAIS

N°	S	mm^2	D _{min}	Observations
58	6081	100,5	pas de centreur	
R_{e0}	$3,5 \cdot 10^5$	$5 \cdot 10^5$	$7 \cdot 10^5$	$9 \cdot 10^5$
f_c	0,084	0,084	0,084	-
m_a	0,0150	0,0162	0,0143	-

N° DE PLAN :
N° de gaine : 64-6-442-6

CARACTÉRISTIQUE DE GAINE.

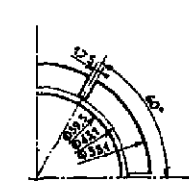
Type I : Chevrons hélicoïdaux
Nature du métal : MgCr
D : 39,5 mm
E : 1,8 mm
n : 6
A : 143,7 mm²
h : 6 mm
pas ou R : 412 mm
N ou E : 64 nill
F : 0,45 mm
c_a : 0,40 mm
c_b : 1,05 mm

Observations :

CONDITIONS D'ESSAIS

N°	S	mm^2	D _{min}	Observations
57	6122	10,5	pas de centreur	
R_{e0}	$3,5 \cdot 10^5$	$5 \cdot 10^5$	$7 \cdot 10^5$	$9 \cdot 10^5$
f_c	0,071	0,071	0,071	-
m_a	0,0181	0,0161	0,0145	-

N° DE PLAN :
N° de gaine : 65-6-506-6

CARACTÉRISTIQUE DE GAINE.

Type I : Chevrons hélicoïdaux
Nature du métal : MgCr
D : 39,5 mm
E : 1,8 mm
n : 6
A : 143,7 mm²
h : 6 mm
pas ou R : 506 mm
N ou E : 65 nill
F : 0,45 mm
c_a : 0,45 mm
c_b : 1,00 mm

Observations :

CONDITIONS D'ESSAIS

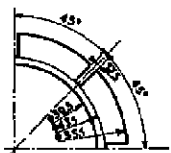
N°	S	mm^2	D _{min}	Observations
27	6131	100,5	pas de centreur	
R_{e0}	$3,5 \cdot 10^5$	$5 \cdot 10^5$	$7 \cdot 10^5$	$9 \cdot 10^5$
f_c	0,061	0,061	0,061	-
m_a	0,0172	0,0153	0,0137	-

N° DE PLAN :	N° DE PLAN :	N° DE PLAN :																																																												
N° de gaine : 67-6-690-6	N° de gaine : 46-8-160-6	N° de gaine : 52-8-202-6																																																												
<u>CARACTÉRISTIQUES DE GAINES</u>																																																														
<u>CARACTÉRISTIQUE DE GAINE</u>																																																														
Type : Chevrons hélicoïdaux	Type : Chevrons hélicoïdaux	Type : Chevrons hélicoïdaux																																																												
Nature du métal : MgZr	Nature du métal : MgZr	Nature du métal : MgZr																																																												
D : 39,5 mm	D : 39,5 mm	D : 39,5 mm																																																												
d : 1,8 mm	d : 1,8 mm	d : 1,8 mm																																																												
r : 6 mm	r : 6 mm	r : 6 mm																																																												
A : 143,7 mm ²	A : 143,7 mm ²	A : 143,7 mm ²																																																												
h : 6 mm	h : 6 mm	h : 6 mm																																																												
res ou R : 590 nm	res ou R : 590 nm	res ou R : 590 nm																																																												
R ou E : 87	R ou E : 87	R ou E : 87																																																												
e : 0,25 mm	e : 0,25 mm	e : 0,25 mm																																																												
o : 1,10 mm	o : 1,10 mm	o : 1,10 mm																																																												
Observations :	Observations :	Observations :																																																												
<u>CONDITIONS D'ESSAIS</u>																																																														
<table border="1"> <thead> <tr> <th>N°</th> <th>σ mm⁻²</th> <th>τ_{app}</th> <th>Observations</th> </tr> </thead> <tbody> <tr> <td>26</td> <td>6160</td> <td>1000</td> <td>pas de centreur</td> </tr> <tr> <td>σ_{c}</td> <td>$3,5 \cdot 10^5$</td> <td>$5 \cdot 10^5$</td> <td>$7 \cdot 10^5$</td> </tr> <tr> <td>τ_{c}</td> <td>0,050</td> <td>0,050</td> <td>0,050</td> </tr> <tr> <td>m_{c}</td> <td>0,0157</td> <td>0,0141</td> <td>0,0127</td> </tr> </tbody> </table>	N°	σ mm ⁻²	τ_{app}	Observations	26	6160	1000	pas de centreur	σ_{c}	$3,5 \cdot 10^5$	$5 \cdot 10^5$	$7 \cdot 10^5$	τ_{c}	0,050	0,050	0,050	m_{c}	0,0157	0,0141	0,0127	<table border="1"> <thead> <tr> <th>N°</th> <th>σ mm⁻²</th> <th>τ_{app}</th> <th>Observations</th> </tr> </thead> <tbody> <tr> <td>42</td> <td>6005</td> <td>1000</td> <td>pas de centreur</td> </tr> <tr> <td>σ_{c}</td> <td>$3,5 \cdot 10^5$</td> <td>$5 \cdot 10^5$</td> <td>$7 \cdot 10^5$</td> </tr> <tr> <td>τ_{c}</td> <td>0,215</td> <td>0,215</td> <td>0,215</td> </tr> <tr> <td>m_{c}</td> <td>0,0242</td> <td>0,021</td> <td>0,0183</td> </tr> </tbody> </table>	N°	σ mm ⁻²	τ_{app}	Observations	42	6005	1000	pas de centreur	σ_{c}	$3,5 \cdot 10^5$	$5 \cdot 10^5$	$7 \cdot 10^5$	τ_{c}	0,215	0,215	0,215	m_{c}	0,0242	0,021	0,0183	<table border="1"> <thead> <tr> <th>N°</th> <th>σ mm⁻²</th> <th>τ_{app}</th> <th>Observations</th> </tr> </thead> <tbody> <tr> <td>35</td> <td>6056</td> <td>1000</td> <td>pas de centreur</td> </tr> <tr> <td>σ_{c}</td> <td>$3,5 \cdot 10^5$</td> <td>$5 \cdot 10^5$</td> <td>$7 \cdot 10^5$</td> </tr> <tr> <td>τ_{c}</td> <td>0,195</td> <td>0,195</td> <td>0,195</td> </tr> <tr> <td>m_{c}</td> <td>0,024</td> <td>0,0238</td> <td>0,0182</td> </tr> </tbody> </table>	N°	σ mm ⁻²	τ_{app}	Observations	35	6056	1000	pas de centreur	σ_{c}	$3,5 \cdot 10^5$	$5 \cdot 10^5$	$7 \cdot 10^5$	τ_{c}	0,195	0,195	0,195	m_{c}	0,024	0,0238	0,0182
N°	σ mm ⁻²	τ_{app}	Observations																																																											
26	6160	1000	pas de centreur																																																											
σ_{c}	$3,5 \cdot 10^5$	$5 \cdot 10^5$	$7 \cdot 10^5$																																																											
τ_{c}	0,050	0,050	0,050																																																											
m_{c}	0,0157	0,0141	0,0127																																																											
N°	σ mm ⁻²	τ_{app}	Observations																																																											
42	6005	1000	pas de centreur																																																											
σ_{c}	$3,5 \cdot 10^5$	$5 \cdot 10^5$	$7 \cdot 10^5$																																																											
τ_{c}	0,215	0,215	0,215																																																											
m_{c}	0,0242	0,021	0,0183																																																											
N°	σ mm ⁻²	τ_{app}	Observations																																																											
35	6056	1000	pas de centreur																																																											
σ_{c}	$3,5 \cdot 10^5$	$5 \cdot 10^5$	$7 \cdot 10^5$																																																											
τ_{c}	0,195	0,195	0,195																																																											
m_{c}	0,024	0,0238	0,0182																																																											

N° DE PLAN :	N° DE PLAN :	N° DE PLAN :																																																												
N° de gaine : 60-8-310-6	N° de gaine : 64-8-442-6	N° de gaine : 64-8-442-6																																																												
<u>CARACTÉRISTIQUE DE GAINE</u>																																																														
<u>CARACTÉRISTIQUE DE GAINE</u>																																																														
Type : Chevrons hélicoïdaux	Type : chevrons hélicoïdaux	Type : chevrons hélicoïdaux																																																												
Nature du métal : MgZr	Nature du métal : MgZr	Nature du métal : MgZr																																																												
D : 39,5 mm	D : 39,5 mm	D : 39,5 mm																																																												
r : 1,8 mm	r : 1,8 mm	r : 1,8 mm																																																												
A : 8 mm	A : 8 mm	A : 8 mm																																																												
h : 6 mm	h : 6 mm	h : 6 mm																																																												
res ou R : 442 nm	res ou R : 442 nm	res ou R : 442 nm																																																												
R ou E : 64 al3	R ou E : 64 al3	R ou E : 64 al3																																																												
e : 0,3 mm	e : 0,3 mm	e : 0,3 mm																																																												
o : 1,05 mm	o : 1,05 mm	o : 1,05 mm																																																												
Observations :	Observations :	Observations :																																																												
<u>CONDITIONS D'ESSAIS</u>																																																														
<table border="1"> <thead> <tr> <th>N°</th> <th>σ mm⁻²</th> <th>τ_{app}</th> <th>Observations</th> </tr> </thead> <tbody> <tr> <td>259</td> <td>6185</td> <td>100</td> <td>pas de centreur ha = 4 mm</td> </tr> <tr> <td>σ_{c}</td> <td>$3,5 \cdot 10^5$</td> <td>$5 \cdot 10^5$</td> <td>$7 \cdot 10^5$</td> </tr> <tr> <td>τ_{c}</td> <td>0,070</td> <td>0,070</td> <td>0,0695</td> </tr> <tr> <td>m_{c}</td> <td>0,0162</td> <td>0,0147</td> <td>0,0133</td> </tr> </tbody> </table>	N°	σ mm ⁻²	τ_{app}	Observations	259	6185	100	pas de centreur ha = 4 mm	σ_{c}	$3,5 \cdot 10^5$	$5 \cdot 10^5$	$7 \cdot 10^5$	τ_{c}	0,070	0,070	0,0695	m_{c}	0,0162	0,0147	0,0133	<table border="1"> <thead> <tr> <th>N°</th> <th>σ mm⁻²</th> <th>τ_{app}</th> <th>Observations</th> </tr> </thead> <tbody> <tr> <td>267</td> <td>7736</td> <td>110</td> <td>pas de centreur ha = 4 mm</td> </tr> <tr> <td>σ_{c}</td> <td>$3,5 \cdot 10^5$</td> <td>$5 \cdot 10^5$</td> <td>$7 \cdot 10^5$</td> </tr> <tr> <td>τ_{c}</td> <td>0,071</td> <td>0,072</td> <td>0,073</td> </tr> <tr> <td>m_{c}</td> <td>0,0159</td> <td>0,0146</td> <td>0,0135</td> </tr> </tbody> </table>	N°	σ mm ⁻²	τ_{app}	Observations	267	7736	110	pas de centreur ha = 4 mm	σ_{c}	$3,5 \cdot 10^5$	$5 \cdot 10^5$	$7 \cdot 10^5$	τ_{c}	0,071	0,072	0,073	m_{c}	0,0159	0,0146	0,0135	<table border="1"> <thead> <tr> <th>N°</th> <th>σ mm⁻²</th> <th>τ_{app}</th> <th>Observations</th> </tr> </thead> <tbody> <tr> <td>29</td> <td>2218</td> <td>70</td> <td>pas de centreur ha = 2 mm</td> </tr> <tr> <td>σ_{c}</td> <td>$3,5 \cdot 10^5$</td> <td>$5 \cdot 10^5$</td> <td>$7 \cdot 10^5$</td> </tr> <tr> <td>τ_{c}</td> <td>0,036</td> <td>0,0355</td> <td>0,0348</td> </tr> <tr> <td>m_{c}</td> <td>0,00995</td> <td>0,0095</td> <td>0,009</td> </tr> </tbody> </table>	N°	σ mm ⁻²	τ_{app}	Observations	29	2218	70	pas de centreur ha = 2 mm	σ_{c}	$3,5 \cdot 10^5$	$5 \cdot 10^5$	$7 \cdot 10^5$	τ_{c}	0,036	0,0355	0,0348	m_{c}	0,00995	0,0095	0,009
N°	σ mm ⁻²	τ_{app}	Observations																																																											
259	6185	100	pas de centreur ha = 4 mm																																																											
σ_{c}	$3,5 \cdot 10^5$	$5 \cdot 10^5$	$7 \cdot 10^5$																																																											
τ_{c}	0,070	0,070	0,0695																																																											
m_{c}	0,0162	0,0147	0,0133																																																											
N°	σ mm ⁻²	τ_{app}	Observations																																																											
267	7736	110	pas de centreur ha = 4 mm																																																											
σ_{c}	$3,5 \cdot 10^5$	$5 \cdot 10^5$	$7 \cdot 10^5$																																																											
τ_{c}	0,071	0,072	0,073																																																											
m_{c}	0,0159	0,0146	0,0135																																																											
N°	σ mm ⁻²	τ_{app}	Observations																																																											
29	2218	70	pas de centreur ha = 2 mm																																																											
σ_{c}	$3,5 \cdot 10^5$	$5 \cdot 10^5$	$7 \cdot 10^5$																																																											
τ_{c}	0,036	0,0355	0,0348																																																											
m_{c}	0,00995	0,0095	0,009																																																											
<u>CONDITIONS D'ESSAIS</u>																																																														
<table border="1"> <thead> <tr> <th>N°</th> <th>σ mm⁻²</th> <th>τ_{app}</th> <th>Observations</th> </tr> </thead> <tbody> <tr> <td>36</td> <td>6087</td> <td>1000</td> <td>pas de centreur</td> </tr> <tr> <td>σ_{c}</td> <td>$3,5 \cdot 10^5$</td> <td>$5 \cdot 10^5$</td> <td>$7 \cdot 10^5$</td> </tr> <tr> <td>τ_{c}</td> <td>0,12</td> <td>0,12</td> <td>0,12</td> </tr> <tr> <td>m_{c}</td> <td>0,0216</td> <td>0,0187</td> <td>0,0161</td> </tr> </tbody> </table>	N°	σ mm ⁻²	τ_{app}	Observations	36	6087	1000	pas de centreur	σ_{c}	$3,5 \cdot 10^5$	$5 \cdot 10^5$	$7 \cdot 10^5$	τ_{c}	0,12	0,12	0,12	m_{c}	0,0216	0,0187	0,0161	<table border="1"> <thead> <tr> <th>N°</th> <th>σ mm⁻²</th> <th>τ_{app}</th> <th>Observations</th> </tr> </thead> <tbody> <tr> <td>249</td> <td>2065</td> <td>70</td> <td>pas de centreur ha = 4,6 mm</td> </tr> <tr> <td>σ_{c}</td> <td>$3,5 \cdot 10^5$</td> <td>$5 \cdot 10^5$</td> <td>$7 \cdot 10^5$</td> </tr> <tr> <td>τ_{c}</td> <td>0,093</td> <td>0,091</td> <td>0,089</td> </tr> <tr> <td>m_{c}</td> <td>0,0168</td> <td>0,016</td> <td>0,0151</td> </tr> </tbody> </table>	N°	σ mm ⁻²	τ_{app}	Observations	249	2065	70	pas de centreur ha = 4,6 mm	σ_{c}	$3,5 \cdot 10^5$	$5 \cdot 10^5$	$7 \cdot 10^5$	τ_{c}	0,093	0,091	0,089	m_{c}	0,0168	0,016	0,0151	<table border="1"> <thead> <tr> <th>N°</th> <th>σ mm⁻²</th> <th>τ_{app}</th> <th>Observations</th> </tr> </thead> <tbody> <tr> <td>216</td> <td>7720</td> <td>110</td> <td>pas de centreur ha = 6 mm</td> </tr> <tr> <td>σ_{c}</td> <td>$3,5 \cdot 10^5$</td> <td>$5 \cdot 10^5$</td> <td>$7 \cdot 10^5$</td> </tr> <tr> <td>τ_{c}</td> <td>0,089</td> <td>0,089</td> <td>0,089</td> </tr> <tr> <td>m_{c}</td> <td>0,0178</td> <td>0,0159</td> <td>0,0141</td> </tr> </tbody> </table>	N°	σ mm ⁻²	τ_{app}	Observations	216	7720	110	pas de centreur ha = 6 mm	σ_{c}	$3,5 \cdot 10^5$	$5 \cdot 10^5$	$7 \cdot 10^5$	τ_{c}	0,089	0,089	0,089	m_{c}	0,0178	0,0159	0,0141
N°	σ mm ⁻²	τ_{app}	Observations																																																											
36	6087	1000	pas de centreur																																																											
σ_{c}	$3,5 \cdot 10^5$	$5 \cdot 10^5$	$7 \cdot 10^5$																																																											
τ_{c}	0,12	0,12	0,12																																																											
m_{c}	0,0216	0,0187	0,0161																																																											
N°	σ mm ⁻²	τ_{app}	Observations																																																											
249	2065	70	pas de centreur ha = 4,6 mm																																																											
σ_{c}	$3,5 \cdot 10^5$	$5 \cdot 10^5$	$7 \cdot 10^5$																																																											
τ_{c}	0,093	0,091	0,089																																																											
m_{c}	0,0168	0,016	0,0151																																																											
N°	σ mm ⁻²	τ_{app}	Observations																																																											
216	7720	110	pas de centreur ha = 6 mm																																																											
σ_{c}	$3,5 \cdot 10^5$	$5 \cdot 10^5$	$7 \cdot 10^5$																																																											
τ_{c}	0,089	0,089	0,089																																																											
m_{c}	0,0178	0,0159	0,0141																																																											
<u>CONDITIONS D'ESSAIS</u>																																																														
<table border="1"> <thead> <tr> <th>N°</th> <th>σ mm⁻²</th> <th>τ_{app}</th> <th>Observations</th> </tr> </thead> <tbody> <tr> <td>253</td> <td>2101</td> <td>70</td> <td>pas de centreur ha = 4 mm</td> </tr> <tr> <td>σ_{c}</td> <td>$3,5 \cdot 10^5$</td> <td>$5 \cdot 10^5$</td> <td>$7 \cdot 10^5$</td> </tr> <tr> <td>τ_{c}</td> <td>0,0755</td> <td>0,073</td> <td>0,071</td> </tr> <tr> <td>m_{c}</td> <td>0,0142</td> <td>0,0134</td> <td>0,0125</td> </tr> </tbody> </table>	N°	σ mm ⁻²	τ_{app}	Observations	253	2101	70	pas de centreur ha = 4 mm	σ_{c}	$3,5 \cdot 10^5$	$5 \cdot 10^5$	$7 \cdot 10^5$	τ_{c}	0,0755	0,073	0,071	m_{c}	0,0142	0,0134	0,0125																																										
N°	σ mm ⁻²	τ_{app}	Observations																																																											
253	2101	70	pas de centreur ha = 4 mm																																																											
σ_{c}	$3,5 \cdot 10^5$	$5 \cdot 10^5$	$7 \cdot 10^5$																																																											
τ_{c}	0,0755	0,073	0,071																																																											
m_{c}	0,0142	0,0134	0,0125																																																											

N° DE PLAN :
N° de gaine: 65-B-506-6

CARACTÉRISTIQUE DE GAINE



Type : Chevrons héliocoidaux
Nature du métal : MgCr
 D_o : 39,5 mm
 D_i : 1,8 mm
 n : 8
 A : 105,2 mm²
 h_0 : 6 mm
pas ou α : 506 mm
 R ou E : 65,412
 e_p : 0,4 mm
 e_b : 1,2 mm

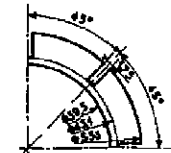
Observations :

CONDITIONS D'ESSAIS

N°	σ [mpa]	D_{min}	Observations
59	6152	100,5	pas de centreur
R_e	$3,5 \cdot 10^5$	$5 \cdot 10^5$	$7 \cdot 10^5$
f_o	0,078	0,078	0,078
m_e	0,0188	0,0167	0,0165

N° DE PLAN :
N° de gaine: 65-B-610-6

CARACTÉRISTIQUE DE GAINE



Type : Chevrons héliocoidaux
Nature du métal : MgCr
 D_o : 39,5 mm
 D_i : 1,8 mm
 n : 8
 A : 105,2 mm²
 h_0 : 6 mm
pas ou α : 610 mm
 R ou E : 66 mil
 e_p : 0,35 mm
 e_b : 1,05 mm

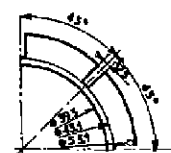
Observations :

CONDITIONS D'ESSAIS

N°	σ [mpa]	D_{min}	Observations
34	6180	100,5	pas de centreur
R_e	$3,5 \cdot 10^5$	$5 \cdot 10^5$	$7 \cdot 10^5$
f_o	0,064	0,064	0,064
m_e	0,0154	0,0152	0,0149

N° DE PLAN :
N° de gaine: 67-B-690-6

CARACTÉRISTIQUE DE GAINE



Type : Chevrons héliocoidaux
Nature du métal : MgCr
 D_o : 39,5 mm
 D_i : 1,8 mm
 n : 8
 A : 105,2 mm²
 h_0 : 6 mm
pas ou α : 610 mm
 R ou E : 66 mil
 e_p : 0,35 mm
 e_b : 1,05 mm

Observations :

CONDITIONS D'ESSAIS

N°	σ [mpa]	D_{min}	Observations
244	2095	70	pas de centreur $h_0 = 6$ mm
R_e	$3,5 \cdot 10^5$	$5 \cdot 10^5$	$7 \cdot 10^5$
f_o	0,059	0,057	0,058
m_e	0,0154	0,0152	0,0149

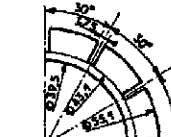
N°	σ [mpa]	D_{min}	Observations
24	6179	100,5	pas de centreur $h_0 = 6$ mm
R_e	$3,5 \cdot 10^5$	$5 \cdot 10^5$	$7 \cdot 10^5$
f_o	0,057	0,057	0,057
m_e	0,0169	0,0151	0,0134

N°	σ [mpa]	D_{min}	Observations
237	7750	110	pas de centreur $h_0 = 6$ mm
R_e	$3,5 \cdot 10^5$	$5 \cdot 10^5$	$7 \cdot 10^5$
f_o	0,059	0,059	0,059
m_e	0,017	0,0153	0,0136

N°	σ [mpa]	D_{min}	Observations
250	2156	70	pas de centreur $h_0 = 4$ mm
R_e	$3,5 \cdot 10^5$	$5 \cdot 10^5$	$7 \cdot 10^5$
f_o	0,042	0,0398	0,039
m_e	0,0109	0,0105	0,0108

N° DE PLAN :
N° de gaine: 60.12.310.6

CARACTÉRISTIQUE DE GAINE



Type : chevrons héliocoidaux

Nature du métal : MgCr
 D_o : 39,5 mm
 E : 1,8 mm
 n : 12 mm
 A : 65,6 mm²
 h_0 : 6 mm
pas ou α : 310 mm
 R ou E : 60 mil
 e_p : 0,35 mm
 e_b : 1,2Dmm

Observations :

CONDITIONS D'ESSAIS

N°	σ [mpa]	D_{min}	Observations
69	3720	84	pas de centreur
R_e	$3,5 \cdot 10^5$	$5 \cdot 10^5$	$7 \cdot 10^5$
f_o	0,1375	0,1375	0,1375
m_e	0,0185	0,0163	0,0142

N°	σ [mpa]	D_{min}	Observations
41	6111	100,5	pas de centreur
R_e	$3,5 \cdot 10^5$	$5 \cdot 10^5$	$7 \cdot 10^5$
f_o	0,153	0,153	0,153
m_e	0,0122	0,0194	0,0166

N° DE PLAN :
N° de gaine: 62.12.360.6

CARACTÉRISTIQUE DE GAINE



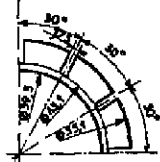
Type : chevrons héliocoidaux
Nature du métal : MgCr
 D_o : 39,5 mm
 E : 1,8 mm
 n : 6,6 mm²
 A : 6 mm
pas ou α : 360 mm
 R ou E : 62 mil
 e_p : 0,35 mm
 e_b : 1,15 mm

Observations :

CONDITIONS D'ESSAIS

N°	σ [mpa]	D_{min}	Observations
51	6132	100,5	pas de centreur
R_e	$3,5 \cdot 10^5$	$5 \cdot 10^5$	$7 \cdot 10^5$
f_o	0,1277	0,1277	0,1277
m_e	0,0102	0,0178	0,0156

N° DE PLAN :
N° de gaine : 65.12.1055.6.
CARACTÉRISTIQUE DE GAINE



Type : Chevrons hélicoïdaux
Nature du métal : MgCr
Dp : 38,5 mm
D : 1,8 mm
n : 12
A : 56,6 mm²
hs : 5 mm
N ou E : 506 mm
N ou E : 65 mm
ap : 0,4 mm
hb : 0,95 mm

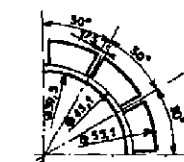
Observations :

CONDITIONS D'ESSAIS

N°	σ_{app} mm²	D_{app} mm	Observations
191	3773	84	pas de centreur
R_e	$3,5 \cdot 10^5$	$5 \cdot 10^5$	$7 \cdot 10^5$
f_o	0,093	0,093	0,093
m_o	0,0185	0,0165	0,0144
			0,0129

N°	σ_{app} mm²	D_{app} mm	Observations
22	6164	100,5	pas de centreur
R_e	$3,5 \cdot 10^5$	$5 \cdot 10^5$	$7 \cdot 10^5$
f_o	0,087	0,087	0,087
m_o	0,0187	0,0165	0,0142
			0

N° DE PLAN :
N° de gaine : 67.12.690.6.
CARACTÉRISTIQUE DE GAINE



Type : Chevrons hélicoïdaux
Nature du métal : MgCr
Dp : 39,5 mm
D : 1,8 mm
n : 12
A : 56,6 mm²
hs : 5 mm
N ou E : 506 mm
N ou E : 65 mm
ap : 0,4 mm
hb : 1,00 mm

Observations :

CONDITIONS D'ESSAIS

N°	σ_{app} mm²	D_{app} mm	Observations
21	6176	100,5	pas de centreur
R_e	$3,5 \cdot 10^5$	$5 \cdot 10^5$	$7 \cdot 10^5$
f_o	0,069	0,068	0,0677
m_o	0,0172	0,0153	0,0136
			-

N°	σ_{app} mm²	D_{app} mm	Observations
233	3851,5	84	pas de centreur $hb = 6 \text{ mm}$
R_e	$3,5 \cdot 10^5$	$5 \cdot 10^5$	$7 \cdot 10^5$
f_o	0,0385	0,0375	0,0365
m_o	0,0123	0,0115	0,0107
			0,0098

N°	σ_{app} mm²	D_{app} mm	Observations
234	6242,5	100,5	pas de centreur
R_e	$3,5 \cdot 10^5$	$5 \cdot 10^5$	$7 \cdot 10^5$
f_o	0,0345	0,0345	0,0345
m_o	0,0108	0,0103	0,0097
			-

CONDITIONS D'ESSAIS

N°	σ_{app} mm²	D_{app} mm	Observations
240	3868	84	pas de centreur $hb = 3 \text{ mm}$
R_e	$3,5 \cdot 10^5$	$5 \cdot 10^5$	$7 \cdot 10^5$
f_o	0,0322	0,0322	0,0322
m_o	0,00965	0,00935	0,00895
			0,0085

N°	σ_{app} mm²	D_{app} mm	Observations
239	6259	100,5	pas de centreur $hb = 3 \text{ mm}$
R_e	$3,5 \cdot 10^5$	$5 \cdot 10^5$	$7 \cdot 10^5$
f_o	0,026	0,027	0,0275
m_o	0,0084	0,0081	0,0077
			-

N°	σ_{app} mm²	D_{app} mm	Observations
242	3936	84	pas de centreur
R_e	$3,5 \cdot 10^5$	$5 \cdot 10^5$	$7 \cdot 10^5$
f_o	0,0238	0,0231	0,0225
m_o	0,0063	0,00515	0,0056
			0,0059

N°	σ_{app} mm²	D_{app} mm	Observations
243	63C7	100,5	pas de centreur $hb = 6 \text{ mm}$
R_e	$3,5 \cdot 10^5$	$5 \cdot 10^5$	$7 \cdot 10^5$
f_o	0,045	0,0485	0,0480
m_o	0,0155	0,014	0,01265
			-

N°	σ_{app} mm²	D_{app} mm	Observations
241	2112	70	pas de centreur $hb = 6 \text{ mm}$
R_e	$3,5 \cdot 10^5$	$5 \cdot 10^5$	$7 \cdot 10^5$
f_o	0,0208	0,0208	0,0208
m_o	0,0058	0,0057	0,0053
			-

N°	σ_{app} mm²	D_{app} mm	Observations
20	6156	100,5	pas de centreur $hb = 6 \text{ mm}$
R_e	$3,5 \cdot 10^5$	$5 \cdot 10^5$	$7 \cdot 10^5$
f_o	0,0745	0,0745	0,0745
m_o	0,0172	0,0153	0,0137
			-

N°	σ_{app} mm²	D_{app} mm	Observations
238	7766	110	pas de centreur $hb = 6 \text{ mm}$
R_e	$3,5 \cdot 10^5$	$5 \cdot 10^5$	$7 \cdot 10^5$
f_o	0,083	0,083	0,083
m_o	0,0174	0,0158	0,0141
			-

CONDITIONS D'ESSAIS

N°	σ_{app} mm²	D_{app} mm	Observations
251	2157,5	70	pas de centreur $hb = 4 \text{ mm}$
R_e	$3,5 \cdot 10^5$	$5 \cdot 10^5$	$7 \cdot 10^5$
f_o	0,0505	0,049	0,048
m_o	0,0119	0,0116	0,011
			0,0104

N°	σ_{app} mm²	D_{app} mm	Observations
262	6251,5	100,5	pas de centreur $hb = 4 \text{ mm}$
R_e	$3,5 \cdot 10^5$	$5 \cdot 10^5$	$7 \cdot 10^5$
f_o	0,0505	0,0505	0,0505
m_o	0,0139	0,01285	0,0119
			-

N°	σ_{app} mm²	D_{app} mm	Observations
292	2248,5	70	pas de centreur
R_e	$3,5 \cdot 10^5$	$5 \cdot 10^5$	$7 \cdot 10^5$
f_o	0,033	0,0321	0,0313
m_o	0,0955	0,091	0,0081
			0,084

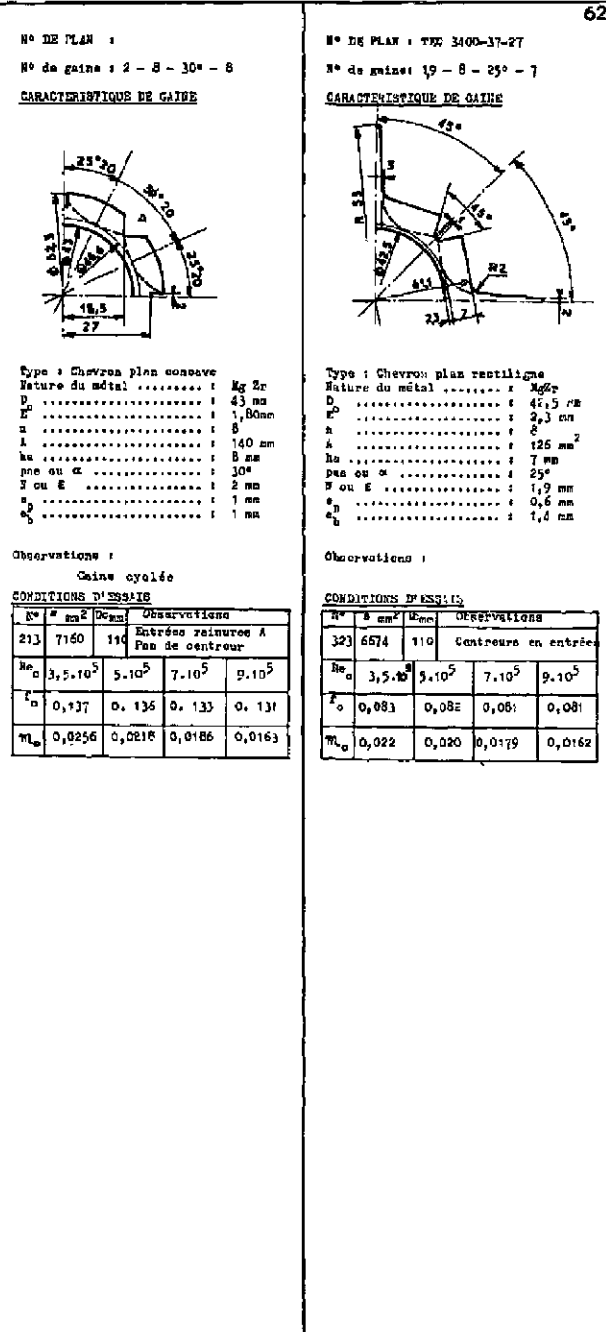
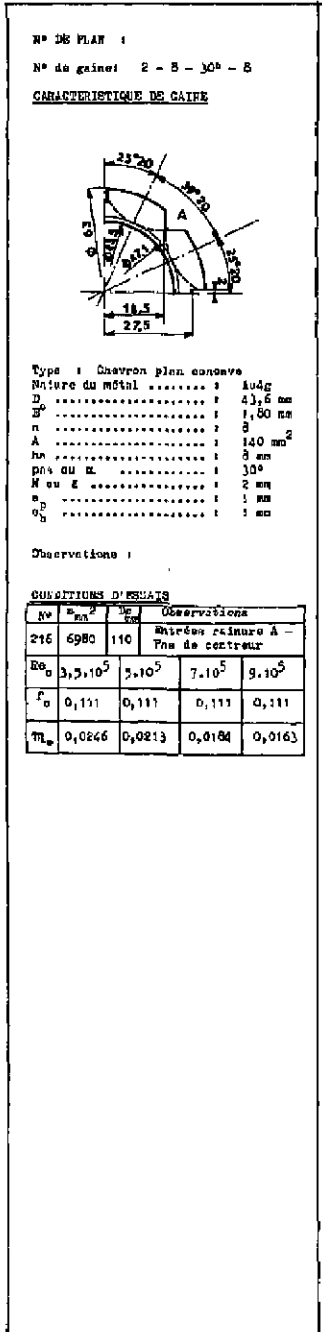
N° DE PLAN :			
N° de gaine : 48-6-100-6			
CARACTÉRISTIQUE DE GAINES			
Type : Chevron fil en elliptique			
Nature du métal : MgZn			
D : 40,7 mm			
E : 6 mm			
A : 131 mm ²			
B : 6 mm			
R _g ou R _g /E : 300 m			
R _g ou E : 48 m			
R _g /p : 0,85 m			
R _g /b : 1,61 m			
Observations : 3 Centraux incorporés			
CONDITIONS D'ESSAIS			
N°	δ mm ²	Dc mm	Observations
49	5824	100,5	Centraux en entrées
R _g : 3,5·10 ⁵	5,10 ⁵	7,10 ⁵	9,10 ⁵
f _o : 0,0735	0,0735	0,0735	-
m _g : 0,0180	0,0158	0,014	-

N° DE PLAN :			
N° de gaine : 2-12-204-9			
CARACTÉRISTIQUE DE GAINES			
Type : Chevron fil en elliptique			
Nature du métal : MgZn			
D : 42,5 mm			
E : 8 mm			
A : 121 mm ²			
B : 9 mm			
R _g ou R _g /E : 200 m			
R _g ou E : 2 m			
R _g /p : 0,7 m			
R _g /b : 1,5 m			
Observations : -			
CONDITIONS D'ESSAIS			
N°	δ mm ²	Dc mm	Observations
201	6984	110	pas de centraux
R _g : 3,5·10 ⁵	5,10 ⁵	7,10 ⁵	9,10 ⁵
f _o : 0,106	0,106	0,106	0,106
m _g : 0,0223	0,021	0,0183	0,0165

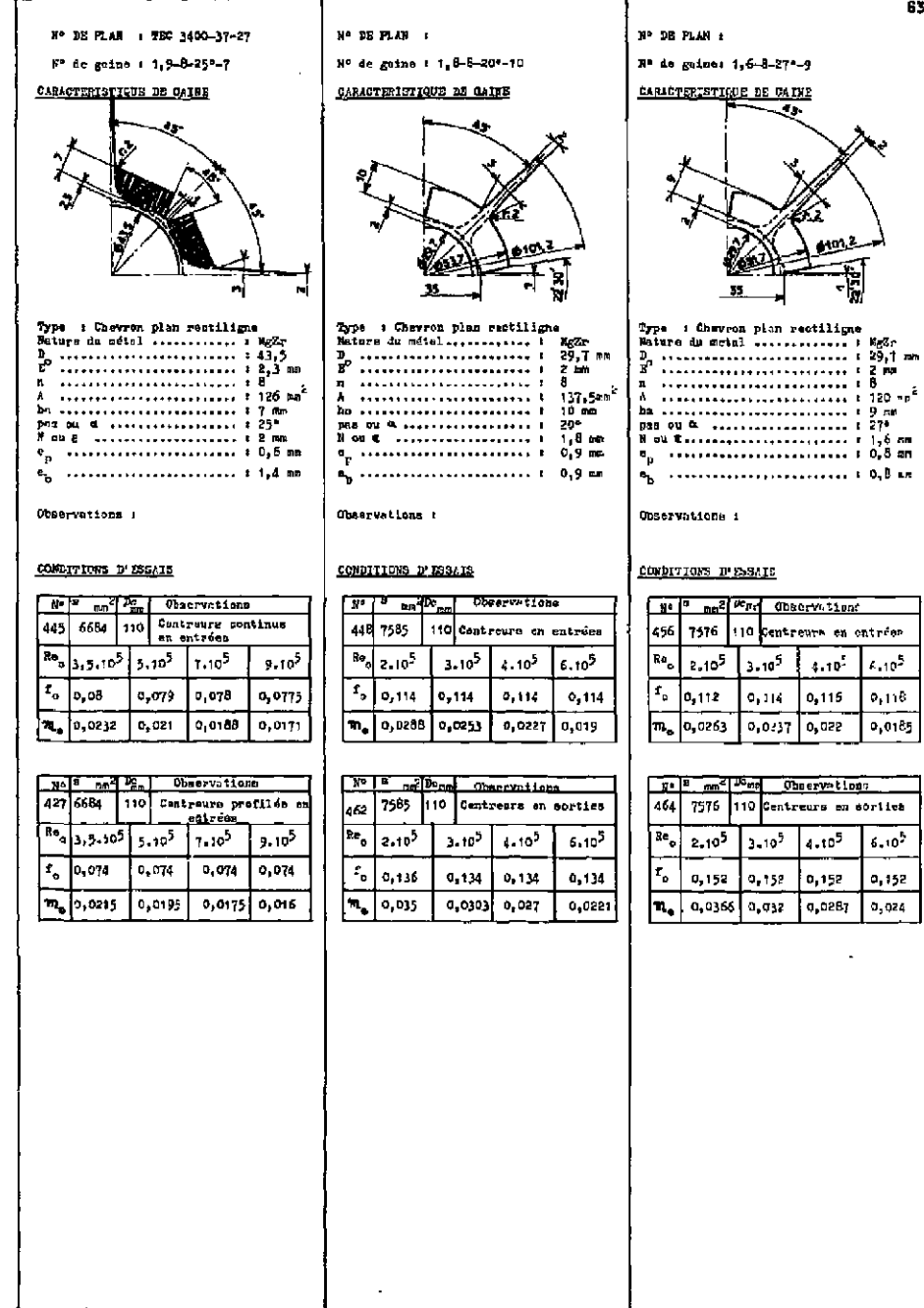
N° DE PLAN :			
N° de gaine : 2-8-204-9			
CARACTÉRISTIQUE DE GAINES			
Type : Chevron fil en elliptique			
Nature du métal : MgZn			
D : 43,5 mm			
E : 8 mm			
A : 121 mm ²			
B : 9 mm			
R _g ou R _g /E : 200 m			
R _g ou E : 2 m			
R _g /p : 0,7 m			
R _g /b : 1,5 m			
Observations : -			
CONDITIONS D'ESSAIS			
N°	δ mm ²	Dc mm	Observations
140	5411	100,5	pas de centraux
R _g : 3,5·10 ⁵	5,10 ⁵	7,10 ⁵	9,10 ⁵
f _o : 0,081	0,079	0,077	0,0755
m _g : 0,0208	0,0186	0,0165	0,0149

N° DE PLAN :			
N° de gaine : 2-8-270-8			
CARACTÉRISTIQUE DE GAINES			
Type : Chevron fil en concave			
Nature du métal : Au 4 O			
D : 39,5 mm			
E : 8 mm			
A : 140 mm ²			
B : 8 mm			
R _g ou R _g /E : 270 m			
R _g ou E : 2 m			
R _g /p : 1 mm			
R _g /b : 1 mm			
Observations : -			
CONDITIONS D'ESSAIS			
N°	δ mm ²	Dc mm	Observations
136	6802	110	Centraux de 2 mm en entrées et pas de centraux
R _g : 3,5·10 ⁵	5,10 ⁵	7,10 ⁵	9,10 ⁵
f _o : 0,096	0,095	0,094	0,093
m _g : 0,0261	0,0233	0,0205	0,0185

N° DE PLAN :			
N° de gaine : 2-8-30-7,2			
CARACTÉRISTIQUE DE GAINES			
Type : Chevron fil en concave			
Nature du métal : Au 4 O			
D : 39,5 mm			
E : 8 mm			
A : 109 mm ²			
B : 8 mm			
R _g ou R _g /E : 300 m			
R _g ou E : 2 m			
R _g /p : 1 mm			
R _g /b : 1 mm			
Observations : -			
CONDITIONS D'ESSAIS			
N°	δ mm ²	Dc mm	Observations
44	5751	100,5	Entrées et sorties à pas de centraux
R _g : 3,5·10 ⁵	5,10 ⁵	7,10 ⁵	9,10 ⁵
f _o : 0,1025	0,102	0,101	-
m _g : 0,0248	0,0213	0,019	-



62

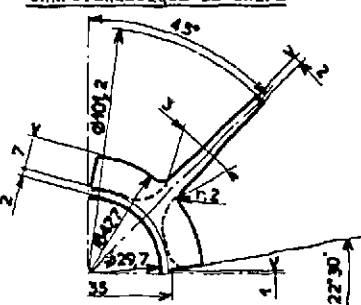


63

N° DE PLAN :

N° de gaine: 1,4-8-352 7

CARACTÉRISTIQUE DE GAINE



Type : Chevrons plan rectiligne

Nature du métal : MgZr
 D : 29,7 mm
 E : 2 mm
 n : 8
 A : 87,5 mm²
 ha : 7 mm
pas ou α : 35°
N ou E : 1,4 mm
 e_p : 0,7 mm
 e_b : 0,7 mm

Observations :

CONDITIONS D'ESSAIS

N°	B mm ²	D_0 mm	Observations			
457	7713	110	Centreurs en entrées			
Re_0	$2 \cdot 10^5$	$3 \cdot 10^5$	$4 \cdot 10^5$	$6 \cdot 10^5$		
f_o	0,1445	0,145	0,1455	0,146		
m_o	0,0342	0,0301	0,0273	0,0232		

N°	B mm ²	D_0 mm	Observations			
461	7713	110	Centreurs en sorties			
Re_0	$2 \cdot 10^5$	$3 \cdot 10^5$	$4 \cdot 10^5$	$6 \cdot 10^5$		
f_o	0,132	0,131	0,131	0,131		
m_o	0,0315	0,0273	0,0245	0,0206		

FIN